

**23110**

D-T SÜRÜCÜLÜ HYBRİD BLANKETLERDE  
GEOMETRİ ve MALZEME PARAMETRELERİNİN  
NÖTRONİK ANALİZİ

Osman İPEK

Erciyes Üniversitesi  
Fen Bilimleri Enstitüsü'ne  
Makina Anabilim Dalında Doktora tezi olarak  
sunulmuştur.

**T.C. YÜKSEKÖĞRETİM KURULU  
DOKÜMANTASYON MERKEZİ**

AGUSTOS - 1992

Erciyes Üniversitesi  
Fen Bilimleri Enstitüsü Müdürlüğü

Bu çalışma jürimiz tarafından Makine Anabilim Dalında  
Doktora tezi olarak kabul edilmiştir.

17 / 10 / 1992

Başkan: Prof. Dr. İhsan ULKER

Üye : Doç. Dr. Sevim SELVI

Üye : Doç. Dr. ALİ ERİŞEN

ONAY:

Yukarıdaki imzaların adı geçen öğretim üyelerine ait  
oldugunu onaylarım.



### Ö Z G E Ç M İ Ş

1963 yılında İçel Erdemli 'de doğdu. İlk ve orta tahsilini Erdemli 'de yaptı. 1982 yılında Akdeniz Üniversitesi Isparta Mühendislik Fakültesi Makina Bölümünde lisans öğretimine başladı. 1986 yılında lisans öğretmini tamamlayarak aynı öğretim dönemi içerisinde Akdeniz Üniversitesi Fen Bilimleri Enstitüsü 'de Yüksek Lisans öğretimine başladı. Mayıs 1987 de Isparta Mühendislik Fakültesi Makina Bölümü 'nde araştırma görevlisi olarak göreveye başladı. Haziran 1988 de Yüksek Lisansı tamamlayarak Eylül 1988 de Erciyes Üniversitesi Fen Bilimleri Enstitüsü Makina Anabilim Dalı 'nda doktoraya başladı. Halen Akdeniz Üniversitesi Isparta Mühendislik Fakültesi Makina Anabilim Dalı 'nda araştırma görevlisi olarak çalışmaktadır.

**T E Ş E K K Ü R**

Çalışmalarım esnasında, hertürlü fedakarlığı göstererek maddi manevi bütün yardımlarını benden esirgemeyen, değerli hocam Doç. Dr. Ali ERİŞEN 'e sonsuz şükranlarımı arzederim.

## ÖZET

Mevcut nükleer reaktörlerin (esas olarak Hafif Su Reaktörlerinin) yakıt ihtiyacını karşılayan fissile yakıt kaynaklarının tüketebileceğine dayalı olarak geliştirilen Hybrid Reaktör Sistem çalışmaları teorik ve deneysel bazda yürütülmektedir. Yapılan çalışmalarla bir karşılaştırma imkanı da sağlamak üzere, bir hybrid blanketin öncelikle optimum geometrisi belirlenmiş, daha sonra da, bu geometriye ait malzeme yapısı parametrik bir çalışmayı gerçekleştirmek üzere değiştirilmiştir.

Blanketin yakıt bölgesinde, fissile yakıt ve fissile yakıtla birlikte enerji üretimini saglayacak klasik nükleer yakıtların ( $\text{ThO}_2$  ve Tabii- $\text{UO}_2$ ) yanısıra, nükleer reaktörlerden artık olarak çıkan aktinid yakıtlar da ( $\text{AmO}_2$  ve  $\text{CmO}_2$ ) nümerik hesaplamalara sokulmuştur. Saf Li 'un trityum üretim malzemesi ve Be 'un da reflektör olarak kullanıldığı blanketler, diğerleri arasında, nötronik performans kriteri açısından en iyi durumda olanlardır.

Çalışma sırasında nötronik analiz ANISN nötron transport kodu yardımıyle ve  $S_8 - P_3$  yaklaşımıyle, (30 nötron + 12 Gamma) 42 gruplu CLAW-IV data paketi kullanılarak gerçekleştirilmiştir.

## ABSTRACT

Hybrid Reactor System studies improved on to exhausting fissile fuel sources which meet fuel needs of existing nuclear reactors (mainly Light Water Reactors) have been executed theoretically and experimentally. Including the purpose of comparing with the other studies made till now, in this study the optimum geometry of a hybrid blanket was determined firstly and after that the material structure belonging to this geometry was changed in order to realize a parametric study.

In the fuel zones of the different blankets, in addition to the classical nuclear fuels ( $\text{ThO}_2$  and nat- $\text{UO}_2$ ) assuring fissile fuel, and energy production, whether one of them or both of them at the same time, actinid fuels ( $\text{AmO}_2$  and  $\text{CmO}_2$ ) which are waste fuels from nuclear reactors were introduced into the numerical calculations. Blankets with pure lithium as the tritium producing material and with Beryllium as reflector are the best ones among the others regarding with neutronic performance.

The neutronic analysis throughout the study has been performed with the help of the ANISN neutron transport code in the  $S_8 - P_3$  approximation using the 42 groups (30-neutron + 12-gamma-ray group) data library CLAW-IV.

## S E M B O L L E R

E	: Nötron Enerjisi
V	: Hacim
S	: Yüzey
dV	: Diferansiyel Hacim Elemanı
dS	: Diferansiyel Yüzey Elemanı
J	: Açısal Nötron Akısı
Ø	: Nötro Akısı
v	: Nötron Hızı
v	: Fisyon Nötron Sayısı
k <sub>eff</sub>	: Nötron Çoğalma Katsayısı
γ	: Yakalanma Etki Kesiti
Ω	: Nötron Haraket Yönü
Q	: Nötron Kaynak Debisi
N	: Birim Hacimdeki Nötron Miktarı
r	: Uzay Koordinatı
M	: Blanket Enerji Çoğalım Katsayısı
Σ	: Makroskobik Etki Kesiti
σ	: Mikroskobik Etki Kesiti
X	: Çekirdek Parçalanmasında Nötron Spektrumu
t	: Zaman
m	: Nötron Kütlesi

## İndisler

a	: Yutulma
b	: Üretim
f	: Fisyon
t	: Toplam
2n	: (n,2n)

## İÇİNDEKİLER

	Sayfa No
<b>1. BÖLÜM</b>	<b>1</b>
<b>GİRİŞ</b>	<b>1</b>
<b>1.1- Hybrid Reaktör</b>	<b>1</b>
<b>1.2- Hybrid Blanket</b>	<b>4</b>
<b>1.2.1- Füzyon Reaksiyonları</b>	<b>5</b>
<b>1.2.2- Fission Reaksiyonları</b>	<b>8</b>
<b>1.2.3- Dönüşüm ve Üretim Reaksiyonları</b>	<b>10</b>
<b>1.3- Çalışmanın Amacı</b>	<b>11</b>
<b>2. BÖLÜM</b>	<b>16</b>
<b>TRANSPORT TEORİSİNİN TANITIMI</b>	<b>16</b>
<b>2.1- Boltzmann Transport Denkleminin Çıkarılışı</b>	<b>16</b>
<b>2.2- <math>S_N</math> Teorisinin Matematiksel İfadesi</b>	<b>24</b>
<b>2.3- Nümerik Hesap Uygulaması</b>	<b>29</b>
<b>3. BÖLÜM</b>	<b>30</b>
<b>ÇALIŞMADA KULLANILAN BLANKET YAPISI</b>	<b>30</b>
<b>4. BÖLÜM</b>	<b>38</b>
<b>NÜMERİK HESAPLAMALAR VE SONUÇLARI</b>	<b>38</b>
<b>4.1- Nötronik Performans Kriterleri</b>	<b>38</b>
<b>4.2- Geometri Optimizasyonu</b>	<b>40</b>
<b>4.3- Çalışmada Kullanılan Hybrid Blanketlere Ait Nötronik Performans Degerlendirmeleri</b>	<b>42</b>
<b>4.3.1- T6 Üretimi Açısından Hybrid Blanketlrin Nötronik Performanslarının Degerlendirilmesi</b>	<b>42</b>
<b>4.3.1.1- Yakıtlara Yönelik Degerlendirme</b>	<b>42</b>
<b>4.3.1.2- Nötron Çogaltıcı Katmanlarda Yer Alan Malzemeye Göre Degerlendirme</b>	<b>43</b>
<b>4.3.1.3- Tritiyum Üretim Malzemesine Göre Degerlendirme</b>	<b>43</b>
<b>4.3.1.4- Reflektör Malzemesine Göre Degerlendirme</b>	<b>44</b>

<b>4.3.2- T7 Üretimi Açısından Blanket Nötronik Performanslarının Degerlendirilmesi</b>	<b>44</b>
<b>4.3.2.1- Yakıtlara Göre Yapılan Degerlendirme</b>	<b>45</b>
<b>4.3.2.2- Nötron Çogaltıcı Katmanda Yer Alan Malzeme Göre Degerlendirme</b>	<b>45</b>
<b>4.3.2.3- Tritium Üretim Bölgesindeki Malzemeye Göre Degerlendirme;</b>	<b>45</b>
<b>4.3.2.4- Reflektör Malzemesine Göre Degerlendirme</b>	<b>45</b>
<b>4.3.3- T6+T7 (Toplam Tritium) Üretimi Açısından Blanket : Performansının Degerlendirilmesi</b>	<b>46</b>
<b>4.3.3.1- Yakıtlara Göre Degerlendirme</b>	<b>46</b>
<b>4.3.3.2- Nötron Çogaltıcı Katman Malzemesine Göre Degerlendirme</b>	<b>46</b>
<b>4.3.3.3- Tritium Üretim Bölgesindeki Malzemeye Göre Degerlendirme</b>	<b>47</b>
<b>4.3.3.4- Reflektöre Göre Degerlendirme</b>	<b>47</b>
<b>4.3.4- (n,2n) Reaksiyon Miktarı Açısından Blanket Performanlarının Degerlendirilmesi</b>	<b>47</b>
<b>4.3.4.1- Yakıtlara Göre Degerlendirme</b>	<b>47</b>
<b>4.3.4.2- Nötron Çogaltıcı Katman Malzemesine Göre Degerlendirme</b>	<b>48</b>
<b>4.3.4.3- Tritium Üretim Malzemesine Göre Degerlendirme</b>	<b>48</b>
<b>4.3.4.4- Reflektör Malzemesine Göre Degerlendirme</b>	<b>48</b>
<b>4.3.5- Fissile Yakıt Üretimine Yönelik Olarak Blanketlerin Nötronik Performans Degerlendirmesi</b>	<b>49</b>
<b>4.3.5.1- Yakıtlara Göre Degerlendirme</b>	<b>49</b>
<b>4.3.5.2- Nötron Çogaltıcı Katnamadaki Malzemeye Göre Degerlendirme</b>	<b>50</b>
<b>4.3.5.3- Tritium Üretim Bölgesinde Yer Alan Malzemeye Göre Degerlendirme:</b>	<b>50</b>
<b>4.3.5.4- Reflektör Malzemesine Göre Degerlendirme</b>	<b>51</b>
<b>4.3.6- (n,f) Bölünme Reaksiyon Miktarı Açısından Blanketlerin Degerlendirilmesi</b>	<b>51</b>

4.3.6.1- Yakıtlara Göre Yapılabilecek Degerlendirme	51
4.3.6.2- Nötron Çogaltıcı Katmanda Yer Alan Malzeme- ye Göre Degerlendirme	52
4.3.6.3- Tritium Üretim Malzemesine Göre Yapılan Degerlendirme	52
4.3.6.4- Reflektöre Göre Yapılan Degerlendirme	52
4.3.7- Toplam Tritium ve Fissile Yakıt Üretimi Açı- sından Blanketlerin PerformansDegerlendirilmesi	53
4.3.7.1- Yakıtlara Göre Degerlendirme	53
4.3.7.2- Nötron Çogaltıcı Katman Malzemesine Göre Degerlendirme	53
4.3.7.3- Tritium Üretim Malzemesine Göre Degerlendirme	54
4.3.7.4- Reflektör Malzemesi Açısından Degerlendirme	54
4.3.8- M Enerji Çoğalım Katsayısı Açısından Blanket Performansının Degerlendirilmesi	54
4.3.8.1- Yakıtlara Göre Yapılan Degerlendirme	55
4.3.8.2- Nötron Çogaltıcı Katman Malzemesi Açısından Degerlendirme	55
4.3.8.3- Tritium Üretim Bölgesindeki Malzemeye Göre Degerlendirme	56
4.3.8.4- Reflektör Malzemesine Göre Degerlendirme	56
4.3.9- ( $n,2n$ ) Reaksiyon Miktarının Katılmamasıyla He- saplanan Efektif ( $k_{eff}^*$ ) Nötron Çoğalım Kat- sayısının Blanketlere Göre Degerlendirilmesi	56
4.3.9.1- Yakıtlara Göre Yapılan Degerlendirme	56
4.3.9.2- Nötron Çogaltıcı Katmandaki Malzemeye Göre Degerlendirme	57
4.3.9.3- Tritium Üretim Malzemesine Göre Degerlendirme	57
4.3.9.4- Reflektör Malzemesine Göre Degerlendirme	57
4.3.10- ( $n,2n$ ) Reaksiyon Nötronlarının Katılmasıyla Hesap Edilen ( $k_{eff}^{**}$ ) Efektif Nötron Çoğalım Katsayısının Blanketlere Göre Degerlendiril- mesi	58
4.3.10.1- Yakıtlara Göre Yapılan Degerlendirme	58

4.3.10.2- Nötron Çogaltıcı Katmanda Yer Alan Malzemeye Göre Degerlendirme	59
4.3.10.3- Tritium Üretim Malzemesi Açısından Degerlendirme	59
4.3.10.4- Reflektör Malzemesine Göre Degerlendirme	60
4.3.11- $k_{eff}^*$ ve $k_{eff}^{**}$ Degerlerinin Blanketlere Yönelik Karşılaştırılması	60
4.4- Blanketlere Ait Nötronik Performansların Toplu Degerlendirilmesi	61
4.4.1- Yakıt Grupları İtibariyle En İyi Blanketlerin Seçimi	61
4.4.2- Kullanılan Yakıtlara Ait En İyi Nötronik Performance Sahip Hybrid Blanket Yapısının Seçimi	63
4.5- Reaksiyon Üretim Yogunlıklarının Hesaplanması	67
4.5.1- Üretim Yogunluğu Egrilerine Ait Şekillerin Ortak Degerlendirilmesi	68
4.5.2- Üretim Yogunluğu Egrilerinin Mukayeseli Degerlendirmeleri	69
4.6- Blanket Spektrum Hesaplamaları	71
4.7- Seçilmiş Blanketler İçin Yıllık Tritium ve Fissile Yakıt Üretimi	74
<b>5. BÖLÜM</b>	<b>105</b>
<b>SONUC</b>	<b>105</b>
<b>KAYNAKLAR</b>	<b>109</b>

## 1. BÖLÜM

### GİRİŞ

Bu çalışmada, bu ana bölümün sonunda da açıklanacağı gibi, Hybrid Reaktörlerin nötron-fizik etüdünün gerçekleştirilmesi amaçlanmıştır. Bu amaca uygun olarak yapılan nümerik hesaplamalar daha sonraki bölmelere bırakılırken bu ana bölümün alt bölmelerinde Hybrid Reaktörlerin yapısal özellikleri kapsamlı bir şekilde verilmeye çalışılmıştır.

#### 1.1- Hybrid Reaktör

Son on yılina girdigimiz yirminci asrin enerji tüketimi, gelişen teknoloji ile birlikte, özellikle 2.Dünya Savaşı sonrası, katlanarak art sağlamıştır. Enerji üretiminin, önemli iki bileşeninden biri olan fosil yakıtlardan yapılagelen enerji üretimi; çevre kirliliği, yatakların giderek tükenmesi ve bazı teknolojik-ekonomik güçlükler gibi problemlere dayalı olarak sınırlanmaktadır. Fosil yakıtların boşaltmak durumunda olduğu, enerji üretim yüzde aralığının, diğer alternatif enerji kaynakları (özellikle güneş enerjisi) tarafından ekonomik olarak doldurulabilmesi, hem teknolojik güçlük arzetmekte hem de uzun bir zaman dilimini gerektirmektedir. Böyle bir kaynak dağılımı tablosu içerisinde, nükleer enerji üretimi, beklenen bir gelişim çizgisi üzerinde, 30-40 senelik bir teknolojik birikimle birlikte yer almış ve yer almaya da, beklenmeyen bir gelişme olma-

dıkça, devam edebilecektir. 2850 GWe kadarlık dünya enerji üretiminin yaklaşık, 330 GWe veya % 11.5 luk kadarı yaklaşık 440 nükleer reaktör aracılığıyla karşılanmaktadır ve yapılan tahminler, 20 senelik bir peryot içinde nükleer enerjinin, toplam enerji üretimi içerisinde aynı payı muhafaza edeceğini göstermektedir [1].

Sözü edilen nükleer enerji üretiminin agirlıklı yüzdesi, Hafif Su Reaktörleri (LWRs) tarafından karşılanmaktadır ve bu reaktörlerde de, termal nötronlarla bölünebilen nükleer yakıt (fissile fuel) enerji kaynagi olarak kullanılmaktadır. Böyle bir yakıt için tabiatta yararlanabilecek kaynak, Tabii Uranyum (% 0.07  $^{235}\text{U}$  + % 99.3  $^{238}\text{U}$ ) dur. Böylece nükleer bölünmeye uygunayabilecek mevcut tabii kaynakların % 99 kadarı enerji üretimi için kullanılamamaktadır.

Günümüzde Tabii Uranyumdan karşılanmakta olan bölünebilir yakıt ihtiyacının; başka bir alternatif bulunmadıkça, 21. yüzyılın ilk çeyreginin sonuna doğru karşılanamaz bir duruma ulaşacağı, bazı araştırmaların sonuçlarından çıkarılabilen bir gerçektitir [2,3]. Bölünebilir yakıt ihtiyacının karşılanabilmesine yönelik olarak, hızlı reaktör teknolojisinin, 10 - 30 yıllık katlama peryotlarına (doubling time) sahip olması ve bu reaktörlerde elde edilen yakıtın yeni hızlı reaktörlerde kullanılabilmesi olması, sözü edilen probleme, yakın gelecek için alternatif bir çözüm aramasına yol açmıştır. Böylece, prensip olarak, bölünebilir yakıt eldesine dönük olarak çalışan hızlı veya üretken reaktör (breeder) sisteminin, bölünebilir yakittan başka yeni bir nötron kaynagi ile çalıştırılması gündeme gelmektedir. Bu özellik ise potansiyel olarak, ya termonükleer reaktörlerde, (D-D), (D-T) ve diğer muhtemel birleşme reaksiyonlarından elde edilebilecek nötronlarla, yada ağır çekirdeklerin yüksek enerjili yüklü taneciklerle yarılması (spallation) sonucu açığa çıkan nötronlarla sağlanabilir.

Yukarıdaki probleme çözüm olarak, birçok araştırmacı tarafından teklif edilen Hybrid Reaktör sistemi, birbirinin özelliklerini tamamlamak üzere, çekirdek birleşme ve bölünme (fusion, fission) olaylarının birlikte gerçekleştirildiği bir sistem-

dir [4-10]. Böyle bir reaktörde, temel fikir, plazmanın etrafını fertil malzemeden ( $^{238}\text{U}$  veya  $^{232}\text{Th}$ ) meydana gelen bir blanketle sarmak ve bu malzemeyi yüksek yoğunluklu füzyon nötronları aracılığıyla bölünebilir yakıta (fissile fuel) dönüştürmektir. Bu şekilde blanketde yer alan nükleer yakıtın bir kısmı, termal reaktörlerde kullanılabilecek yakıta ( $^{239}\text{Pu}$  veya  $^{233}\text{U}$ ) dönüştürülürken, aynı zamanda, 14 MeV 'lik enerjik (D-T) nötronlarıyla sağlanan hızlı bölünme sonucu, enerji de elde edilebilmektedir. Böyle bir uygulamada, birim enerji başına fissile yakıt üretimi, bir hızlı üretkende elde edilenin yaklaşık olarak 30 katına kadar ulaşılabilirken, blankette açığa çıkan enerji ise, düşük enerji kazanımlı bir füzyon reaktörünün sahip oldugunun yaklaşık 20 ile 40 katı kadar olabilmektedir [2,3].

Hybrid Reaktörün blanketinde üretilen fissile yakıtın çok az bir kısmı, yine blanket içerisinde, enerji üretimine katkıda bulunabilecek şekilde kullanılırken, geriye kalan miktar, uygun yöntemlerle, reaktör dışına alınıp, termal reaktörlere yakıt olarak aktarılabilir.

Böyle bir Hybrid Reaktör,  $^{239}\text{Pu}$  ve  $^{233}\text{U}$  gibi yüksek kalitede nükleer yakıt kullanan konvensiyonel nükleer reaktörlerin önemli bir kısmının oluşumunu ve devamını mümkün kılarken, bu reaktörlerin daima kritik altı çalışması nedeniyle; çalışma şartlarında yüksek emniyet faktörü ve yakıt yenilemek için daha esnek bir durum söz konusudur. Yine bu reaktörlerde, aktinidler olarak bilinen (actinides) nükleer reaktör artıklarının yüksek bir verimlilikle yakılmaları veya  $^{242\text{m}}\text{Am}$  ve  $^{245}\text{Cm}$  gibi çok kıymetli fissile malzemelere dönüştürülmeleri de sağlanır [10].

Hybrid reaktör sistemlerinin diğer bir avantajı da, çubuk şeklindeki yakıt bloklarını, LWR ve Hybrid reaktör arasında belirli bir peryotta çevrime sokarak, LWR 'lerin tükenmiş yakıtını gençlestirmede kullanılabilmeleridir. Böyle bir çevrime, yakıt çubugu malzemesi mekanik olarak işe yaramaz hale gelinceye kadar devam edilebilir [11].

Bir Hybrid Reaktörün ana dezavantajı ise, füzyon nötron kaynagi ve kompleks fissile blanket olarak isimlendirebilecegimiz iki karmaşık teknolojiyi bünyesinde birlikte ihtiva ediyor olma-

sıdır. Bu durum her ikisinin ayrı ayrı ele alınmasından daha yüksek mertebede bir karmaşıklığın ortaya çıkabileceğini ifade etmektedir.

Daha önce debynildiği gibi, Hybrid Reaktör; geometri olarak bir füzyon reaktörünün geometrisi esas alınarak geliştirilmek durumundadır. Bu özellik ise, agırlıklı olarak blanket dizaynında kendini gösterir. Bu çerçevede, bir hybrid blanket, yapısı ve içerisinde ortaya çıkan nükleer reaksiyonlar itibariyle, aşağıda ayrı bir alt bölüm içerisinde ele alınmıştır.

## 1.2 - Hybrid Blanket

Hybrid blanket anlayışı; füzyon blanketinde, trityum üretim bölgisinin önüne veya arkasına, füzyon nötronları tarafından bölünebilen bir yakıt (Fissionable) katmanın konması ve bu yolla bölünme enerjisinin yanısıra, termal nötronlarla parçalanabilen yakıt (Fissile) üretiminin de gerçekleştirilmesi esasına dayanır [2]. Bu blanket yapısında, reaksiyon odası, bir ilk cidarla çevrilir, onun da etrafında değişik amaçlar için kullanılmak üzere blanketin diğer katmanları yer alır. İlk cidar, kendinden sonra yer alan blanket'i, plazmadan kaynaklanan elektro-manyetik radyasyon ile, yüklü tanecik bombardımanından koruma fonksiyonunu, kısmen yüklenir. Bunun yanısıra, daha önemli olarak, kendisi de, manyetik olarak sıkıştırılmış plazmadan gelecek radyasyon ısısına dayanabilecek malzeme yapısına sahip olmalıdır [12].

Blanket'in fonksiyonları; plazmanın hakim olan çalışma modu (D-T) reaksiyonu ise, gerekli trityum üretimini (Fusile Breeding) ve fertil - fissile dönüşümüyle fissile yakıt üretiminini (Fissile Breeding) saglamak, nötron sayısını ve kendine füzyon nötronlarıyla ulaşan enerjiyi çoğaltmak, termal enerji eldesini saglamak ve bir dereceye kadar da, nötronlar ve gamma ıslınları için perdeleme görevini yerine getirmek şeklinde sıralanabilir. [8,10,13,14]

Hybrid Blankette meydana gelen nükleer reaksiyonlar ise, Füzyon, Fisyon ve Breeding (Üretim) reaksiyonları olarak sınıf-

landırılabilir. Aşağıda, bu temel nükleer reaksiyonlar üç ayrı alt bölüm halinde incelenirken reaksiyon özelliklerinin blanket yapısına veya dizaynına olan katkıları, reaksiyon özelligi eşliğinde verilmiştir.

### 1.2.1- Füzyon Reaksiyonları

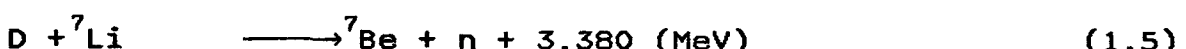
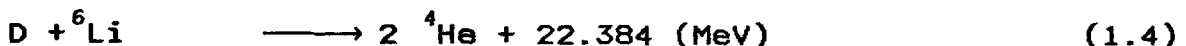
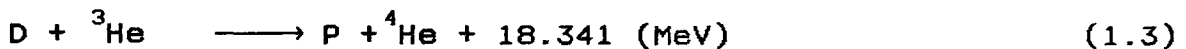
Termonükleer enerji kaynagi; düşük kütleyeli çekirdeklerin, uygun ortam şartlarında birleşerek, büyük bir enerjinin (MeV mertebesinde) açığa çıkışının eşliğinde, daha büyük kütleyeli bir çekirdek oluşturmaları olarak tanımlanan 'Füzyon Reaksiyonları'na dayanır.

Füzyon reaksiyonları aşağıdaki gibi sınıflandırılabilir [2];

#### a1) Klasik Füzyon Yakıtı



#### b1) Geliştirilmiş Reaktörlerde Kullanılabilecek Füzyon Yakıtları

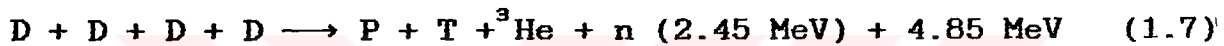


Bu reaksiyonlarda, toplam reaksiyon enerjisi, reaksiyon sonucu açığa çıkan parçacıklar arasında enerji ve momentumun ko-

runumu prensibine göre, paylaştırılır. Böykece ( $D - T$ ) ve ( $D - D$ ) reaksiyonlarından açığa çıkan nötronların enerjileri sırasıyla, 14.1 MeV ve 2.45 MeV dir. ( $D - T$ ) reaksiyonu, tüm füzyon reaksiyonları içerisinde, en yüksek reaksiyon ihtimaline haiz olması nedeniyle, klasik füzyon yakıtı olarak gözönüne alınmıştır. Bu yakıtın bir komponenti olan  $T$ , yapay bir elementtir.

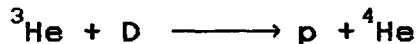
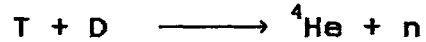
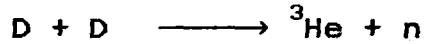
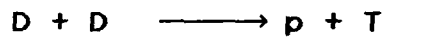
( $D - D$ ) reaksiyonu,  $D$ 'un tabiatta bolca bulunması nedeniyle, ileri füzyon yakıtı olarak büyük bir potansiyele sahiptir. Günümüzde, üç farklı ( $D - D$ ) füzyon reaktör tipi, ilgili sistem araştırmalarının konusunu teşkil etmektedir.

#### a2) Saf (Pure) ( $D - D$ ) Reaktörleri

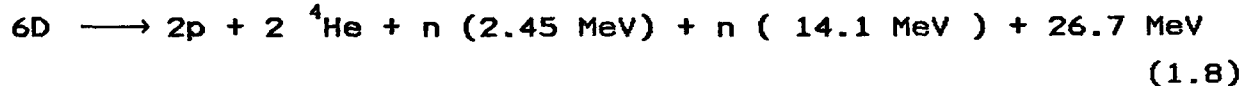


Bu reaksiyonda, açığa çıkan  $T$  ve  ${}^3\text{He}$ , ortamda tekrar reaksiyona girmelerine mani olmak için ortamdan sürekli olarak alınmalıdır. Pratikte,  $T$ 'nin büyük bir kısmının reaksiyona girmesine mani olmak mümkün degildir.

#### b2) Katalize D - Reaktörleri



+



#### c2) Semi Katalize D - Reaktörleri

Katalize D - Reaktörlerine benzer, fakat bu benzerlik ( $D - {}^3\text{He}$ ) reaktörleri için,  ${}^3\text{He}$ 'ün sürekli alınması şartıyla mümkün olmaktadır.



(D - T) füzyon reaktörlerinde, füzyon enerjisinin % 80'i, nötronlar tarafından taşınır. Bu göstermektedir ki, pratik olarak kullanılabilir enerjinin tümü, dışarıda ısı enerjisi olarak kullanılabilir.  $\alpha$  parçacıkları, toplam füzyon enerjisinin % 20'si ile, füzyon reaksiyonuna destek olması için plazmayı ısıtırlar.

Diger taraftan, (D - D) reaktörlerinde, füzyon enerjisinin önemli bir kısmı (yaklaşık % 65'i), elektrik yüklü füzyon reaksiyon ürünleri arasında paylaşılacaktır. Yüksek enerjili yüklü parçacıklar, herhangi bir ısı enerjisinden daha yüksek bir verimlilikle, enerji üretimi için doğrudan dönüştürücülerin (direct converters) kullanımını mümkün kılmaktadır. Bu durum, ( $D - ^3He$ ) reaksiyonlu bir füzyon reaktöründe, ana reaksiyon ürünleninin yüklü parçacıklar olmasından dolayı, sonderece elverişlidir. Böyle bir reaktörde nötronlar, sadece aynı yan reaksiyonlar vasıtasyyla üretilecektir. Bir ( $D - ^3He$ ) reaktöründe üretilen toplam enerjinin sadece yaklaşık % 2'sini bu nötronların taşıyacağı tahmin edilmektedir [2,3].

Bir Füzyon Reaktörü'nün yapısındaki artık radyoaktivite, malzemeyle nötronların etkileşiminden meydana gelir. Nötron bakımından zayıf olan füzyon reaktörleri, eşdeğer güç çıktıları klasik nükleer reaktörlerle karşılaştırıldığında daha düşük radyoaktif artık taşıyacaktır.

İleri Füzyon Reaktörleri, daha yüksek enerji dönüşüm verimliliği ve düşük radyoaktivite taşıması dolayısıyla daha iyi bir avantaja sahip olmasına rağmen, teknolojik gelişimi, bahsi geçen ve ticari öneme haiz olan (D - T) füzyon reaktörlerinden çok daha uzun zamanı ve çabayı gerektirmektedir. Füzyon Reaktörlerinin ilk kuşağı (D - T) modundaki reaksiyonu ihtiyaca eden reaktörler olacaktır. Bir Hybrid Reaktör için, yüksek enerjili (D - T) füzyon nötronları, blankette, yüksek enerji çoğalımı ve yüksek fissile yakıt üretim kapasitesi bakımından çok önemli bir avantaj ortaya çıkarmaktadır.

Füzyon reaksiyonlarının, hybrid reaktör sistemlerinde nötron kaynagi olarak kullanılması durumunda, bu reaksiyonların oluştugu ortam, füzyon sürücü (fusion driver) olarak isimlendi-

rılır. Böylece, yine hybrid sistem açısından, (D-T) ve (D-D) sürücülü reaktörlerden bahsetmek mümkündür.

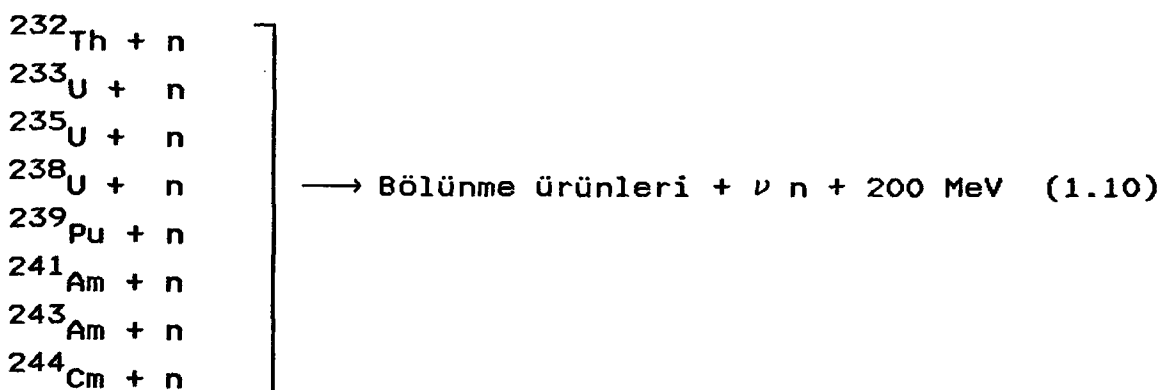
Kendilerine nötron sağlayan füzyon sürücülerinden, hybrid reaktörler üç ana grupda toplanabilir [3,5,15]. Bunlar sırasıyla:

- Tokamak sürücülü hybrid sistem (Tokamak-driver)
- Ayna tipi sürücülü hybrid sistem (Mirror-driver)
- Atalet özellikli füzyon sürücülü hybrid sistem (Inertial fusion driver)

Bütün füzyon sürücülerde temel özellik, plazmanın, belirli bir geometride, plazmayı çevreleyen "ilk cidar" a degmeksizin tutulabilmesidir. Mesela, Tokamak tipinde, plazma, toroidal bir geometride, magnetik olarak sıkıştırılır. Hybrid reaktör uyumlaması açısından, ana eksen üzerinde uzunlamasına bir füzyon plazmasını bulunduran ayna tipi füzyon sürücü, sahip olacağı silindirik geometri sebebiyle, Tokamak tipine göre daha uygun bir yapı ortaya koyar.

### 1.2.2 - Fission Reaksiyonları

Yakıt bölgesinde blanket için düşünülecek olan fonksiyonlarının yerine getirilebilmesi, aşağıda sıralanan belirli bölünme ve dönüşüm reaksiyonları aracılığı ile sağlanır. Bölünme, esas olarak, ağır kütleli çekirdeklerin, nötron yutmaları sonucu ikiye ayrılmalarıdır. Hybrid reaktörlerin yapısına uygun en önemli bölünme reaksiyonları aşağıda verilmiştir. Pratik anlamda, reaktörler için önemli olan bu bölünme reaksiyonları;



Şeklinde sıralanabilir. Bu çekirdeklerden,  $^{232}\text{Th}$  ve  $^{238}\text{U}$ 'in bölünmesi ancak enerjik nötronlar aracılığı ile sağlanabilirken, diğerleri, ortam atomlarıyla dengede bulunan 'Termal Nötron'larla bölünme reaksiyonuna girebilmektedirler.

İlk cidarın gerisinde kalan blanket yapısı, 'hybrid' reaktör sınıflandırılmasında da esas olacak şekilde, temel iki yaklaşım göre dizayn edilebilir [3].

**Brinci yaklaşım**, ilk cidarın hemen arkasına, fertil malzeme-den ( $^{238}\text{U}$ ,  $^{232}\text{Th}$ ) yapılmış bir katman konmasını öngörür. Bu yapı içerisinde füzyon nötronları, fertil malzemeyle hızlı bölünme reaksiyonuna (Fast Fission) girer. Bu ise, gerek enerjinin gerekse nötron sayısının '1' den büyük bir faktörle çoğalması anlamını taşır. Her reaksiyon için, çoğalan nötronlardan birisi, aşağıda debynileceği gibi, (D-T) için gerekli trityum eldesine harcanırken, diğerleri fissile yakıt üretiminde kullanılabilir. Bu özellikleri sebebiyle, böyle bir hybrid blanket 'Hızlı Bölünme Blanketi' olarak isimlendirilir.

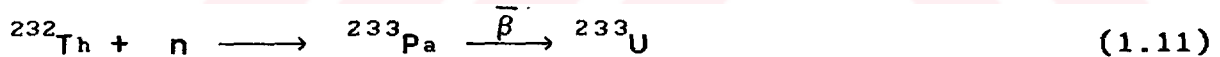
Diger yaklaşımda ise, füzyon nötronları, ilk cidarın hemen gerisinde yer alan, nötron çoğaltıcı bir katmanda (Nötron Multiplier, Be, Pb, veya Li) sayıca ( $n,2n$ ) reaksiyonlarıyla çoğaltılırken, aynı zamanda enerjileri yavaşlatılır. Böylece bu katmandan sonra yer alan ve fertil yakıttan (genel olarak Th) oluşan bölgede, hakim olan reaksiyon, 'Fertil - Fissile' dönüşümü olup, bu blanket esas olarak, fissile yakıt eldesinde kullanılır ( $^{232}\text{Th}$  den  $^{233}\text{U}$ ). Be, nötronik açıdan en iyi çoğaltıcı malzeme olmasına rağmen, sınırlı kaynaga ve fabrikasyonunda bazı güçlükler sahip olması sebebiyle, diğer çoğaltıcı malzemeler de Be yerine kullanılmaktadır. Yine, bu blanket içerisinde, termal nötronlar  $^6\text{Li}$  ile reaksiyona girecekleri için, oluşan  $^{233}\text{U}$  çekirdeklerinin termal nötronlarla bölünme reaksiyonuna girme ihtiyali bir hayli düşüktür. Bu sıralanan nitelikler ise, bu hybrid blanketin 'Düşük Bölünme Oranlı Blanket (Suppressed Fission Blanket)' olarak isimlendirilmesine sebep olur.

Bölünme reaksiyonlarının her birisi, blankette 200 MeV'lik bir enerjinin tutulmasına yol açarken, nötronlar, enerjilerini esas itibariyle, tiryum üretiminin gerçekleştiği, Lityum bö-

gesinde bırakırlar. Hybrid blankette, enerji cogalımı, bir nötron cogaltıcı tabakada bölünmeye ugramayan bir malzeme ile ( $\text{Be}, \text{Pb}$ , ve  $\text{Li}$ ) sağlanabildiği gibi ağır çekirdeklerle gerçekleştelen ( $n,2n$ ) ve ( $n,3n$ ) reaksiyonlarıyla da yakıt bölgesi içerisinde sağlanabilir. Böylece yüksek enerjili ( $D-T$ ) nötronları, ( $n,2n$ ) ve ( $n,3n$ ) reaksiyonları vasıtasiyla nötron ekonomisine katkıda da bulunurlar.  $^{232}\text{Th}$  de elde edilen ( $n,2n$ ), reaksiyon miktarı  $^{238}\text{U}$  de elde edilenden daha yüksektir.  $^{232}\text{Th}$  blanketlerinde, ( $n,2n$ ) reaksiyonundan dolayı nötron kazancı ( $n,f$ ) reaksiyonuyla elde edilenden daha yüksek olduğu yapılan hesaplamalardan görülmüştür [2,3.10].

### 1.2.3 - Dönüşüm ve Üretim Reaksiyonları

Dönüşüm reaksiyonları, ağır çekirdeklerin, nötron yutarak, kütle sayısı 'bir' büyük olan yeni bir çekirdege dönüşmesi şeklinde tanımlanabilir. Bu dönüşüm; sonuçda bölünebilir yeni bir çekirdek (Fissile) ortaya çıkarmak isterse, olayın başlatıldığı çekirdek 'Fertil' çekirdek olarak isimlendirilmek üzere, 'Fertil - Fissile' dönüşümü veya fissile nükleer yakıt üretimi (Fissile Breeding) olarak bilinir. Bu reaksiyonların başlıcaları:



Şeklinde sıralanabilir.

Bir Hybrid Reaktör blanketi kendi füzyon sürücüsü için, kendi Trityumunu ve HafifSulu Reaktörler (Light Water Reactor, LWR) için yeterli miktardaki fissile malzemeyi üretemelidir.

Hızlı spektrumlu bir hybrid blanket, kendi kurulu tesisinden yaktığından daha çok fissile malzeme üretir. Böylece, bir LWR

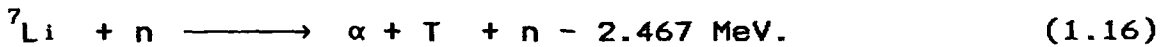
de; harcanan yakıttan oluşan plutonyum ötesi nükleer atık malzemeler, yüksek bir verimlilikle yakılabilirler veya kısmen  $^{242}\text{Am}$ ,  $^{245}\text{Cm}$  gibi kıymetli fissile malzemelere dönüştürülürler. Bu malzemeler en küçük boyutlarda gerçekleştirebilecek fission olaylarını realize etme potansiyeline sahiptirler.

Yukarıdaki paragraflarda kısmen debynildiği şekilde, (D-T) reaksiyonuna dayalı bir plazma için gerekli Tritium'un eldesi de, yine blanket içerisinde gerçekleştirilen bir olaydır. Blanket içerisinde, yakıt bölgesinden sonra yer alan bu bölge, 'Tritium Üretim Bölgesi (Tritium Breeding Zone)' olarak bilinir. Bu katmanın malzemesi ise, Lityum ve bileşikleridir. 'Fusile Breeding' olarak bilinen, Tritium eldesine yönelik temel reaksiyonlar şunlardır:

$^6\text{Li}(n,\alpha)\text{T}$  olarak ta gösterilen



ve  $^7\text{Li}(n,\alpha n')\text{T}$  olarak ta gösterilen



Bu reaksiyonlardan ilki termal, ikincisi ise hızlı nötronlarla daha etkili olarak oluşturulabilme özelliğini taşır.  $^6\text{Li}$  ve  $^7\text{Li}$  trityum üretimi için, sırasıyla termal ve hızlı nötron enerjisi aralığında daha verimlidirler. Daha yüksek enerji aralıklarında, bir nötron,  $^7\text{Li}$  üzerinden bir trityum atomu üretecek yok olmayacağı, diğer bir üretim reaksiyonunu gerçekleştirebilecektir. Böylece, bir füzyon blanketine gelen nötron başına, üretilen trityum daha fazla olacaktır. Füzyon Reaktörlerinde, füzyon yakıtı üretimine yönelik katlanma zamanının (doubling time) daha kısa olmasının nedeni budur.

Hybrit blanketin önemli fonksiyonlarından olan enerji çoğaltımı, M enerji çoğalım katsayısı ile aşağıdaki şekilde hesaplanır:

$$M = \frac{\left( \begin{array}{l} \text{Blankette Tutulan Bölünme} \\ \text{Reaksiyon Enerjisi} \end{array} \right) + \left( \begin{array}{l} \text{Blankette Tutulan} \\ \text{Nötron Enerjisi} \end{array} \right)}{14.1 \text{ MeV (veya } 2.45 \text{ MeV)}} + 1 \quad (1.17)$$

Diger taraftan, Hybrid Reaktör hesaplamaları, M blanket enerji çoğalım katsayısının 40'a kadar çıkabileceğini göstermektedir. Hatta ticari hybrid reaktörlerin konstrüksiyonuna başlamak için, teknolojik esasların, gerçekçi bir yaklaşımla 2000 yıllarına doğru hazır olabileceği tahmin edilmektedir [5,8].

Bir hybrid blankette açığa çıkan ısı enerjisi, sıvı ve gaz soğutucular aracılığı ile alınır ve elektrik enerjisi elde edilecek kısma aktarılır. Sıvı soğutucular, genel olarak, ısı iletim ve nükleer özellikleri sebebiyle sıvı metaller (Sıvı Lityum, Sıvı Sodyum) olmak durumundadır [5,16,17]. Gaz olarak ise, Helium kullanılır.

Diger bir uygulama da, Su Sogutmalı Hybrit Blanket'tir. Bu durumda, sudaki nötron moderasyonu sonucunda, düşük yüzde ile bulunan  $^{235}\text{U}$  ve üretilen Plutonyum'un çekirdek bölünmesine ve dolayısıyla enerji çoğalımına olan katkısı sözkonusudur. Yine bu uygulamada, su ile yakıtın hacimsel oranı değiştirilerek, bölünebilir yakıt üretimi ve enerji çoğalımının, değişik oranlarda gerçekleştirilebileceği, geniş bir kullanım alanına ulaşılabilir. Ayrıca böyle bir blankette nötron spektrumunun, modérator/yakıt oranına olan hassasiyeti, hybrit blanketteki güç dağılımını düzleştirmek için de kullanılabilir.

Nötron ekonomisinin sağlanabilmesi için, blanketin etrafı bir de 'Reflektör' ile çevrilir. Reflektör malzemesi, genel olarak grafit olup, bazen de düşük sıcaklıklı çalışma ortamları için, küçük kütleli çekirdeklerden meydana gelen malzemeler (Be, Fe, v.b) de kullanılabilir.

### 1.3- Çalışmanın Amacı

Yukarıdaki bölümlerde, bir hybrid reaktörün yapısından ve fonksiyonlarından kavramsal düzeyde söz edildi. Bu verilen fiziksel esaslara dayalı olarak bir çok sistem çalışması gerçekleştirilmiştir ve deneysel düzeyde de olmak üzere bu çalışmalar devam etmektedir. Sistem çalışmalarının bir kısmı füzyon nötronunu esas alarak fusile yakıt olarak da bilinen Tritium'un üretilebildiği blanketlerin dizaynına yönelik olarak gerçekleştirilirken [18-23] diğer bir kısmı, blanketinde bölünebilir malzeme bulunan sistemlere ait yakıt çevrimleri üzerinde yoğunlaştırmıştır [24-26]. Bunların dışında, bir hybrid blanket'e ait bileşenlerin bir arada incelendiği, deneysel çalışma programları yürütülmektedir [27-32]. Yürüttülen çalışmalar, yukarıdaki gibi sistematik bir ayrima tabi tutulabildiği gibi; nötron-sürücüsü farklılığına göre D-T (Deuterium-Tritium) [25, 31-33] veya D-D (Deuterium-Deuterium) [34] sürücülü blanketler şeklinde; blanket geometrilerinin farklılığına göre de, düzlem geometrili olanlar [26-28] ve silindirik geometrili olanlar [24, 25, 29, 30] şeklinde bir ayrima tabi tutulabilir. Bir hybrid reaktörün gerçek yapısıyla uyum saglamanın yanısıra, nümerik ve deneysel değerlendirme sonuçları arasında ortaya çıkan farklılıklar, geometri seçimi veya nümerik hesaplamada kullanılan data kaynaklı olup olmadığını belirlemede, düzgün bir simetriye sahip olan silindirik geometrinin, düzlem geometriye göre, belirli bir avantajı olduğu ortaya konulmuştur [31].

Güç üretim sistemlerinin, genelde, geometrik parametreye bağlı olarak düzgün olmayan bir güç üretim egrisine sahip olamları problemi, hybrid blanket için de geçerlidir. Düzgün bir güç dağılımına sahip olmak, hybrid blanket için de, mühendislik açısından, işletim kolaylığı saglama yönüyle istenen bir özelliktir. Bu özelligi elde etmek üzere; su soğutmalı, tabii  $\text{Li}_2\text{O}$  'lu ve D-T sürücülü bir blanket için yapılan nümerik çalışmada [35] üç ayrı metod yardımıyla daha düzgün bir güç dağılımı elde edilmiştir. Bu üç metod; <sup>6</sup> Li yüzdesini önden arkaya doğru zenginleştirmek, blanket içeresine nötron çoğaltıcı bir katman yerleştirmek ve enerji üretimi için kullanılan malzemenin hacim yüz-

desini önden arkaya doğru artırmak, şeklinde sıralanmaktadır.

Güç dağılımını düzgünleştirmek için kullanılan diğer bir yöntem de, blanketin yakıt bölgesinde fisyon etki kesitleri (fission cross section) farklı olan karışık yakıt kullanmak ve yakıtların yüzdesini, blanketin önünden arkasına doğru değiştirmektir [36-41]. 35 numaralı kaynakta belirtilen 3. metodla, karışık yakıt kullanma yöntemi paralellik arzetmektedir.

Çok azı dışında, blanket dizayn çalışmaları, genelde, bir hybrid blanketin performans parametrelerini tesbit etmeye ve iyileştirmeye yöneliktir. Bir blanket dizaynında, optimizasyon açısından parametre tesbiti çok geniş tutulabilirse de [42]; blanketin temel bileşenleri olan, nötron çoğaltıcı katman, yakıt bölgesi, trityum üretim bölgesi ve reflektör katmanları aracılığı ile ortaya konan esas nötronik performans değerleri, değerlendirmede öncelik taşıyanlardır. Yakıt bölgesinde yer alan yakıtını değiştirmeden, trityum üretim bölgesindeki malzemeyi ( $\text{Li}_2\text{O}$ ) değişik zenginleştirme yüzdeleriyle TBR trityum üretim oranını (trityum breeding rate) artırmak açısından kullanmak mümkün olabildiği gibi [35]; aynı bölgeyi çok katmanlı hale getirerek de aynı amaca ulaşabilecegi hesaplanmıştır [22,23, 31,34]. Benzer bir yaklaşımla, yakıt bölgesinde, Tabii Uranyum ve Toryum veya ikisinin karışımı kullanılarak, fissile yakıt oranının artırılması düşünüleceği gibi [24,25,30-32,34,38,39]; enerji çoğalım faktörünün artırılmasına yönelik olmak üzere, yakıt bölgesinde, fisyon etki kesitleri yönünden bir hayli yüksek değerlere sahip, aktinidlerin veya güç dağılımını da düzeltmek üzere, tabii yakıt-aktinid karışımı yakıtların yerleştirilmesinin düşünülmesi de söz konusudur [40,41].

Hybrid blanketin, fisyon-füzyon çizgisinde taşımış olduğu önem, önceki bölümlerde belirtilmişti. Bu önemine dayalı olarak, deneysel çalışma şartlarını kurabilmeyi düşünmenin yakın gelecek için realistik olmadığını bilindiği ülkemizde, yapılacak olan, hybrid blanket dizaynını gerçekleştirmeye yönelik çalışmalardır. Böyle bir çalışma, ilerideki olası deneysel çalışmaların da temelini teşkil edebilecektir. Bu tesbitin ışığı altında, bu çalışmada, bir hybrid blanketi oluşturan bütün bileşenlerin, opti-

mizasyon parametreleri dikkate alınarak, performans egrilerinin ve karakteristiklerinin belirlenmesi ve bu belirlemeye dayalı olarak da bir değerlendirmenin yapılması hedeflenmiştir. Gerek nötron sürücünün değişik iki moduya, gerekse blanketin her katmanında kullanılan değişik malzemelerle, optimizasyon da amac-lanarak, gerçekleştirilen hesaplamalar, çalışmanın kapsamının çok geniş bir çerçevede ortaya çıkışmasını sonuçlandırmıştır. Bu geniş çalışma spektrumu ile de, tabii olarak rahat bir kritik etme imkanı sağlanmıştır.

Hybrid blanket de dahil olmak üzere bir nükleer reaktör ortamında meydana gelebilecek reaksiyon miktarlarının hesabında kullanılabilen nötron dağılımı, Boltzmann Transport Denklemlein çözümüyle belirlenir. Fakat, integro-diferansiyel denklem olan bu denklemin analitik çözümlerini elde etmek kolay olmayan, hatta bazı durumlarda mümkün olmayan, bir özellik arzeder [43]. Bundan dolayı, analitik çözüm yerine, nümerik çözüme gidilir. Gerek, Boltzmann Transport Denkleminin elde edilişi, gerekse, nümerik çözümde kullanılan metod bir sonraki bölümde verilmiştir. Nümerik çözümde kullanılan bilgisayar programı ve nümerik data, seçilen hybrid blanketin geometrisi, nümerik hesaplama sonuçlarına ait tablo ve grafikler ve sonuçların irdelenmesi, çalışmanın bundan sonraki bölüm konularını oluşturmaktadır.

## 2.BÖLÜM

### TRANSPORT TEORİSİNİN TANITIMI

Reaktör Sisitem Çalışmalarında, nükleer ortamın nötron-fizik analizi ve dolayısıyle nötron dağılımı Boltzmann Transport Denklemlerinin çözümüyle verilir. Analitik olarak, ancak bazı yaklaşımalarla gerçekleştirilen bu çözüm  $S_N$  metodu olarak bilinen metodla nümerik olarak ta ortaya konulabilmektedir. Aşağıdaki alt bölümlerde, Boltzmann Denklemının önce elde edilmesi, sonrada denlemin nümerik çözümü için kullanılan  $S_N$  metodu takdim edilmiştir.

#### 2 . 1 - Boltzmann Transport Denkleminin Çıkarılışı

Herhangi bir  $V$  hacmi içerisinde ;  $dE$  aralığında  $E$  enerjili ve  $d\Omega$  aralığında  $\vec{\Omega}$  yönünde haraket eden nötronların sayısı,  $n(\vec{r}, E, \vec{\Omega}, t)$  açısal nötron yoğunluğu olarak tanımlanmak üzere;

$$\left[ \int_V n(\vec{r}, E, \vec{\Omega}, t) dV \right] dE d\Omega \quad (2.1)$$

ifadesiyle verilir. Nötron sayısının zamana göre değişimi dikkate alınırsa balans denklemi;

$$\frac{\partial}{\partial t} \left[ \int_V n(\vec{r}, E, \vec{\Omega}, t) dV \right] dE d\vec{\Omega} = \left[ V' \text{de kazanılan} - V' \text{den kaybedilen} \right] \quad (2.2)$$

şeklinde yazılabilir. Seçilen  $V$  hacminin zamandan bağımsız olduğu farzedilirse;

$$\frac{\partial}{\partial t} \left[ \int_V n(\vec{r}, E, \vec{\Omega}, t) \right] dE d\vec{\Omega} = \left[ \int_V \frac{\partial n(\vec{r}, E, \vec{\Omega}, t)}{\partial t} \right] \quad (2.3)$$

bağıntısı elde edilir.

$V$  hacminden, nötronların açığa çıkması veya kaybolması durumunu da dikkate alarak,  $n(\vec{r}, E, \vec{\Omega}, t)$  açısal yoğunluk terimi cinsinden kazanç ve kayıp mekanizması matematiksel olarak yazılabılır.

Bunun için :

a - Kazanç Durumu

1 -  $V$  hacminden yeralan herhangi bir kaynaktan (fisyon gibi) açığa çıkan nötronlarla,

2 -  $S$  yüzeyinden  $V$  hacmine akan nötronlarla ve,

3 -  $V$  hacminden  $E'$  ve  $\vec{\Omega}'$  durumundan  $E$ ,  $\vec{\Omega}$  ye saçılma çarpışmalarına maruz kalarak değişen farklı  $E'$ ,  $\vec{\Omega}'$  li nötronlarla belirlenir.

b - Kayıp Durumu ise,

4-  $S$  yüzeyinden kaçan nötronlarla,

5-  $V$  hacminden çarpışmaya maruz kalan nötronlarla belirlenir. Bu son maddede yer alan nötronların, gerek yutulma reaksiyonlarına gerekse nötronların enerjisini düşürecek çarpışma reaksiyonlarına maruz kaldıkları düşünülmektedir. Bu faktörlerin

herbiri için matematiksel ifadeler şu şekilde yazılabilir:

### 1 - Kaynak terimi

$$S(\vec{r}, E, \vec{\Omega}, t) dV \quad dE \quad d\vec{\Omega} = \boxed{\begin{array}{l} \vec{r} \text{ civarında } dV \text{ 'de, } E \text{ civarında} \\ dE \text{ 'de, ve } \vec{\Omega} \text{ civarında } d\vec{\Omega} \text{ 'de} \\ \text{birim zamanda açıga çıkan kaynak} \\ \text{nötron miktarı} \end{array}} \quad (2.4)$$

olacaktır. Dolayısıyla;

$$\text{KAZANÇ1} = \left[ \int_V S(\vec{r}, E, \vec{\Omega}, t) \, dV \right] \, dE \, d\vec{\Omega} \quad (2.5)$$

2 ve 4 - V hacmine yüzeyinden olan giriş çıkış. Bu terimler birlikte mütala edilerek, S yüzeyinde gerçekleşen net kaçaklar hesaplanabilir. Eğer,  $v n(\vec{r}, E, \vec{\Omega}, t)$  çarpımı ile tanımlanan skaler nitelikli "Acısal Nötron Akısı"  $\phi(\vec{r}, E, \vec{\Omega}, t)$  olarak gösterilir,  $\vec{\Omega}$  birim vektörü aracılığı ile  $\vec{J}(\vec{r}, E, \vec{\Omega}, t) = \phi(\vec{r}, E, \vec{\Omega}, t) \vec{\Omega}$  vektörel büyüklüğü; "Acısal Akı yoğunluğu" olarak tanımlanırsa; E ve  $\vec{\Omega}$  'li nötronların  $d\vec{S}$  yüzey elemanının dışına birim zamanda kaçma miktarı:

$$\vec{J}(\vec{r}, E, \vec{\Omega}, t) \cdot d\vec{S} = v n(\vec{r}, E, \vec{\Omega}, t) \vec{\Omega} \cdot d\vec{S} \quad (2.6)$$

şeklinde ifade edilebilir. Böylece, S yüzeyi için giriş ve çıkış yapan nötronlardan geriye net olarak kalan miktar, kaçakların katkısı şeklinde;

$$\text{KAZANÇ2 - KAYIP4} = \int_S v \vec{\Omega} n(\vec{r}, E, \vec{\Omega}, t) \cdot d\vec{S} \quad (2.7)$$

olur. Gauss's Teoremine göre bu ifade  $\left( \int_S \vec{A}(\vec{r}) \cdot d\vec{S} = \int_V \nabla \cdot \vec{A}(\vec{r}) dv \right)$

şeklinde hacim integrali olarak yazılırsa;

$$\begin{aligned} & \left[ \int_S v \cdot \vec{n}(\vec{r}, E, \vec{\Omega}, t) \cdot d\vec{S} \right] dE d\vec{\Omega} = \left[ \int_V \nabla \cdot v \cdot \vec{n}(\vec{r}, E, \vec{\Omega}, t) dv \right] dE d\vec{\Omega} \\ & = \left[ \int_V v \cdot \vec{n} \cdot \nabla n(\vec{r}, E, \vec{\Omega}, t) dv \right] dE d\vec{\Omega} \end{aligned} \quad (2.8)$$

$\vec{v}$  -  $E$  civarında  $dE$  aralığına ve  $\vec{\Omega}$  civarında  $d\vec{\Omega}$  aralığına  $E'$ 'enerjili ve  $\vec{\Omega}'$ 'yönlü nötronların saçılması nedeniyle ortaya çıkan kazanç.

$E'$ ,  $\vec{\Omega}'$  durumundan  $E$ ,  $\vec{\Omega}$  'ye saçılma ihtimali çift katlı diferansiyel saçılma etki kesiti terimiyle verilmektedir [43].

$$\left[ \int_V v' \sum_S (E' \rightarrow E, \vec{\Omega}' \rightarrow \vec{\Omega}) n(\vec{r}, E', \vec{\Omega}', t) dv \right] dE d\vec{\Omega} \quad (2.9)$$

Böylece, herhangi bir  $E'$ ,  $\vec{\Omega}'$  'den  $E$ ,  $\vec{\Omega}$  'ye olabilecek katkılar dikkate alınmak durumundadır. Bu ifade, bütün,  $E'$ 've  $\vec{\Omega}'$ 'ler için integre edilirse saçılma yoluyla elde edilecek toplam kazanç şu ifade ile verilebilir:

$$KAZANÇ3 = \left[ \int_V \int_{4\pi}^{\infty} \int_0^{\infty} v' \sum_S (E' \rightarrow E, \vec{\Omega}' \rightarrow \vec{\Omega}) n(\vec{r}, E', \vec{\Omega}', t) dv \right] dE' d\vec{\Omega}' dV \quad (2.10)$$

Bu terim ile diğer enerji ve doğrultulardan ( $dE d\vec{\Omega}$ ) aralığına olabilcek saçımaların dikkate alınıyor olması sebebiyle, içsaçılma terimi olarak ta tanımlanmaktadır.

5 -  $V$  hacminde, olabilecek nötron etkileşimlerinden (özellikle çarpışmalardan) doğacak nötron kaybı:

Bir  $\vec{r}$  noktasında, etkileşime maruz nötronların birim zamandaki kayıp miktarı

$$f(\vec{r}, E, \vec{\Omega}, t) = v \sum_t (\vec{r}, E) n(\vec{r}, E, \vec{\Omega}, t) \quad (2.11)$$

İfadesiyle belirlenebilir.  $V$  hacmi üzerinde birim zamandaki bu çarpışma miktarının integrali:

$$\text{KAYIP5} = \left[ \int_V v \sum_t (\vec{r}, E) n(\vec{r}, E, \vec{\Omega}, t) dV \right] dE d\vec{\Omega} \quad (2.12)$$

olur.

Bu terimlerin hepsi nötron balansını oluşturacak şekilde;

$$\begin{aligned} & \left[ V \text{ hacmindeki nötron sayısının birim zamandaki değişim miktarı} \right] \\ & \equiv \text{KAZANÇ1} + \text{KAZANÇ2} + \text{KAZANÇ3} - \text{KAYIP4} - \text{KAYIP5} \end{aligned} \quad (2.13)$$

özdeşliği olarak yazılabilir. Matematiksel karşılıkları yazılarak,

$$\begin{aligned} & \int_V \left[ -\frac{\partial}{\partial t} n(\vec{r}, E, \vec{\Omega}, t) dV dE d\vec{\Omega} + v \vec{\Omega} \cdot \vec{\nabla} n(\vec{r}, E, \vec{\Omega}, t) + \right. \\ & \left. v \sum_t (\vec{r}, E) n(\vec{r}, E, \vec{\Omega}, t) - \int_{4\pi} \int_0^\infty v' \sum_S (E' \rightarrow E, \vec{\Omega}' \rightarrow \vec{\Omega}) \right. \end{aligned}$$

$$n(\vec{r}, E, \vec{\Omega}, t) dE' d\vec{\Omega}' - S(\vec{r}, E, \vec{\Omega}, t) \left[ dV dE d\vec{\Omega} \right] = 0 \quad (2.14)$$

genel bağıntısına ulaşılır.

$$\int_V f(r) dV = 0 \Rightarrow f(r) = 0$$

Şeklindeki bir eşitlikte,  $dV = 0$  olacağından, yukarıdaki genel ifade ;

$$\begin{aligned} & \frac{\partial}{\partial t} n(\vec{r}, E, \vec{\Omega}, t) + v \vec{\Omega} \cdot \vec{\nabla} n(\vec{r}, E, \vec{\Omega}, t) + v \sum_t (\vec{r}, E) n(\vec{r}, E, \vec{\Omega}, t) \\ &= \int_{4\pi} \int_0^\infty v' \sum_S (E' \rightarrow E, \vec{\Omega}' \rightarrow \vec{\Omega}) n(\vec{r}, E', \vec{\Omega}', t) + S(\vec{r}, E, \vec{\Omega}, t) dE' d\vec{\Omega}' \end{aligned} \quad (2.15)$$

olarak yazılabilir. Bu denklem 'Nötron Transport Denklemi' olarak bilinir [43-45].

Açışal nötron akısının

$$\phi(\vec{r}, E, \vec{\Omega}, t) = v n(\vec{r}, E, \vec{\Omega}, t) \quad (2.16)$$

Şeklindeki eşitliginden hareketle  $n(\vec{r}, E, \vec{\Omega}, t) = \frac{1}{v} \phi(\vec{r}, E, \vec{\Omega}, t)$  yazılıp (2.15) bağıntısında yerine konur ve gerekli düzenlemeler yapılırsa;

$$\frac{1}{v} \frac{\partial}{\partial t} \phi(\vec{r}, E, \vec{\Omega}, t) = s(\vec{r}, E, \vec{\Omega}, t) + \int_{4\pi}^{\infty} \sum_{t=0}^{\infty} S(E' \rightarrow E, \vec{\Omega}' \rightarrow \vec{\Omega})$$

$$\phi(\vec{r}', E', \vec{\Omega}', t) dE' d\vec{\Omega}' - \sum_t (\vec{r}, E) \phi(\vec{r}, E, \vec{\Omega}, t) - \Omega \nabla \phi(\vec{r}, E, \vec{\Omega}, t) \quad (2.17)$$

Şeklindeki 'Boltzmann Transport Denklemi' olarak da bilinen, nötron transport denkleminin nötron akısına göre düzenlenmiş şekli elde edilir.

Fisyon nötronlarının etkisini açıklamak üzere, kaynak terimine nükleer fisyonu hesaba katan bir bileşen ilave edilerek, (2.17) denklemi genelleştirilebilir.  $E'$  enerjili ve  $\vec{\Omega}'$  yönlü nötronların birim zamanda, birim hacim için meydana getirdikleri fisyon sayısı

$$\sum_f (E') \phi(\vec{r}, E', \vec{\Omega}', t)$$

dir.  $E'$  enerjili bir nötron tarafından neden olunan fisyonla üretilen, fisyon nötronlarının ortalama sayısı  $v(E')$  ise,  $\vec{r}$  konumunda birim zamanda birim hacimde üretilen fisyon nötronlarının toplam miktarı;

$$\int_{4\pi}^{\infty} \int_0^{\infty} v(E') \sum_f (E') \phi(\vec{r}, E', \vec{\Omega}', t) dE' d\vec{\Omega}' \quad (2.18)$$

olur. Bu fisyon nötronları,  $\chi(E)$  fisyon spektrumu tarafından verilen bir enerji dağılımına sahip olacaklardır. Fisyon nötronlarının izotropik olarak yayıldığı farzedilerek toplam oran;

$$S(\vec{r}, E, \vec{\Omega}, t) = \frac{\chi(E)}{4\pi} \int_{4\pi}^{\infty} d\vec{\Omega}' \int_0^{\infty} dE' v(E') \sum_f (E') \phi(\vec{r}', E', \vec{\Omega}', t) \quad (2.19)$$

olarak elde edilir. (2.17) numaralı denklemin sağ tarafında yer alan kaçak ve absorbsiyon terimleri, üretim terimlerine (fisyon ve saçılma) eşit olacak şekilde geometri ve malzeme yapısı düzenlenirse , denklemin sağ tarafı ve dolayısıyla nötron miktarının zamana göre değişimi sıfırlanmış olur. Bu durumda reaktörün kritik olduğundan ve nötron miktarının zamanla sabit kalacağından bahsedilebilir.

Verilen bir malzeme yapısı için (2.17) denkleminin sağındaki bütün terimler belirlenirken  $\vec{Q} \nabla \phi(\vec{r}, E, \vec{\Omega}, t)$  terimi belirlenmemiştir. Bu, kritikliğin sadece  $\vec{Q} \nabla \phi(\vec{r}, E, \vec{\Omega}, t)$  teriminin özel bir değeri için olabileceğini ifade etmektedir ve bu terim , sistemden nötron kaçaklarını ve sistemin geometriye olan bağlılığını gösterir.Bu şekilde kritik geometri tanımlaması yapılmaktadır.

Verilen bir geometri için kritiklik, nötron absorblayıcıların sokulup çıkarılması vasıtasyyla  $\sum_{t_f}$  değiştirilerek elde edilir. Kritik olmayan sistemlerin statik hesaplamaları, nötron dağılımının zamana bağlılığı dikkate alınmaksızın, denklem kapsamlı olsun düşüncesiyle (2.19) denklemindeki  $v(E)$  terimi  $k_{\text{eff}}$  faktörüne bölünerek yapılmaktadır.

$$S(\vec{r}, E, \vec{\Omega}, t) = \frac{1}{k_{\text{eff}}} \frac{\chi(E)}{4\pi} \int_{-\infty}^{\infty} \nu(E') \sum_f (\vec{r}', E', \vec{\Omega}, t) dE' d\vec{\Omega}' \quad (2.20)$$

Sistemde fisyon nötron kaynagının dışında  $Q(\vec{r}, E, \vec{\Omega}, t) dE d\vec{\Omega}$  gibi fazladan bir nötron kaynağı da mevcutsa;

$$S(\vec{r}, E, \vec{\Omega}, t) = \frac{1}{k_{\text{eff}}} \frac{\chi(E)}{4\pi} \int_0^{\infty} d\vec{\Omega}' \int^{\infty} dE' \nu(E') \sum_f (\vec{r}', E', \vec{\Omega}', t) + Q(\vec{r}, E, \vec{\Omega}, t) \quad (2.21)$$

Şeklinde ilave edilmek durumundadır.

## 2. 2- $S_N$ Teorisinin Matematiksel İfadeesi

Boltzmann Transport Denklemi 'nin yaklaşık bir çözümüne imkan veren  $S_N$  metodunda nötron akısının açıya bağlılığı; nötron hareket yönü incelenirken, uzay açısı  $N$  sektöre bölünerek, ve her sektör içinde nötron akısının açıya bağlı olmadığı kabul edilerek, ifade edilir.

Nötron akısının enerjiye bağlılığı, enerji bölgesini sonlu sayıda gruptara (IG) bölüp her grup içinde aki ve tesir kesitlerinin sabit olduğu gözönüne alınarak belirtilir.

Akınnın uzay koordinatlarına bağlılığı da, tetkik edilen bölge (IM) sayısınca sonlu elemanlara bölünerek gözönüne alınır.

Aniztropik saçılma tesir kesitlerinin açıya bağlılığını ifade etmek için ise, küresel Legendre polinomlarından faydalanyılır.

$$\sum_{S}(\vec{r}, E' \rightarrow E, \vec{\Omega}' \rightarrow \vec{\Omega}) = \sum_{L=1}^{L_{\max}} \frac{2L+1}{4\pi} \sum_{S,L} (\vec{r}, E' \rightarrow E) P_L(\vec{\Omega}', \vec{\Omega}) \quad (2.22)$$

Küresel Legendre polinomları ortagonal olduklarından, saçılma tesir kesitlerinin  $\sum_{S,L}$  componentleri kolayca aşağıda gösterildiği şekilde elde edilebilir.

$$\sum_{S,L} (\vec{r}, E' \rightarrow E) = \int_S \sum_{S} (\vec{r}, E' \rightarrow E, \vec{\Omega}' \rightarrow \vec{\Omega}) P_L(\vec{\Omega}', \vec{\Omega}) d(\vec{\Omega}', \vec{\Omega}) \quad (2.23)$$

$\sum_{S} (\vec{r}, E \rightarrow E, \vec{\Omega}' \rightarrow \vec{\Omega})$  değerleri tesir kesitlerinin tablolardan öğrenilebilir. Uzay açısını belirleyen vektörünün bileşkesinden biri olan  $\theta$ 'nın kosinüsü,

$$\mu = \cos\theta \quad (2.24)$$

şeklinde tarifedilerek ve küresel Legendre polinomlarının top-

lama teoreminden faydalınlara,

$$P_L(\Omega^{\vec{z}}, \Omega^{\vec{y}}) = P_L(\mu') P_L(\mu) + 2 \sum_{m=1}^L \frac{(L-m)!}{(L+m)!} P_L^m(\mu) P_L^m(\mu') \cos(\psi' - \psi) \quad (2.25)$$

şeklinde yazılabilir. [43-54]

Nötron akışının  $\psi$  açısına bağlı olmadığı, bir boyutlu düzlem ve küresel geometrilerde (2.17) bağıntısında belirtilen  $\oint$ 'integrationu,  $\psi'$  komponenti için 0 ile  $2\pi$  arasında uygulandığı takdirde (2.25) ifadesinde  $\cos\psi$  çarpımını ihtiva eden terimler;

$$\int_0^{2\pi} \cos\psi' d\psi' = 0$$

oldugundan eşitlikten çıkarlar. Böylece (2.22) ifadesi bir boyutlu düzlem ve küresel geometriler için;

$$\sum_S (x, E' \rightarrow E, \mu' \rightarrow \mu) = \sum_{L=1}^{L_{\max}} \frac{2L+1}{2} \sum_{S,L} (x, E' \rightarrow E) P_L(\mu') P_L(\mu) \quad (2.26)$$

şeklini alır.

Hızlı reaktör spektrumu, bu çalışmada gözönüne alınan blancket için, çıkış noktasını teşkil ettiginden nötronların termik bölgedeki maruz kaldıkları ve termik reaktörler için büyük önemiyeti olan alt enerji gruplarından üst enerji gruplarına saçılma olayını (upscatter) göz önüne almaya gerek yoktur. Bu takdirde Boltzmann Transport Denklemi, küresel geometri için;

$$\mu \frac{\partial}{\partial x} \emptyset(x, E, \mu) + \frac{(1-\mu^2)}{x} \frac{\partial}{\partial \mu} \emptyset(x, E, \mu) + \sum_t (x, E) \emptyset(x, E, \mu) =$$

$$Q(x, E, \mu) + \frac{1}{k_{eff}} \chi(E) \int_{E'=E}^{\infty} v(x, E) \sum_f (x, E) \int_{\mu'=-1}^1 \emptyset(x, E', \mu') d\mu' dE' +$$

$$\sum_{L=1}^{L_{max}} \frac{2L+1}{2} P_L(\mu) \int_{E'=E}^{\infty} \sum_{S,L} (x, E' \rightarrow E) \int_{\mu'=-1}^1 P_L(\mu') \emptyset(x, E', \mu') d\mu' dE' \quad (2.27)$$

(2.27) ifadesini  $S_N$  metoduyla çözerken daha önce de belirtildiği gibi, açıya bağlılık  $\mu=1$  ( $\theta=0$ ) ile  $\mu=-1$  ( $\theta=\pi$ ) arasındaki bölge  $N$  sektöre bölgerek incelenebilir.  $N$ , IG(Enerji Grup Sayısı) ve IM(Geometrik İnteval Sayısı) değerleri büyüdükçe nümerik çözümün sıklığı artar. Tesir kesitlerinin anizotropik karakteri de  $P_L$  açılımında  $l$  derecesi yükseldiğe daha sık hatlı yansıtılır.

(2.27) ifadesinden  $S_N$  metoduna geçiş şöyle ifade edilebilir.

(2.27) ifadesinin iki tarafı,

$$\int_{r \in \Delta r} \int_{E \in \Delta E} \int_{\mu \in \Delta \mu} dx dE d\mu$$

integral operatörüyle çarpılırsa:

$$\int_x \int_E \int_{\mu} \mu \frac{\partial}{\partial x} \emptyset(x, E, \mu) dx dE d\mu + \int_x \int_E \int_{\mu} \frac{(1-\mu^2)}{x} \frac{\partial}{\partial \mu} \emptyset(x, E, \mu) dx dE d\mu +$$

$$\begin{aligned}
 \int_{x \in E} \int_{E \in \mu} \int_{\mu} \sum_t (x, E) \emptyset(x, E, \mu) dx dE d\mu &= \int_{x \in E} \int_E \int_{\mu} \left\{ \frac{1}{k_{\text{eff}}} \chi(E) \int_E^{\infty} \nu(x, E) \sum_f (x, E) \right. \\
 &\quad \left. \int_{\mu=-1}^1 \emptyset(x, E', \mu') d\mu' dE' dx dE d\mu \right\} + \int_{x \in E} \int_E \int_{\mu} Q(x, E, \mu) dx dE d\mu + \\
 &\quad \int_{x \in E} \int_E \int_{\mu} \left\{ \sum_{L=1}^{L_{\max}} \frac{2^{L+1}}{2} P_L(\mu) \int_{E'=E}^{\infty} \sum_{S,L} (x, E' \rightarrow E) \int_{\mu'=-1}^1 P_L(\mu') \emptyset(x, E', \mu') \right. \\
 &\quad \left. d\mu' dE' \right\} dx dE d\mu \tag{2.28}
 \end{aligned}$$

elde eilir.

Ortalama değer teoremine göre  $y_1 - y_2 = \Delta y$  integral aralığı için

$$\int y \cdot f(y) dy \cong \bar{y} \cdot f(\bar{y}) \cdot \Delta y \tag{2.29}$$

yazılabilir. Burada  $y_1 < \bar{y} < y_2$  dir.  $\bar{y}$  gerçek ortalama degere ne kadar yakınsa (2.29) bağıntısı o kadar iyi netice verir.

$E \in \Delta$  ve  $x \in \Delta$  aralıkları için ortalama değer teoreminden faydalananırken; tesir kesitlerinin enerjiye göre değişim ile birlikte ortamındaki geometrik yapıyı ve malzeme dağılımını gözönüne alınarak,  $\Delta E$  ve  $\Delta x$  bölgelerinin sınırlarının tesbitinde uygun bir karara varılması gereklidir.

Nümerik açı ( $\mu$ ) 'nın integrasyonunun yapılması için çeşitli yollara başvurulabilir.  $S_N$  metodunun ilk geliştirildiği zamanlarda  $\mu=-1$  ile  $\mu=1$  arasındaki bölge  $N$  eşit aralığa bölünüp nötron nakışının bu aralıklarda sabit ve lineer olduğu kabul edilmiştir.

Açı entegrasyonu, Legendre - Gauss Kuadratür 'leri yardımıyla

$\mu=1$  ile  $\mu=1$  arasındaki bölge 8 sektöre bölünerek elde edilmiş-tir.

Böylece küresel geometride s yaklaşımıyla nötron akısının açıya bağlılığının gayet yüksek bir hassasiyetle elde edildiği kolayca anlaşılır.

Ortalama değer teoremi çevresinde  $\Delta x$ ,  $\Delta E$  ve  $\Delta \mu$  aralıklarında nötron akısı sabit kabul edildiği takdirde (2.28) bağıntısı:

$$\mu \frac{\partial}{\partial x} \emptyset(x_j, E_g, \mu_i) \Delta x_j \Delta E_g \Delta w_i + \frac{(1-\mu^2)}{x_j} \frac{\partial}{\partial \mu} \emptyset(x_j, E_g, \mu_i)$$

$$\Delta x_j \Delta E_g \Delta w_i + \sum_t (x_j, E_g) \emptyset(x_j, E_g, \mu_i) \Delta x_j \Delta E_g \Delta w_i = Q(x_j, E_g, \mu_i)$$

$$\Delta x_j \Delta E_g \Delta w_i + \left\{ \frac{1}{k_{eff}} \chi(E_g) \sum_{g' \rightarrow g}^{IG} v(x_j, E_g) \sum (x_j, E_g \rightarrow E_g', \mu_i') \right\}$$

$$\sum_{n=1}^N \emptyset(x_j', E_g', \mu_i') \Delta E_g \Delta w_n \} \Delta x_j \Delta E_g \Delta w_i + \sum_{L=1}^{max} \frac{2L+1}{2} P_L(\mu_i)$$

$$\Delta x_j \Delta E_g \Delta w_i \sum_{g'=g}^{IG} \sum_{s,L} (x_j, E_g' \rightarrow E_g) \sum_{n=1}^N P_L(\mu_n') \emptyset(x_j', E_g', \mu_n') \Delta E_g' \Delta w_n'$$

(2.30)

Şeklinde ifade edilebilir.

Burada  $w_i$  ağırlıkları Legendre polinomları yardımıyla;

$$w_i = \frac{2}{(1-\mu^2) P_N (\mu_i)^2} \quad (2.31)$$

şeklinde tarif edilmiştir.

### 2.3- Nümerik Hesap Uygulaması

Bu çalışmada göz önüne alınan değişik hybrid blanket geometrileri için, Boltzmann Transport Denkleminin nümerik çözümleri silindirik geometrileride,  $S_8-P_3$  yaklaşımı esas alınmak suretiyle, ANISN Transport Kodu [46] kullanılarak gerçekleştirilmiştir.

Nümerik hesaplamalarda kullanılan data ise 42 gruplu (30 nötron + 12 foton) CLAW-IV data paketidir [47]. Bu data aracılığı ile, nötron transport etki kesitleri, 0.025 eV ile 17.1 Mev 'lik enerji aralığında 30 grup olarak hesaplamalara sokulmuştur. Aynı data paketi, hybrid blanket ortamında, ortaya çıkacak, nötron etkileşimi miktarının hesabında kullanılan, reaksiyon etki kesitlerini de içerisinde bulundurmaktadır.

Nümerik hesaplamalar sonucunda elde edilen değerlerin toplandığı tablo ve şekiller ilgili bölüm sonlarında topluca takdim edilmiştir.

### 3. BÖLÜM

#### ÇALIŞMADA KULLANILAN BLANKET YAPISI

Yapılmış olan çalışmalarla bir mukayese yapabilmek amacıyla değişik zamanlarda uluslararası bilim topluluğuna sunulmuş ve değerlendirilmiş deneysel bir hybrid blanket geometrisi çalışma boyunca esas olarak alınmıştır [32,38-40]. Nötronik parametrelerin değerlendirilmesine yönelik nümerik hesaplamalar, bu geometriden hareket edilerek gerçekleştirılmıştır. Şekil-3.1 de çalışma sırasında esas alınan blanket geometrileri şematik olarak verilmiştir.

Şekil-3.1 de görülen blanket geometrileri; başlangıç hesaplarında esas itibariyle dört ana bölgeden oluşmaktadır ve bu durum Şekil-3.1.(a) 'da da görülmektedir.

1. Bölge: D-D veya D-T füzyonunun oluşturulduğu plazmayı çevreleyen silindirik ilk cidar (İC) (first wall). İlk cidarın malzeme yapısı ise içersinde Silisyum, Krom, Mangan, Nikel, Molibden ve Demir bulunan 2 cm kalınlığında SS316 paslanmaz çeligidir.

2.Bölge:  $\text{ThO}_2$  kullanılarak yapılan yakıt çubuklarından oluşan 10 sıralık yakıt bölgesi (YB) (fuel zone). Yakıt cubukları gaz soğutmalı bir blanket yapısı oluşturmak üzere toplam eleman hacminde % 45.25 'lik bir hava boşluguna izin verecek şekilde, Alüminyum bir kılıf ( $D_d = 12 \text{ mm}$ ,  $D_i = 10 \dots \text{mm}$ ) içerisinde yeralan

10 mm çapındaki yakıt elemanlarından meydana gelir. Yakıt çubukları silindirik geometrinin eksenine dik bir düzlemede altıgen bir yapı oluşturacak şekilde dizilmişlerdir. Bu durum Şekil-3.2 'de görülmektedir.

3. Bölge:  $\text{Li}_2\text{O}$  bileşiminde yer alan  $^6\text{Li}$ 'nın yavaş nötronlarla,  $^7\text{Li}$ 'nin, hızlı nötronlarla girdiği etkileşim sonunda Trityumin elde edildiği, 20 cm kalınlıkta Tritium Üretim Bölgesi (TÜB) (Tritium Breeding Zone).

4. Bölge: Nötronların geri yansıtıldığı 30 cm kalınlıkta ve grafitten oluşan reflektör katmanı.

Nümerik hesap sonuçlarının değerlendirilmesinde göz önüne alınacak ve bir sonraki bölümde verilecek olan performans kriterlerini parametrik bir inceleme açısından karşılaştırabilmek amacıyla, Şekil-3.1 (a) da verilen geometri üzerinde aşağıda belirtilen geometrik değişiklikler yapılmıştır:

Önce, trityum üretim bölgesini (TÜB) geçen enerjik nötronların, grafit ortamda modere edilerek  $\text{Li}_2\text{O}$  daki  $^6\text{Li}$  ile girecekleri trityum üretim reaksiyon miktarını artırmak amacıyla [23], katman kalınlıklarının toplamı Şekil-3.1 (a) 'daki ilgili katman kalınlıklarına eşit olmak üzere, TÜB ve reflektör bölgeleri ikişer katmana bölünerek, yeni bir geometri elde edilmiştir (Şekil-3.1 (b)). Aynı amaçla, TÜB ve Reflektör, her birisine ait katman hacimlerinin toplamı, Şekil-3.1 (a) 'daki katman hacimlerine eşit olmak üzere, ikişer katmana bölünerek, Şekil-3.1 (c) 'deki geometri elde edilmiştir. Malzeme yapısını değiştirmeden, yine, TÜB ve Reflektör, benzer anlayışla üç kısma bölünenrek, Şekil-3.1 (d) ve (e) 'deki geometrilere geçilmiştir. Şekil-3.1 (f) de görülen geometri ise, Şekil-3.1 (e) 'deki geometrik yapıya, ilk cidar ve yakıt katmanları arasında bulunmak üzere, bir nötron çoğaltıcı (NC) katmanının konulmasıyla elde edilmiştir.

Açık olarak, Şekil-3.1 de belirtilen şematik gösterimlerin, herbirine farklı malzeme yapısına sahip geometriler karşılık gelecektir. Nümerik hesaplamlarda, ilk beş hesap, malzeme yapısının sabit tutularak, katman kalınlıklarının belirtilen şekilde

yakıt olarak  $^{232}\text{Th}$  yerine Tabii Uranyum (% 0.7  $^{235}\text{U}$  ve % 99.3  $^{238}\text{U}$ ) 'un alındığı blanketlere ait hesaplamalarıdır. Bu ilk on hesapta kullanılan blanket geometri ve malzeme yapısı Tablo-3.1 de gösterilmiştir.

Bu ilk on hesabın sonunda, geometrinin optimizasyonuna yönelik olarak yapılan değerlendirmeye ile, nümerik hesaplamaların devamında kullanılacak geometrinin seçimi için TÜB ve Reflektör katmanlarının hacimce üç kısma bölündüğü geometrimin uygun olacağı sonucuna varılmıştır. Bu sonucu belirleyen performans değerleri, bir sonraki bölümde tablo halinde verilmiştir.

Daha sonraki hesaplamalarda, belirlenen bu optimal geometri içerisinde sadece malzeme yönünden değişiklige gidilmiştir. Böylece, **yakıt bölgesinde kullanılan yakıtlar:**

- $\text{ThO}_2$ ,  $\text{UO}_2$ ,  $\text{AmO}_2$  ve  $\text{CmO}_2$

**Şeklinde değiştirilirken; Trityum üretim bölgesinde,**

- $\text{Li}_2\text{O}$ , Saf Li ;

**Reflektör bölgesinde;**

- C, Be ve

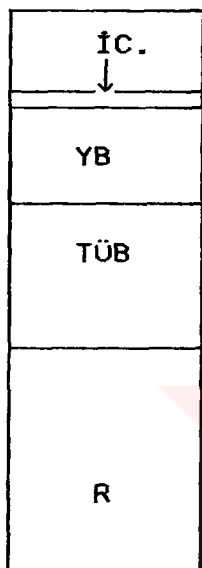
**Nötron çoğaltıcı katman içerisinde,**

- Be ve Pb

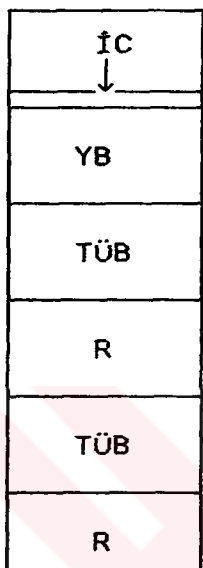
malzemeleri kullanılarak parametrik çalışmaya ait nümerik hesaplamalar tamamlanmıştır. Sıralanan yakıtlar arasında yer alan  $\text{AmO}_2$ ,  $^{241}\text{Am}$  ve  $^{243}\text{Am}$  izotoplarını içinde bulunduracak ve izotopik bileşimini LWR den elde edildiği artık yakıt bileşime eşdeğer olacak şekilde nümerik hesaplamalara sokulmuştur [33]. Değişik bölgelerde kullanılan malzeme yapısı ve çekirdek yoğunlukları Tablo-3.3 de verilmiştir. Ayrıca bu hesaplamalara

ait geometri düzenlemesi ilk hesaplamalar hariç fakat onların devamı olmak üzere Tablo-3.3 'de detaylı olarak verilmiştir.

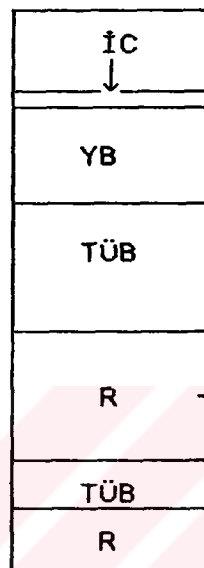
Nötron Kaynagi



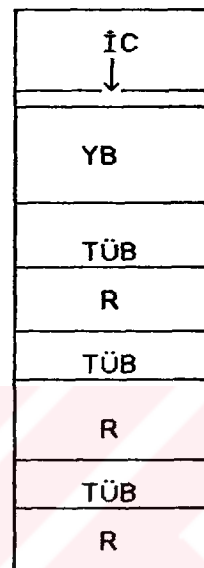
(a)



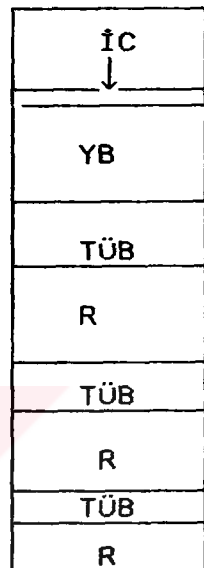
(b)



(c)

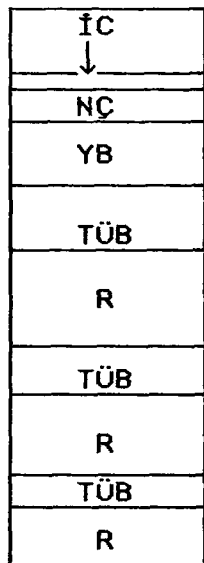


(d)



(e)

Nötron Kaynagi



(f)

İC → İlk Cidar

NC → Nötron Çoğaltıcı

YB → Yakıt Bölgesi

TÜB → Tritium Üretim Bölgesi

R → Reflektör

Şekil- 3.1 Hybrid Blanket Gometrileri

**Tablo-3.1 Geometrik Olarak Optimize Edilecek Hybrid Blanketlerin  
Malzeme ve Geometrik Yapıları ile Geometri Numaraları**

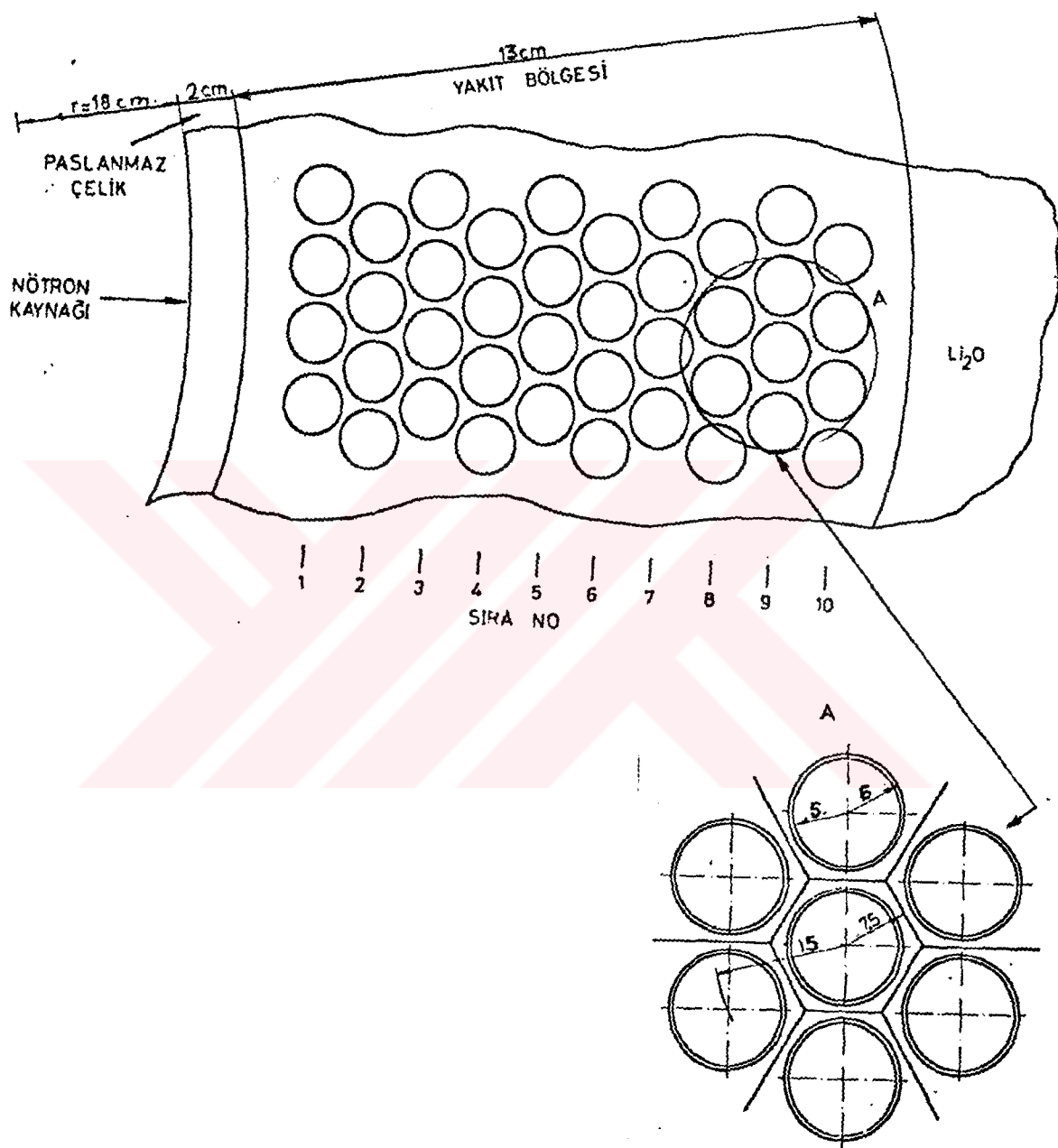
Kullanılan Geometriler	Katman Durumu	Geometri
$\text{ThO}_2 + \text{Li}_2\text{O} + \text{C}$	Tek Parçalı	( 1 )
$\text{ThO}_2 + \text{Li}_2\text{O} + \text{C}$	Katman Kalınlığına Göre İki Parçalı	( 2 )
$\text{ThO}_2 + \text{Li}_2\text{O} + \text{C}$	Hacime Göre İki Parçalı	( 3 )
$\text{ThO}_2 + \text{Li}_2\text{O} + \text{C}$	Katman Kalınlığına Göre Üç Parçalı	( 4 )
$\text{ThO}_2 + \text{Li}_2\text{O} + \text{C}$	Hacime Göre Üç Parçalı	( 5 )
$\text{UO}_2 + \text{Li}_2\text{O} + \text{C}$	Tek Parçalı	( 6 )
$\text{UO}_2 + \text{Li}_2\text{O} + \text{C}$	Katman Kalınlığına Göre İki Parçalı.	( 7 )
$\text{UO}_2 + \text{Li}_2\text{O} + \text{C}$	Hacime Göre İki Parçalı	( 8 )
$\text{UO}_2 + \text{Li}_2\text{O} + \text{C}$	Katman Kalınlığına Göre Üç Parçalı.	( 9 )
$\text{UO}_2 + \text{Li}_2\text{O} + \text{C}$	Hacime Göre Üç Parçalı	( 10 )

Tablo-3.2 Çalışmada Kullanılan Hybrid Blankete Ait malzeme Kompozisyonu ve Çekirdek yoğunlukları.

Bölge	Cidar Kalınlığı (cm)	Malzeme	Çekirdek	Çekirdek Yarıçirkon yoğunluğu ( $\times 10^{30} / \text{m}^3$ )
1 İlk Cidar	2	Tipi 316 Paslan- maz Çelik	Silisyum Krom Manganez Demir Nikel Molibden	1.7108-03 1.6627-02 1.7548-03 5.7651-02 8.1863-03 1.0022-03
2 Nötron Cogaltıcı	3.59 2.58 ( $\text{CmO}_2$ ile)	Berilyum Kurşun	Berilyum Kurşun	1.21634-01 3.29944-02
3 Yakıt	13 11.7 (NC ile)	$\text{ThO}_2$	$^{232}\text{Th}$ Oksijen Aluminyum	7.88147-03 1.57630-02 8.67910-03
			$^{235}\text{U}$ $^{238}\text{U}$ Oksijen Aluminyum	5.51703-05 7.82630-03 1.57630-02 8.67910-03
		$\text{AmO}_2$	$^{241}\text{Am}$ $^{243}\text{Am}$ Oksijen Aluminyum	2.51498-03 5.36649-03 1.57630-02 8.67910-03
			$^{244}\text{Cm}$ Oksijen Aluminyum	7.88147-03 1.57630-02 8.67910-03
4 Tritium Üretim Bölgesi	8 + 5 + 4 7.57+4.89+3.94 (NC ile) 10.21+5.45+4.22 ( $\text{CmO}_2$ ile) 7.77+4.94+3.97 ( $\text{CmO}_2$ ve NC ile)	$\text{Li}_2\text{O}$	$^6\text{Li}$ $^7\text{Li}$ Oksijen	4.63794-03 5.70380-02 3.08374-02
		Saf Li	$^6\text{Li}$ $^7\text{Li}$	3.45947-03 4.25441-02
5 Reflektör	14 + 10 + 9 13.54+9.81+8.89 (NC ile) 15.96+10.68+9.4 ( $\text{CmO}_2$ ile) 13.75+9.91+8.94 ( $\text{Cm}_2\text{O}$ ve NC ile)	Karbon Berilyum	Karbon Berilyum	1.12840-01 1.21634-01

**Tablo-3.3. Optimize Edilmiş Blanket Geometrisi İçin Değiştirilen Blanket Malzeme Yapıları**

Blanket Malzeme Yapısı	Blanket No	Blanket Malzeme Yapısı	Blanket No
$\text{ThO}_2 + \text{Li}_2\text{O} + \text{Be}$	11	$\text{AmO}_2 + \text{Li}_2\text{O} + \text{Be}$	34
$\text{ThO}_2 + \text{Saf Li} + \text{C}$	12	$\text{AmO}_2 + \text{Saf Li} + \text{C}$	35
$\text{ThO}_2 + \text{Saf Li} + \text{Be}$	13	$\text{AmO}_2 + \text{Saf Li} + \text{Be}$	36
$\text{Be} + \text{ThO}_2 + \text{Li}_2\text{O} + \text{C}$	14	$\text{Be} + \text{AmO}_2 + \text{Li}_2\text{O} + \text{C}$	37
$\text{Be} + \text{ThO}_2 + \text{Li}_2\text{O} + \text{Be}$	15	$\text{Be} + \text{AmO}_2 + \text{Li}_2\text{O} + \text{Be}$	38
$\text{Be} + \text{ThO}_2 + \text{Saf Li} + \text{C}$	16	$\text{Be} + \text{AmO}_2 + \text{Saf Li} + \text{C}$	39
$\text{Be} + \text{ThO}_2 + \text{Saf Li} + \text{Be}$	17	$\text{Be} + \text{AmO}_2 + \text{Saf Li} + \text{Be}$	40
$\text{Pb} + \text{ThO}_2 + \text{Li}_2\text{O} + \text{C}$	18	$\text{Pb} + \text{AmO}_2 + \text{Li}_2\text{O} + \text{C}$	41
$\text{Pb} + \text{ThO}_2 + \text{Li}_2\text{O} + \text{Be}$	19	$\text{Pb} + \text{AmO}_2 + \text{Li}_2\text{O} + \text{Be}$	42
$\text{Pb} + \text{ThO}_2 + \text{Saf Li} + \text{C}$	20	$\text{Pb} + \text{AmO}_2 + \text{Saf Li} + \text{C}$	43
$\text{Pb} + \text{ThO}_2 + \text{Saf Li} + \text{Be}$	21	$\text{Pb} + \text{AmO}_2 + \text{Saf Li} + \text{Be}$	44
$\text{UO}_2 + \text{Li}_2\text{O} + \text{Be}$	22	$\text{CmO}_2 + \text{Li}_2\text{O} + \text{C}$	45
$\text{UO}_2 + \text{Saf Li} + \text{C}$	23	$\text{CmO}_2 + \text{Li}_2\text{O} + \text{Be}$	46
$\text{UO}_2 + \text{Saf Li} + \text{Be}$	24	$\text{CmO}_2 + \text{Saf Li} + \text{C}$	47
$\text{Be} + \text{UO}_2 + \text{Li}_2\text{O} + \text{C}$	25	$\text{CmO}_2 + \text{Saf Li} + \text{Be}$	48
$\text{Be} + \text{UO}_2 + \text{Li}_2\text{O} + \text{Be}$	26	$\text{Be} + \text{CmO}_2 + \text{Li}_2\text{O} + \text{C}$	49
$\text{Be} + \text{UO}_2 + \text{Saf Li} + \text{C}$	27	$\text{Be} + \text{CmO}_2 + \text{Li}_2\text{O} + \text{Be}$	50
$\text{Be} + \text{UO}_2 + \text{Saf Li} + \text{Be}$	28	$\text{Be} + \text{CmO}_2 + \text{Saf Li} + \text{C}$	51
$\text{Pb} + \text{UO}_2 + \text{Li}_2\text{O} + \text{C}$	29	$\text{Be} + \text{CmO}_2 + \text{Saf Li} + \text{Be}$	52
$\text{Pb} + \text{UO}_2 + \text{Li}_2\text{O} + \text{Be}$	30	$\text{Pb} + \text{CmO}_2 + \text{Li}_2\text{O} + \text{C}$	53
$\text{Pb} + \text{UO}_2 + \text{Saf Li} + \text{C}$	31	$\text{Pb} + \text{CmO}_2 + \text{Li}_2\text{O} + \text{Be}$	54
$\text{Pb} + \text{UO}_2 + \text{Saf Li} + \text{Be}$	32	$\text{Pb} + \text{CmO}_2 + \text{Saf Li} + \text{C}$	55
$\text{AmO}_2 + \text{Li}_2\text{O} + \text{C}$	33	$\text{Pb} + \text{CmO}_2 + \text{Saf Li} + \text{Be}$	56



Şekil-3.2 : Radyal Dogrultuda 10 Sıra Yakıt Bölgesini Oluşturan Yakıt Çubuklarının Altigen Dogrultuda Düzenlemesi

## 4. BÖLÜM

### NÜMERİK HESAPLAMALAR VE SONUÇLARI

Bir önceki bölümde geometrik ve malzeme yapısı tasarlanan ve parametrik incelemeye konu olacak blanket sayısı, Tablo-3.1 ve Tablo-3.3 'ten anlaşılacağı üzere 48 tanedir. Bu blanketlere ait nümerik hesaplamalar, 2.3 numaralı alt bölümde verilen esaslar içerisinde gerçekleştirilmiş ve sonuçlar aşağıdaki alt bölümlerde değerlendirilmiştir. Bu değerlendirmelerden de önce, değerlendirmeye esas olan nötronik performans kriterleri hemen aşağıda takdim edilmiştir.

#### 4.1 - Nötronik Performans Kriterleri

Çalışma boyunca, nümerik hesaplamalar, uygulandıkları blanketeerin nötronik performansını ortaya çıkarmak üzere gerçekleştirilmişlerdir. Nötronik performansı belirleyen ve miktarları nümerik hesaplamalar sonucunda elde edilen ve temel reaksiyonların göstergesi olan kriterler aşağıda sıralanmıştır:

1 -  ${}^6\text{Li}$  'nin, değişik enerjili nötronlarla (esas olarak yavaş nötronlarla) girdiği etkileşimlerden elde edilen trityum miktarı ( $T_6$ ),

2 -  ${}^7\text{Li}$  'nin, değişik enerjili nötronlarla (esas olarak hızlı nötronlarla) girdiği etkileşimlerden elde edilen trityum miktarı ( $T_7$ ),

3 - Üretilen toplam trityum miktarı ( $T_6+T_7$ ) (Total Fusile Breeding),

4 - Özellikle Şekil-3.1(f) de yer alan nötron çoğaltıcı katman ve kullanılan yakıtlar için söz konusu olan, nötron ekonomisi açısından nötron popülasyonuna katkı olarak nitelendirilebilecek ( $n,2n$ ) reaksiyon miktarı,

5 - Fertil çekirdeklerden, fissile çekirdeklerе dönüşümü karakterize eden ( $n,\gamma$ ) reaksiyon miktarı (Fissile Breeding),

6 - Yakıt bölgesinde degişik enerjili nötronlarla ortaya çıkan ve gerek nötron popülasyonunu gerekse blanketin enerji çıktısını etkileyen, nükleer yakıtlara ait ( $n,f$ ) bölünme reaksiyon miktarı (Fission Density),

7 - Hybrid blanketlerin temel fonksiyonu olan, trityum ve fissile yakıt üretim miktarının toplamı (Fusile+Fissile) (Total Breeding),

8 - Blanketin enerji çıktısının değerlendirilebilmesi için tanımlanan ve (1.17) numaralı eşitlikte hesap edilen, M Blanket enerji çoğalım katsayısı,

9 - Hybrid blanketin kritik altı çalışığının göstergesi olmak üzere aşağıdaki eşitliklerle hesaplanan,  $k_{eff}^*$  ve  $k_{eff}^{**}$  nötron çoğalma katsayıları.  $k_{eff}^*$  ( $n,2n$ ) reaksiyonları katılmadan,  $k_{eff}^{**}$  ise katılmış olarak yapılan hesaplamayı ifade etmektedir.

( $n,2n$ ) reaksiyonları katılmaksızın

$$k_{eff}^* = \frac{\int \int \nu \sum_f \emptyset dV dE}{\int \int \sum_a \emptyset dV dE + \int \int J dS dE} \quad (4.1)$$

ve  $(n,2n)$  reaksiyonları katılarak;

$$k_{\text{eff}}^{**} = \frac{\int \int (\nu \sum_f + 2 \cdot \sum_{2n}) \emptyset dV dE}{\int \int (\sum_a + \sum_{2n}) \emptyset dV dE + \int \int J dS dE} \quad (4.2)$$

#### 4.2 - Geometri Optimizasyonu

ANISN bilgisayar kodu kullanılarak yapılan nümerik hesaplamaların ilk on tanesi, geometri optimizasyonu için gerçekleştirılmıştır. Şekil-3.1 de görülen (a), (b), (c), (d) ve (e) geometrilerinin yakıt bölgelerinde sırasıyla  $\text{ThO}_2$  ve  $\text{UO}_2$  kullanılarak elde edilen nümerik sonuçlar nötronik performanslar açısından Tablo-4.1 de özetlenmiştir. Bu tablonun incelenmesinden aşağıdaki değerlendirmeleri yapmak mümkün olabilmektedir.

1 - T6 üretimi, gerek  $\text{ThO}_2$  gerekse  $\text{UO}_2$  yakıtlı geometrilerde, TÜB ve Reflektör bölgelerinin katmanlara ayrılması durumunda tek katmanlı duruma göre bir artış göstermekte ( $\text{ThO}_2$ 'li durumda % 7-8,  $\text{UO}_2$ 'li durumda %  $\approx$  7 kadar), fakat katmanlı durumun iki veya üç olması artım miktarını önemli düzeyde etkilememektedir.

2 - T7 üretimindeki durum ise, katmanlı yapının nötron spektrumunu yumusatmasının sonucu olarak, T6 'dakinin tersidir ve katmanlı yapıdaki T7 üretiminin, katmansız yapıdakine göre azalma miktarının mertebesi T6 'daki artan mertebenin yaklaşık üç katıdır (%  $\approx$  22-23).

3 - Toplam trityum üretim miktarı açısından, katmanlı yapıda, büyük bir yüzde farkı ortaya çıkmamasına rağmen, bir avantaj olduğu da gözlenmektedir. Bunun sebebi, T6 ve T7 üretim miktarlarından, T6 'nın mutlak değerce, yaklaşık 10 değerindeki bir katsayı ile T7 'ye baskın olmasıdır. Yine aynı tablodan, TÜB ve Reflektör katmanlarının ikişer katmana ayrılmalarının üçer katmana ayrılma durumundan yaklaşık % 2 'lik fazlalığa sahip olduğu

da görülebilmektedir.

4 - ( $n,2n$ ) reaksiyon miktارında geometriye yönelik olarak dikkate deger bir farklılık görülmemekte, fakat  $\text{ThO}_2$ 'nin  $\text{UO}_2$ 'ye nazaran olan avantajı açık olarak tespit edilebilmektedir.

5 - ( $n,\gamma$ ) reaksiyonları açısından hem  $\text{ThO}_2$  hem de  $\text{UO}_2$  yakıtlı blanketlerde TÜB ve Reflektör 'ün katmanlı hale getirilmesi gözle görülür bir avantaj getirmektedir. Bu avantajın yüzdesi yakıt olarak  $\text{UO}_2$  de  $\text{ThO}_2$ 'ye nazaran bariz olarak iyidir ( $\text{ThO}_2$  de yaklaşık % 16,  $\text{UO}_2$  de yaklaşık % 20 mertebesinde).

6 - ( $n,f$ ) reaksiyon miktari açısından, katmanlı yapının  $\text{ThO}_2$  yakıtlı blanketler için herhangi bir katkısı gözlenmezken,  $\text{UO}_2$  yakıtlı blankette, % 0.6 gibi düşük bir pozitif katkısı görülebilmektedir. Ayrıca,  $\text{UO}_2$ 'nin ( $n,f$ ) etkileşimi açısından,  $\text{ThO}_2$ 'ye göre yaklaşık beş katı seviyesinde bir iyiliği de yine tablodan izlenebilmektedir.

7 - Tritium ve fissile yakıt üretim miktarlarının toplamı açısından tablo incelendiginde;  $\text{UO}_2$  yakıtlı blanketin,  $\text{ThO}_2$ 'li blankete göre biraz daha iyi durumda olduğu ayrıca katmanlı yapının, her iki yakıt içinde avantaj sagladığı (yaklaşık % 6 mertebesinde) tespit edilebilen hususlar olmaktadır.

8 - Tablonun, enerji çoğalım katsayısı açısından değerlendirilmesi durumunda,  $\text{UO}_2$  yakıtlı blanketin  $\text{ThO}_2$ 'ye göre yaklaşık iki katı kadarlık bir üstünlüğe sahip olduğu, ve yine katmanlı geometrilerin, katmansız geometrilere nazaran yaklaşık % 1 mertebesinde daha iyi durumda oldukları görülebilir.

Bu değerlendirmelerin özetini olarak, katmanlı bir TÜB ve Reflektör yapısına sahip blanketin seçilmesinin bütün kriterler açısından açık olarak gerekliliği söyleyenbilir. Ayrıca, ( $n,\gamma$ ) ve ( $n,f$ ) reaksiyonlarıyla M sayısındaki üstünlükleri dikkate alındığında, trityum üretimindeki kısmi azalma ile birlikte, Tablo-4.1 'in son sütununda yer alan 10. Geometri, veya diğer bir ifade ile, TÜB ve Reflektörü, hacimce üç kisma ayrılan geometri,

optimal şartları saglıyor olarak kabul edilmiştir. Seçilen bu geometri, bu aşamadan sonra gerçekleştirilen diğer tüm nümerik hesaplamalarda esas olarak alınmıştır.

#### 4.3 - Çalışmada Kullanılan Hybrid Blanketlere Ait Nötronik Performans Degerlendirmeleri

Bir önceki alt bölümde seçilen optimal geometrinin, değişik bölgelerinde yer alan malzemeler değiştirilerek, farklı hybrid blanketlere ait nötronik performanslarının, 4.1 numaralı alt bölümde verilen kriterlere göre değerlendirmesi bu alt bölümde yapılacaktır. Değiştirilecek malzemelerin neler olacağı, blanket geometrisinin tanımı yapılırken 3. bölümde verilmiştir.

Bu noktada belirtimini gereken bir husus olarak;  $\text{CmO}_2$  yakıtlı blanketlerde,  $^{244}\text{Cm}$ 'un bölünme etki kesit değerinin çok büyük olması sebebiyle, blanketin kritiklige ulaşmasını önlemek amacıyla, yakıt bölgesinin 3 yakıt elemanı sırasından oluştugu zikredilmek durumundadır.

Verilen sıralamaya uygun olarak yapılan nümerik hesaplama sonuçları, 4.1 numaralı alt bölümde verilen performans kriterleri sırası esas alanarak, aşağıdaki alt bölümler tablolar halinde verilmiştir.

##### 4.3.1 - T6 Üretimi Açısından Hybrid Blanketlerin Nötronik Performanslarının Degerlendirilmesi

Tablo-4.2'de, değişik blanketler için yapılan nümerik hesaplamalar sonucu elde edilen T6 üretim miktarları yer almaktadır. Tablonun değerlendirilmesi ile aşağıdaki özellikler belirlenebilir.

###### 4.3.1.1 - Yakıtlara Yönlik Degerlendirme

Bütün blanketlerde, T6 üretimi açısından yakıtların iyilik sırasının tablodaki yakıt sıralamasına uygun olarak ortaya çı-

ması, yani en yüksek miktara  $\text{CmO}_2$  ile ulaşıldığı,  $\text{AmO}_2$ ,  $\text{UO}_2$  ve  $\text{ThO}_2$  yakıtlarıyla giderek azalan üretim miktarının elde ediliyor olması söz konusudur. Ayrıca, yine tablodan gözlenebilen diğer bir özellik, klasik yakıt olarak da bilinen  $\text{ThO}_2$  ve  $\text{UO}_2$  yakıt gruplarıyla, Aktinid yakıtlar olarak bilinen  $\text{AmO}_2$  ve  $\text{CmO}_2$  yakıt grupları arasında T6 üretim miktarı açısından bir mertebe farkı olduğunu göstermektedir.  $\text{ThO}_2$  den  $\text{UO}_2$ 'ye artış yüzdesi % 15-25 arasında,  $\text{AmO}_2$  den  $\text{CmO}_2$  'ye artış yüzdesi ise yaklaşık % 5-35 gibi daha geniş bir aralıktır. Değişirken, bu iki grup arasındaki artış daha büyük bir yüzde mertebesinde ( $\text{UO}_2$  den  $\text{AmO}_2$ 'ye yaklaşık % 28-64 aralığında) gerçekleşmektedir.

#### 4.3.1.2 - Nötron Çogaltıcı Katmanlarda Yer Alan Malzemeye Göre Degerlendirme

İlgili bütün blanketler için gözlenen ortak özellik, Be 'nin, nötron çogaltıcı katman olarak olumsuzluk arzettigi; Pb 'un ise, Be göre yine bütün blanketlerde T6 üretimine katkıda bulunduğu, fakat nötron çogaltıcı katmanı bulunan blanketlerin bazısına göre ise negatif bir özellik taşımaktadır. Klasik yakıtlar için, nötron çogaltıcı katman olarak Pb kullanmak kısmi bir artış (% 1-10 arasında) miktarı sağlarken, aktinid yakıtlarda nötron çogaltıcı katman kullanılması T6 üretimine olumsuz katkı yapmaktadır. Yine, nötron çogaltıcı katman bulunan blanketlerde, hem Be nin, hemde Pb 'un klasik yakıtlardaki T6 üretimine olan katkısı, aktinid yakıtlardakinden daha düşük kalmaktadır.

#### 4.3.1.3 - Tritium Üretim Malzemesine Göre Degerlendirme

Tritium üretim malzemesi açısından, T6 üretim miktarının, bütün blanketlerde  $\text{Li}_2\text{O}$  yerine Saf Li kullanılması durumunda, arttığı görülmektedir. Bu sonuç, açık olarak, bu bölgeye ulaşan nötronların  $^6\text{Li}$  ve  $^7\text{Li}$  çekirdekleriyle,  $\text{Li}_2\text{O}$  'tekinden daha çok etkileşime girme ihtimaline sahip olmalarıyla ilgiliidir. Blanketlerde kullanılan reflektör ve nötron çogaltma katmanına göre değişiklikler arzetsede,  $\text{Li}_2\text{O}$  yerine Saf Li kullanmak, yakıtlar açısından önemli sayılabilecek bir değişiklik getirmemektedir. Ancak, klasik yakıtlarda ( $\text{ThO}_2$ ,  $\text{UO}_2$ ) Saf Li 'un kullanılmasıyla, aktinid yakıtlara ( $\text{AmO}_2$ ,  $\text{CmO}_2$ ) göre % 3-6 mertebe-

sinde bir artış kaydedilebilmektedir. Tesbit edilebilen diğer bir nokta da,  $\text{CmO}_2$  yakıtlı ve Grafit reflektörlü blanketlerde  $\text{Li}_2\text{O}$  yerine Saf Li'un kullanılmasının yüzde olarak etkisinin diğer blanketlere göre bir hayli düşük seviyede kaldığıdır.

#### **4.3.1.4 - Reflektör Malzemesine Göre Degerlendirme**

Bütün blanketlerde, reflektör malzemesi olarak kullanılan Be'un, T6 üretim miktarını grafite göre arttırdığı gözlenmektedir. Bu artımın yüzde olarak en alt değeri, % 13 ile  $\text{AmO}_2$  yakıtlı, Pb nötron çoğaltıcılı ve  $\text{Li}_2\text{O}$  TÜB 'lü blankette; en üst değeri de % 43 ile  $\text{ThO}_2$  yağıtlı, nötron çoğaltıcı katmanı bulunmayan ve Saf Li TÜB 'ne sahip olan blankette ortaya çıkmaktadır.

Genel bir değerlendirme olarak; hybrid blankette;

- Reflektör olarak grafit yerine Be,
- TÜB malzemesi olarak,  $\text{Li}_2\text{O}$  yerine Saf Li
- Nötron çoğaltıcı katmanda, klasik yakıtlar için Pb, aktinid yakıtlar için ise ne Be ne de Pb;
- Yakıt bölgesinde de Aktinid yakıtların kullanılması T6 üretiminin artmasına yol açmaktadır.
- Mutlak değerce en yüksek T6 üretimi  $\text{CmO}_2$  yakıtlı TÜB de Saf Li bulunan, nötron çoğaltıcı katmanı bulunmayan Be reflektörlü blankette ortaya çıkmaktadır.

#### **4.3.2- T7 Üretimi Açısından Blanket Nötronik Performans- larının Degerlendirilmesi**

T6 'nın yanısıra,  $^{7}\text{Li}$  'nin, bulunduğu ortamda ağırlıklı olarak enerjik olan nötronlarla girdiği etkileşimin sonunda ortaya çıkan trityum çekirdeği de (T7), plazma yakıtı olarak, blankette üretilmek durumundadır. T7 üretim miktarları, kullanılan blanketler için Tablo-4.3 de verilmiş ve aşağıdaki değerlendirmeler bu tabloya göre yapılmıştır.

#### 4.3.2.1- Yakıtlara Göre Yapılan Degerlendirme

Klasik ve Aktinid yakıtlar için, T7 üretimine yönelik çarpıcı bir fark olduğu tablodan görülmektedir. Klasik yakıt kullanan blanketlerde  $\text{ThO}_2$  yerine  $\text{UO}_2$ 'nin kullanılması yaklaşık % 3 mertemede bir artışa yol açarken;  $\text{AmO}_2$ 'un kullanılması klasik yakıtlara göre % 15-20 arasında bir artışla, özellikle  $\text{CmO}_2$  de ise % 100 'ün üzerinde bir artışla sonuçlanmaktadır. Böylece,  $\text{CmO}_2$  'nin T7 üretimine olan olumlu katkısı en üst seviyede gerçekleşmektedir.

#### 4.3.2.2- Nötron Çogaltıcı Katmanda Yer Alan Malzemeye Göre Degerlendirme

Bütün Blanketlerde nötron çogaltıcı katmanında, Be ve Pb kullanmak T7 üretim miktarının düşmesine yol açmaktadır. Bu düşme, Be 'nin kullanılmasında % 22-30 mertebesinde gerçekleşken, Pb 'nin kullanılmasıyla Be 'e göre % 5-8 mertebesinde ilave bir düşme daha olmaktadır.

#### 4.3.2.3- Tritium Üretim Bölgesindeki Malzemeye Göre Degerlendirme:

Göz önüne alınan blanketlerin hepsinde,  $\text{Li}_2\text{O}$  'nın yerine Saf Li 'un kullanılması, beklenen bir sonuç olarak, T7 üretim miktarının artmasıyla sonuçlanmaktadır. Bu artış, hemen hemen bütün blanketlerde % 22-23 'lük bir yüzdeye sahip olması açısından bir düzgünlik te göstermektedir. Sadece,  $\text{CmO}_2$  yakıtlı ve nötron çogaltıcı katmanı olmayan blanketlerde bu artış yüzdesi % 26 seviyesindedir.

#### 4.3.2.4- Reflektör Malzemesine Göre Degerlendirme

Tritium üretim bölgesindeki değişmenin düzgünlüğüne benzer olarak, reflektörlerde C yerine Be kullanılması bütün blanketlerde, % 1-2 gibi düşük fakat düzgün bir azalma ile sonuçlanmaktadır. Bu azalma  $\text{CmO}_2$  bulunduran blankette % 0.5 degerine kadar düşebilmektedir.

#### 4.3.3- T6+T7 (Toplam Tritium) Üretimi Açısından Blanket Performanslarının Değerlendirilmesi

T6 ve T7 üretim miktarlarının toplamıyla elde edilen değerler, toplam tritium üretim miktarını vermek üzere Tablo-4.4 da gösterilmiştir. Bu tablonun değerlendirilmesiyle, T6 ve T7 için ayrı ayrı yapılan değerlendirmeler, bu başlık altında toplanmış olacaktır.

##### 4.3.3.1- Yakıtlara Göre Değerlendirme

Bütün blanketlerde, tablodaki sıralamayla paralellik arzedecek şekilde,  $\text{ThO}_2$  den,  $\text{UO}_2$ ,  $\text{AmO}_2$  ve  $\text{CmO}_2$  yakıtlarına geçildikçe, toplam tritium üretim miktarı da artış kaydetmektedir. T6 ve T7 'nin ayrı ayrı yapılan değerlendirmelerinde de olduğu gibi, toplam tritium üretimi içinde klasik ve aktinid yakıt ayrimı tablodan gözlenmektedir. Klasik yakıtlar için % 12-23 arasındaki artış yüzdesi, aktinid yakıtlara geçişte % 27-60 mertebesinde gözlenirken, aktinid yakıtlar arası artma % 9-38 seviyesinde olmaktadır. Toplam tritium üretim miktarı, mutlak değerce, füzyon nötronu başına 2.62 değeriyle  $(\text{CmO}_2 + \text{Li} + \text{Be})$  dizilişine sahip blankette en yüksek değerine ulaşmaktadır.

##### 4.3.3.2- Nötron Çogaltıcı Katman Malzemesine Göre Değerlendirme

Nötron çogaltıcı katman bulunmayan blanketlere göre, Be 'un nötron çogaltıcı katman olarak kullanılması durumunda, toplam tritium üretim miktarında, düşme gözlenirken, Be yerine Pb 'un kullanılmasıyla bu durum tersine dönükte ve (T6+T7) toplamında artma ortaya çıkmaktadır. Klasik yakıtlarda, Be 'un kullanılmasıyle ortaya çıkan azalma % 6-17 arasında değişirken, aktinid yakıtlarda % 31 mertebesine kadar çıkmaktadır. Be yerine Pb kullanılmasıyla belirlenen artma ise, klasik yakıtlarda % 10-16 seviyesinde, aktinid yakıtlarda ise % 5-25 gibi daha geniş bir aralıkta hesaplanmaktadır. Ayrıca, nötron çogaltıcısı bulunmayan blanketlere göre Pb 'nun bu fonksiyon için ilave edilmesi, Be 'a benzer tarzda, (T6+T7) üretiminde,  $\text{ThO}_2$  li blanketlerden ikisi hariç diğer bütün blanketlerde azalmaya yol açmaktadır. Bunun da yüzdesi % 0.5-16 arasında kalmaktadır.

#### **4.3.3.3- Tritium Üretim Bölgesindeki Malzemeye Göre Degerlendirme**

Bütün Blanketlerde, T6+T7 toplamı için ortak olarak gözlenen özellik,  $\text{Li}_2\text{O}$  yerin Saf Li 'un kullanılmasıyle, bir artışın ortaya çıkmasıdır. Ayrıca, bu artışın ortaya çıkması noktasında, klasik ve aktinid yakıtlar arasında önemli bir yüzde değişim farklılığı gözlenmemektedir (klasik yakıtlarda % 17-34, aktinid yakıtlarda % 6-30).

#### **4.3.3.4- Reflektöre Göre Degerlendirme**

$\text{Li}_2\text{O}$ , Saf Li degerlendirmesinde olduğu gibi, burada da, grafit yerine, Be 'un reflektör malzemesi olarak kullanılması durumunda, T6+T7 miktarında bütün blanketler için artış ortaya çıkmaktadır. Artış yüzdesi, yakıt farklılığından etkilenmemekte, fakat, TÜB 'nde kullanılan malzemeden etkilenmektedir.  $\text{Li}_2\text{O}$  'li blanketlerde, bu artış % 14-22 mertebesinde kalırken, Saf Li 'lu blanketlerde artış yüzdesi % 23-38 gibi ilkinin iki katına ulaşan bir mertebede olmaktadır.

#### **4.3.4- ( $n,2n$ ) Reaksiyon Miktarı Açısından Blanket Performansının Degerlendirilmesi**

( $n,2n$ ) reaksiyonu, blanketin gerek yakıt, gerekse trityum üretim bölgesindeki nötron populasyonunu arttırarak, trityum ve fissile yakıt üretiminin yanısıra, blanket enreji çıktısını arttıcı bir fonksiyona sahiptir. Tablo-4.5 de blanketlere göre ( $n,2n$ ) reaksiyon miktarları verilmiştir. Nümerik hesaplamlarda kullanılan data 'da, Am elementine ait ( $n,2n$ ) reaksiyon etki kesitleri verilmediği için, bu element için reaksiyon miktarları tabloda gösterilememiştir.

#### **4.3.4.1- Yakıtlara Göre Degerlendirme**

Klasik yakıtların degerlendirilmesinde,  $\text{ThO}_2$  'li blanketlerin bütününde,  $\text{UO}_2$  'ye göre % 25-11 arasında bir fazlalık gözlenmekte ve bu yüzde, nötron çoğaltıcı katmanı olmayıp, reflektörü grafit olan blanketlerde % 39 'a kadar varmaktadır.  $\text{CmO}_2$  'un  $\text{UO}_2$  'a göre

durumu ise ilgi çekici bir değişim arzetmektedir.  $\text{CmO}_2$ 'ye ait  $(n,2n)$  değerleri,  $\text{UO}_2$ 'ye ait değerlerden, grafit reflektörlü blanketlerde % 12-15 (nötron çoğaltıcı katman yoksa % 95) arasında daha düşük,  $\text{Be}$  reflektörlü blanketlede ise % 23-47 mertebesinde daha fazladır. Bütün blanketler içerisinde,  $(\text{Be} + \text{CmO}_2 + \text{Saf Li} + \text{Be})$  dizilişine sahip blanket 0.83 değeriyle en büyük  $(n,2n)$  reaksiyon miktarına sahiptir.

#### 4.3.4.2- Nötron Çoğaltıcı Katman Malzemesine Göre Degerlendirme

Tablodan, açık olarak, blankete nötron populasyonuna katkıda bulunacak bir katman ilave edilmesi halinde, bunun, ilave edilen katmandaki  $(n,2n)$  reaksiyonlarından dolayı olduğu, tespit edilebilmektedir. Böylece, ister  $\text{Be}$  ister  $\text{Pb}$  olsun,  $(n,2n)$  degerinde bir artış ortaya çıkmaktadır. Bu artış, grfit reflektörlü blanketlerde özellikle dikkati çekmektedir. Çünkü, sadece nükleer yakıtında  $(n,2n)$  ortaya çıkabilecek bir yakıttan, hem nötron çoğaltıcı katmanında hemde reflektöründe  $(n,2n)$  reaksiyonlarının ortaya çıkabildiği bir blanket geometrisine ulaşımaktadır.  $\text{Be}$  yerine,  $\text{Pb}$ 'un nötron çoğaltıcı katman olarak getirilmesi,  $\text{Be}$  katmanıyla göre  $(n,2n)$  de bir düşmeye sebep olmakta ve bu düşme, ilgili blanketlerde % 17-35 gibi nisbeten dar sayılabilecek bir aralıkta gerçekleşmektedir.

#### 4.3.4.3- Trityum Üretim Malzemesine Göre Degerlendirme

Tablodan,  $(n,2n)$  reaksiyon miktarı için düzgün olarak gözleねbilen bir durum,  $\text{Li}_2\text{O}$  yerine Saf Li kullanılması durumunda, grafit reflektörlü blanketlerde azalmanın,  $\text{Be}$  reflektörlü blanketlerde ise artmanın ortaya çıkmasıdır. Bu, tabiatıyla,  $(n,2n)$  reaksiyonu açısından  $\text{Be}$ 'un olumlu katkısının sonucudur. Grafit reflektörlülerdeki düşme % 0.1-2 gibi ufak bir yüzde ile,  $\text{Be}$  reflektörlülerdeki artma ise % 14-36 ( $\text{CmO}_2$  ve nötron çoğaltıcı katman bulunmayan blankette % 81) aralığındaki bir yüzde ile birlitilebilir.

#### 4.3.4.4- Reflektör Malzemesine Göre Degerlendirme

Tablodan çıkarılabilen diğer bir düzgün değerlendirme de, reflektör malzemesi değişimiyle ilgilidir. Bütün blanketlerde,

grafit yerine Be 'un reflektör olarak kullanılması, ( $n,2n$ ) reaksiyon miktarının artmasına yol açmaktadır ki, bu da Be 'un ( $n,2n$ ) reaksiyonları açısından sahip olduğu potansiyelin tabii bir sonucudur. Nötron çoğaltıcı katmanı olmayan blanketlerde, bu artış büyük degerlere katlanırken ( $\text{CmO}_2$  de  $\text{Li}_2\text{O}$  için 73, Saf Li için 136), Be nötron çoğaltıcılı blanketlerde % 33-92 ( $\text{CmO}_2$  ve Saf Li 'luda % 154); Pb 'lu olanlarda ise, klasik yakıtlar için %43-75 ve  $\text{CmO}_2$  'li blanketler için % 135-215 degerine varmaktadır.

#### 4.3.5- Fissile Yakıt Üretimine Yönerek Olarak Blanketlerin Nötronik Performans Degerlendirmesi

Hybrid blanketlerin, trityum üretiminin yanısıra önemli olan diger bir fonksiyonu da, giriş bölümünde de deginildiği gibi, mevcut nükleer reaktörlerin, tükenmekte olan fissile yakıt potansiyeline katkıda bulunacak şekilde fertil-fissile çekirdek dönüşümünü gerçekleştirmektir. Bu dönüşüm ise, reaktör ortamında ( $n,\gamma$ ) etkileşimleri aracılığıyla gerçekleşir. Bu bakımdan, bir hybrid blanketin fissile yakıt üretim performansı, blankette ortaya çıkan ( $n,\gamma$ ) reaksiyonlarının miktarıyla değerlendirilebilir. Çalışmada kullanılan blanketlere yönelik olarak ( $n,\gamma$ ) degerlendirmeleri Tablo-4.6 aracılığı ile aşağıda verilmiştir.

##### 4.3.5.1- Yakıtlara Göre Degerlendirme

Gerek klasik ( $\text{ThO}_2$  ve  $\text{UO}_2$ ), gerekse aktinid ( $\text{AmO}_2$  ve  $\text{CmO}_2$ ) yakıtlardan, ( $n,\gamma$ ) etkileşimiyle elde edilecek fissile çekirdekerin sırasıyla  $^{233}\text{U}$ ,  $^{239}\text{Pu}$ ,  $^{242}\text{Am}$  ve  $^{245}\text{Cm}$  her birisi nükleer teknolojinin ihtiyaç duyduğu nötronik özelliklere sahiptirler.  $\text{AmO}_2$  yakıtını meydane getiren izotoplardan  $^{241}\text{Am}$  'in ( $n,\gamma$ ) reaksiyonuyle  $^{242}\text{Am}$  'ye dönüşmesi, değişik yüzdelerle gerçekleşen ve yarı ömrleri farklı olan iki izomer çekirdeğin ortaya çıkması ile sonuçlanmaktadır. Bunlardan, 152 senelik yarı ömrüyle kararlı bir çekirdek özelliğini taşıyan  $^{242m}\text{Am}$  'nin oluşma yüzdesi % 35 ve 16 saatlik yarı ömrüyle kararsız olan  $^{242}\text{Am}$  izomer çekirdeğinin oluşma yüzdesi ise % 65 tir.  $\text{AmO}_2$  'teki diger izotop olan  $^{243}\text{Am}$  'ün ( $n,\gamma$ ) reaksiyonuyle  $^{244}\text{Am}$  'e dönüşümü, 10 saat yarı ömürlü bir çekirdekle sonuçlandığı için,  $^{242}\text{Am}$  çekirdeği gibi,

fissile çekirdek üretimi açısından önem taşımamaktadır.  $^{244}\text{Cm}$ -den ( $n,\gamma$ ) reaksiyonuyle meydana gelen  $^{245}\text{Cm}$  ise 8532 senelik yarı ömrüyle, çok önemli ve kararlı bir fissile çekirdektir [33].

Tablo-4.6 da, içerisinde fertil çekirdek bulunduran yakıtlardan, klasik olanlara nazaran, aktinid yakıtlardan  $\text{AmO}_2$ 'nin yukarıdaki paragrafta belirtilen özelligi sebebiyle ( $^{241}\text{Am}$  'den sadece % 35 oranında  $^{242}\text{Am}$ ) en kötü durumda olduğu görülmektedir.  $\text{CmO}_2$ 'deki klasik yakıtlara göre bagıl olarak düşük gözüken değerler,  $\text{CmO}_2$ 'i bulunduran blanketli yakıt bölgesinin,  $^{244}\text{Cm}$  'e ait ( $n,f$ ) bölünme reaksiyon tesir kesit değerinin çok yüksek olması sebebiyle, diger yakıtlı blanketlerdeki 10 sıra yerine 3 sıra (nötron çoğaltıcı olmayan geometride) ve 2 sıralık (nötron çoğaltıcı katmanlı geometride) yakıt elemanı grubuna sahip olmasına sindandır. Ayrıca;  $\text{ThO}_2$  ile  $\text{UO}_2$  arasında  $\text{UO}_2$ 'nin lehine % 1-8 arasında bir artma gözlemeğtedir.

#### 4.3.5.2- Nötron Çoğaltıcı Katnamdaki Malzemeye Göre Değerlendirme

Bütün blanketler için,  $\text{Be}$  'nin nötron çoğaltıcı katman olarak ilave edilmesiyle, ( $n,\gamma$ ) reaksiyon miktarının artığı,  $\text{Be}$  'nin yerine  $\text{Pb}$  'nin kullanılmasıyla de azalma gösterdiği Tablo-4.6 den görülebilmektedir.  $\text{Be}$  'nin katkısı klasik yakıtlarda % 75-80 mertebesine ulaşırken aktinid yakıtlarda % 21 ile % 59 arasında değişmektedir ( $\text{AmO}_2$  de % 21-26,  $\text{CmO}_2$  de % 45-59 mertebesinde).  $\text{Be}$  yerine  $\text{Pb}$  'un kullanılmasıyla, ( $n,\gamma$ ) daki bagıl azalma tüm yakıtlar için % 25-44 mertebesinde kalmaktadır. Fakat,  $\text{Pb}$  karşılaştırması, nötron çoğaltıcı katmanı bulunmayan blanket'e göre yapılrsa, klasik yakıtlarda,  $\text{Pb}$  kullanılmasıyla ( $n,\gamma$ ) artarken, aktinid yakıtlarda bu değişimin azalma şeklinde ortaya çıktığı gözlenmektedir.

#### 4.3.5.3- Trityum Üretim Bölgesinde Yer Alan Malzemeye Göre Değerlendirme:

$\text{Pb}$  nötron çoğaltıcılı,  $\text{Be}$  reflektörlü ve  $\text{CmO}_2$  yakıtlı olan hariç, bütün blanketlerde, trityum üretim malzemesi olarak  $\text{Li}_2\text{O}$

yerine Saf Li 'nin kullanılması,  $(n,\gamma)$  reaksiyon miktarının azalması şeklinde ortaya çıkmaktadır. Bu azalma, yine bir genellik içerisinde, grafit reflektörlü olanlarda, Be 'lu olanlara göre daha fazla olmaktadır (grafitlilerde % 5-9, Be 'lu olanlarda % 1-7 mertebesinde;  $\text{CmO}_2$  yakıtlarda grafit için bu oran % 8-18, Be için % 2-8). Tablodan gözlenen diğer bir özellik te; Saf Li 'un kullanılmasıyla ortaya çıkan azalma, en fazla, nötron çoğaltıcı katman bulunmayan blanketlerde olmaktadır, Be ve Pb 'lu nötron çoğaltıcı katmanı bulunduran blanketlerde ise bu azalma daha düşük yüzdelere inebilmektedir.

#### 4.3.5.4- Reflektör Malzemesine Göre Degerlendirme

Aktinid yakıt kullanan iki blanket ( $\text{AmO}_2 + \text{Li}_2\text{O} + \text{C}$ ) ve ( $\text{Pb} + \text{AmO}_2 + \text{Li}_2\text{O} + \text{C}$ ) dışında, bütün blanketlerde, grafit yerine, Be 'un kullanılmasıyla,  $(n,\gamma)$  reaksiyon miktarı artmaktadır ve bu artış,  $\text{Li}_2\text{O}$  'lu blanketlerde Saf Li 'lu olanlara nazaran % 2-5 mertebesinde daha düşük kalmaktadır. Grafit yerine, Be 'un kullanılmasıyla ortaya çıkan artış, özellikle  $\text{CmO}_2$  yakıtlı ve Saf Li 'lu blanketlerde % 14-16 lik yüzdelere dikkat çekmektedir.

#### 4.3.6- $(n,f)$ Bölünme Reaksiyon Miktarı Açısından Blanketlerin Degerlendirilmesi

Bölünme reaksiyonu, nükleer reaktör ortamlarının en dikkate değer reaksiyonudur. Çünkü, ortama ait nötron populasyonu ve elde edilecek ısı enerjisi, bu reaksiyon miktarı kullanılarak hesap edilmek durumundadır. Hybrid blankette de, bu zikredilen fonksiyonların ne ölçüde yerine geldiğinin bilinmesi, kullanılan yakıta ait  $(n,f)$  reaksiyon miktarının hesaplanmasıyla mümkün olabilir. Tablo-4.7 de, çalışmada kullanılan blanketeler ait toplam  $(n,f)$  reaksiyon miktarları verilmiş olup, bu tablo esas alınarak yapılabilen değerlendirmeler aşağıda verilmiştir.

##### 4.3.6.1- Yakıtlara Göre Yapılabilecek Degerlendirme

Tablo değerleri dikkate alındığında,  $(n,f)$  reaksiyon miktarı açısından,  $\text{UO}_2$  'nin  $\text{ThO}_2$  'e,  $\text{AmO}_2$  'nin de  $\text{UO}_2$  'e göre çok daha

etkin oldugu görülmektedir.  $\text{CmO}_2$  sütununda yer alan degerlerin  $\text{AmO}_2$ 'e göre düşük olması noktasında, daha önce bir kez zikredilen,  $\text{CmO}_2$  'li blanketlerin sadece 2 veya 3 sıralı yakıt eleman gruplarına sahip oldugu unutulmamalıdır. 2 veya 3 sıraya ragmen,  $\text{CmO}_2$ 'e ait ( $n,f$ ) degerleri  $\text{UO}_2$ 'ye ait degerlerden 2 veya 3 misli daha fazla olabilmektedir. Yaklaşık olarak 3 katsayılık bir artış  $\text{ThO}_2$  den  $\text{UO}_2$ 'ye ve yaklaşık 3-7 katsayılık bir artış da  $\text{UO}_2$  den  $\text{AmO}_2$ 'e geçerken ortaya çıkmaktadır.  $\text{CmO}_2$ 'un özel durumu bir kenara bırakırsa, geriye kalan üç yakıt kullanıblanketler içerisinde, fisyon nötronu başına en yüksek ( $n,f$ ) reaksiyon miktarnı veren blanketein, 0.715 degeriyle ( $\text{AmO}_2 + \text{Li}_2\text{O} + \text{C}$ ) dizilişine sahip blankete oldugu da belirlenebilmektedir.

#### 4.3.6.2- Nötron Çogaltıcı Katmanda Yer Alan Malzemeye Göre Degerlendirme

Nötron çogaltıcı olarak Be 'un blankete katılmasıyla, ( $n,f$ ) reaksiyon miktari, ilgili blanketlerin tümünde azalma göstermektedir. Be 'un gösterdiği bu olumsuz etki  $\text{ThO}_2$ 'li blanketlerde % 36,  $\text{UO}_2$ 'li blanketlerde % 26,  $\text{AmO}_2$ 'li blanketlerde % 35 ve  $\text{CmO}_2$ 'li blanketlerde % 48-52 mertebesindedir. Blankete Be degil de, Pb katılmasıyla de Be 'dekine benzer degişmeler ortaya çıkmaktadır ve bunların mertebesi % 27-42 arasında kalmaktadır. Fakat, nötron çogaltıcı katman katılıp ta Be yerine, Pb kullanılması, klasik yakıtlarda ( $n,f$ ) miktarında düşmeye yol açarken, aktinid yakıtlarda artma gözlenmektedir. Klasik yakıtlardaki azalmanın mertebesi % 3-10 arasında, aktinid yakıtlardaki artmanın yüzdesi ise % 12-21 arasında kalmaktadır.

#### 4.3.6.3- Trityum Üretim Malzemesine Göre Yapılan Degerlendirme

Bütün blanketlerde,  $\text{Li}_2\text{O}$  yerine Saf Li kullanılması durumunda da, yine ( $n,f$ ) reaksiyon miktarında azalma gözlenmektedir. İlk üç yakıt % 1-5 arasındaki bir düşmeye yol açarken,  $\text{CmO}_2$  yakıtlı blankette düşme yüzdesi % 9-17 mertebesine ulaşabilmektedir.

#### 4.3.6.4- Reflektöre Göre Yapılan Degerlendirme

Bazı blanketlerde arttırıyor, bazlarında da azaltıyor olmasına ragmen, grafite göre Be 'un reflektör olarak kullanılması,

(n,f) reaksiyon miktarında önemli bir değişiklik ortaya . çıkarılmamaktadır (en düşük % 0.01, en yüksek % 1 mertebesinde).

#### 4.3.7- Toplam Tritium ve Fissile Yakıt Üretimi Açısından Blanketlerin Performans Degerlendirilmesi

T<sub>6</sub> ve T<sub>7</sub> toplamı, plazmada (D-T) reaksiyonu için gerekli trityum miktarını verirken, fissile yakıt üretimi, mevcut nükleer reaktörlerin ihtiyacını desteklemek amacıyla dikkate alınır. Tritium ve fissile yakıt üretimi, bu degerlendirmenin ı̇şığı altında, bir hybrid blanketin toplam yakıt üretimini (Total Breeding, Fusile + Fissile Breeding) oluşturacak şekilde, ayrı bir degerlendirmeye tabi tutulmak durumundadır. Aşağıda, Tablo-4.8 'de verilen ve daha önce verilmiş olan Tablo-4.2, Tablo-4.3 ve Tablo-4.6 'da verilen değerlerin toplamı olan değerlerin, toplam yakıt üretimi açısından degerlendirilmesi verilmiştir.

##### **4.3.7.1- Yakıtlara Göre Degerlendirme**

Toplam yakıt üretimi açısından aktinid yakıtların, klasik yakıtlara olan üstünlüğü tablolardan hemen görülebilmektedir. Klasik yakıtların kendi arasında UO<sub>2</sub>'in ThO<sub>2</sub>'ye % 10 ile % 20 arasında değişen bağıl bir iyiliği olmasının yanısıra, AmO<sub>2</sub>'in UO<sub>2</sub>'e göre 1.15 ile 1.35 arasında değişen bir katsayı ile daha iyi olması, hatta, 2 veya 3 sıralı CmO<sub>2</sub>'e sahip blanketlerin bile UO<sub>2</sub>'ye göre 1.27 ile 1.64 arasında bir katsayı ile daha iyi olmaları sözkonusudur. İncelenmesi yapılan blanketler içinde, füzyon nötronu başına toplam olarak 2.812 fusile ve fissile yakıt çekirdeği üretiminin sağlandığı (CmO<sub>2</sub> + Saf LiO + Be) dizilisine sahip olan blanket en iyi durumda olarak tesbit edilebilmektedir.

##### **4.3.7.2- Nötron Çogaltıcı Katman Malzemesine Göre Degerlendirme**

Toplam yakıt üretimi açısından, klasik ve aktinid yakıtlar arasında, Be ve Pb açısından çapraz bir paralellik gözlenmektedir. Şöyleki; nötron çogaltıcı katmanı bulunmayan blanketlerde, Be 'dan bir katman ilave edilmesi, toplam yakıt üretimini, kla-

sık yakıtlarda ( $\text{ThO}_2$  de % 3-13,  $\text{UO}_2$  de % 2-6) arttırırken, aktinid yakıtlarda bunun tersi bir durum ortaya çıkmakta ve toplam yakıt miktarını ( $\text{AmO}_2$ 'de % 27,  $\text{CmO}_2$  de % 12-17) azaltmaktadır. Bu ters yönlü etki, nötron cogaltıcı katmandaki Be yerine Pb kullanılmasıyla tersine dönmekte, klasik yakıtlarda bir azalma ( $\text{ThO}_2$  de % 3-5,  $\text{UO}_2$  de 3-6), aktinid yakıtlarda ise bir artma ( $\text{AmO}_2$ 'de % 15-19,  $\text{CmO}_2$  de % 0.06-1.5) ortaya çıkmaktadır. Böylece, klasik yakıtlar için Be olumlu bir katkıya sahipken, Pb bu etkiyi olumsuzlaştırmakta, aktinid yakıtlarda ise, Be ile ortaya çıkan olusuz etki Pb kullanılmasıyla, belli bir yüzde ile özellikle  $\text{AmO}_2$ 'li blankette giderilebilmektedir.

#### **4.3.7.3- Trityum Üretim Malzemesine Göre Degerlendirme**

Bu parametreye göre yapılan blanket degerlendirmesinde homojen bir sonuç gözlenmektedir. Bütün blanketlerde,  $\text{Li}_2\text{O}$  yerine Saf Li kullanılması, toplam yakıt üretim miktarının artmasına yol açmaktadır. Bu artışa ait yüzde ise bütün blanketler itibarıyle % 4 ile % 26 arasında değişmektedir. Böylece, toplam yakıt üretimi açısından, Saf Li,  $\text{Li}_2\text{O}$  'ya tercih edilmek durumunda olmaktadır.

#### **4.3.7.4- Reflektör Malzemesi Açısından Degerlendirme**

Trityum üretim malzemesi için yapılan degerlendirmede olduğu gibi, reflektör malzemesi açısından da, bütün blanketlerdeki bir düzgünlük gözlenebilmektedir. Grafit yerine Be kullanmakla, bütün blanketlerde, % 8-35 arasında değişen bir bagıl yüzde ile, toplam yakıt üretimi açısından bir iyilik sağlanmakta ve Be 'u bu açıdan grafit 'e tercih edilir duruma getirmektedir.

### **4.3.8- M Enerji Çoğalım Katsayısı Açısından Blanket Performansının Degerlendirilmesi**

Toplam yakıt üretiminin yanısıra, hybrid blankette, enerji üretiminin göstergesi anlamında enerji çoğalım katsayısı da, blanketin performans kriterlerinden birisi olarak dikkate alınmak durumundadır. Blankette yer alan yakitta ve trityum üretim malzemesi olarak kullanılan Li da nötron etkileşimi sonucu

acığa çıkan enerjinin, blankete ulaşan füzyon nötronu enerjisine göre bir karşılaştırma özelliği olan bu katsayının, bu çalışmada kullanılacak blanketler için hesaplanan değerleri Tablo-4.9 'da verilmiş ve bu tablo aracılığı ile yapılan değerlendirmeler de aşağıda sıralanmıştır

#### 4.3.8.1- Yakıtlara Göre Yapılan Değerlendirme

Enerji cogalım katsayısı açısından yapılan değerlendirmede de, klasik ve aktinid yakıt farkı açık olarak belirlenebilmek durumundadır. Klasik yakıtlar içerisinde  $\text{UO}_2$ 'nin  $\text{ThO}_2$ 'e göre bagıl olarak, % 65-90 mertebesinde bir üstünlüğü olmasının yanısıra,  $\text{AmO}_2$ 'in de  $\text{UO}_2$ 'e göre 3-3.4 aralığındaki bir katsayı ile belirtilebilecek bir üstünlüğü ortaya çıkmaktadır.  $\text{CmO}_2$  ise  $\text{AmO}_2$ 'e göre, bu noktaya kadar hatırlana gelen 2 veya 3 yakıt elemanı sırasına sahip olmasıyle, ilgili blanketler arasında, bagıl olarak % 27-42 'lik olumsuzluga sahiptir. Çalışmada kullanılan blanketler arasında, 11.69 değerindeki bir enerji cogalım katsayılarıyla ( $\text{AmO}_2 + \text{Li}_2\text{O} + \text{Be}$ ) malzeme dizilişine sahip blanketin M sayısı seçiminde en iyi durumda olduğu gözlenmektedir.

#### 4.3.8.2- Nötron Çogaltıcı Katman Malzemesi Açısından Değerlendirme

Nötron çogaltıcı katmanı bulunmayan blanketten, Be katmanlı bir blankete geçişte, enerji cogalım katsayısı  $\text{ThO}_2$  de % 11-12,  $\text{UO}_2$  de % 17-18,  $\text{AmO}_2$  de % 31-33 ve  $\text{CmO}_2$  de % 39-45 mertebesinde düzgün sayılabilen bir şekilde azalmaktadır. Aynı katmana Be degilde Pb yerleştirilmesi durumunda ise, azalma sadece  $\text{UO}_2$  de % 3-4 seviyesinde devam ederken, diğer yakıtlara sahip blanketlerde, Be 'lu olanlara göre,  $\text{ThO}_2$  de % 1-2,  $\text{AmO}_2$  de % 11-12 ve  $\text{CmO}_2$  de % 12-16 mertebesinde artmalar ortaya çıkmaktadır. Fakat, nötron çogaltıcı katman bulunmayan blanketlere, direkt olarak Pb katmanın ilavesiyle, M sayısında yine düşme gözlenmektedir. Denilebilir ki, nötron çogaltıcı katmanın ilavesi, M sayısı üzerinde olumsuz bir etkiye sahip olmaktadır.

#### 4.3.8.3- Tritium Üretim Bölgesindeki Malzemeye Göre Degerlendirme

$\text{Li}_2\text{O}$  ve Saf Li açısından yapılan değerlendirme sırasında da, klasik ve aktinid yakıt farkı belirgin bir özellik olarak ortaya çıkmaktadır. Bu karşılaştırmaya konu olan blanketlerin tümünde,  $\text{Li}_2\text{O}$  yerine Saf Li 'un kullanılmasıyla, klasik yakıtlarda artma, aktinid yakıtlarda ise azalma ortaya çıkmaktadır. Klasik yakıtlardaki artma % 0.1-6 seviyesinde kalırken, aktinid yakıtlardaki azalma % 2-14 mertebesine ulaşmaktadır. Saf Li, böylece, klasik yakıtlarda M sayısını artırmakta, aktinid yakıtlarda ise azaltmaktadır.

#### 4.3.8.4- Reflektör Malzemesine Göre Degerlendirme

İlgili tabloda gözlenebilen, diğer bir düzgün özellik te, bütün blanketlerde, grafit yerine Be 'un kullanılmasıyle, M sayısında bir artış ortaya çıkması şeklindedir. Artış yüzdesi, bütün blanketlerde, yakıt farkı olmaksızın, % 0.4-7 yüzde aralığına dağılmıştır. Bu sonuca dayalı olarak, Be 'un M sayısını artırmada, grafite göre farklı bir üstünlüğe sahip olduğu söylenebilir.

#### 4.3.9- ( $n,2n$ ) Reaksiyon Miktarının Katılmamasıyla Hesaplanan Efektif $(k_{eff}^*)$ Nötron Çoğalım Katsayısının Blanketlere Göre Degerlendirilmesi

Birinci dereceden öneme sahip olan bir parametre olmamasına rağmen, hybrid blanketlerin kritik-altı çalışmasının göstergesi olmak durumunda,  $(k_{eff}^*)$  katsayısının, blanket malzemesine göre değerlendirilmesi ayrı bir öneme sahiptir. Tablo-4.10 de incelenen blanketlere ait  $(k_{eff}^*)$  dağılımı verilmiş ve bu tabloya dayalı olarak yapılan dagerlendirmeler aşağıda sıralanmıştır.

#### 4.3.9.1- Yakıtlara Göre Yapılan Degerlendirme

Aktinid yakıtların, hybrid blanket kritikliğine olan etkisi, Tablo-4.10 da açık olarak gözlenmektedir. Minimal düzeydeki kritiklik veya  $(k_{eff}^*)$   $\text{ThO}_2$ 'li blanketlerde gözlenirken,  $\text{UO}_2$ 'li

blanketlerdeki kritikligin  $\text{ThO}_2$ 'li lere göre 3.5 'a varan bir katsayı ile arttığı tespit edilmektedir. Aktinid yakıtlara geçişte ise,  $\text{UO}_2$ 'li blanketlere göre 2.7 'ye varan bir katsayı ile belirlenebilen bir kritiklik artışı sözkonusudur.  $\text{CmO}_2$ 'li blanketlerde ise, yakıt bölgesindeki yakıt elemanları sıra sayısının 2 veya 3 olmasını gerektiren temel husus, bu noktada daha kuvvetli bir şekilde ortaya çıkmakta ve bu blanketlere ait  $k_{\text{eff}}^*$  değerlerinin yüksekliği dikkat çekmektedir. Bu blanketlerde 9 veya 10 sıraya müsaade edilmesi durumunda, blanketin kritik-üstü olduğu yapılan nümerik hesaplamalardan açık olarak görülmüş fakat bu hesaplar çalışma içerisinde yer almamıştır. Diger bir deyişle, 2 veya 3 sıralı yakıt elemanları yerleştirmek suretiyle, blanketin kritik-altı olması temin edilebilmiştir. Tablodan, kritiklik seviyesi en yüksek olarak verilen blanketin 0.72878 değeriyle ( $\text{AmO}_2 + \text{Li}_2\text{O} + \text{C}$ ) dizilişine sahip blanket olduğu; kritiklik açısından en az risk taşıyan blanketin ise 0.0705 değeriyle ( $\text{Pb} + \text{ThO}_2 + \text{Saf Li} + \text{C}$ ) yapısına sahip blanket olduğu tesbit edilmiştir.

#### 4.3.9.2- Nötron Çogaltıcı Katmandaki Malzemeye Göre Değerlendirme

Nötron çogaltıcı katmanı bulunmayan blanketlerde, bir Be katmanın ilavesiyle, ( $k_{\text{eff}}^*$ ) ile ifade edilen kritikligin, bütün blanketlerde daha düşük değerlere indiği (katmansız 'a göre  $\text{ThO}_2$ 'lide % 36,  $\text{UO}_2$ 'lide % 22,  $\text{AmO}_2$ 'lide % 13,  $\text{CmO}_2$ 'lide % 26-27 mertebesinde) görülmektedir. Be yerine Pb kullanılmasıyla, kritiklik, klasik yakıtlarda azalmakta ( $\text{ThO}_2$ 'lide % 2-3,  $\text{UO}_2$ 'lide % 6-7), aktinid yakıtlarda ise artmaktadır ( $\text{AmO}_2$ 'lide % 3-4,  $\text{CmO}_2$ 'lide % 7-10). Böylece, Pb klasik yakıtlarda kritikligi azaltıcı, aktinid yakıtlarda artırcı bir fonksiyona sahip olmaktadır.

#### 4.3.9.3- Tritium Üretim Malzemesine Göre Değerlendirme

Bütün blanketlerde,  $\text{Li}_2\text{O}$  yerine Saf Li kullanmakla, blanket kritikliginde çok az bir miktarda da olsa azalma gözlenmektedir. Azalma yüzdesi ise % 0.5 ( $\text{ThO}_2$ 'lu ve nötron çogaltıcı katmanı bulunmayan blanketler arasında) ile % 6.2 ( $\text{CmO}_2$ 'li ve yine nöt-

ron çoğaltıcı katmanı olmayan blanketler arasında) mertebesinde değişmektedir.

#### **4.3.9.4- Reflektör Malzemesine Göre Degerlendirme**

Reflektör Bölgesinde, grafit yerine Be elementini kullanmakla, blanket kritiklerinin, genelde, binde ile belirtilebilecek bagil bir farkla arttıkları, üç dört blankette ise, yine binde ile verilebilecek bagil bir farkla azaldıkları, belirtilen tablodan çıkartılabilen değerlendirme sonuçlarıdır. Grafit yerine Be kullanmakla kritiklik azalmasının ortaya çıktığı blanketler,  $\text{AmO}_2$  yakıtlı ve trityum üretim bölgesinde  $\text{Li}_2\text{O}$  bulunduran blanketler olmaktadır.

#### **4.3.10-(n,2n) Reaksiyon Nötronlarının Katılmasıyla Hesap**

##### **Edilen ( $k_{eff}^{**}$ ) Efektif Nötron Çoğalım Katsayısının Blanketlere Göre Degerlendirilmesi**

Nükleer ortamındaki nötron populasyonunu artırmacı bir fonksiyonu olması sebebiyle,  $k_{eff}$ 'in hesabında; (n,2n) reaksiyon miktarı, nötron kazancı olarak nitelenen fision nötronları terimi 2 ile çarpılarak, nötron kaybı olarak nitelenen yutulma ve kaçaklar toplamını veren terime de bizzat kendisi katılmak durumundadır. Bu şekilde tanımlanan ve kritikliği ifade eden  $k_{eff}$  terimini,  $k_{eff}^*$  şeklinde işaretlenen diğerinden ayırt etmek için  $k_{eff}^{**}$  simbolü kullanılmaktadır. Açık olarak, (n,2n) reaksiyon etki kesitinin yüksek olduğu malzemelerde etkinliğini gösterecek olan bu tanımlamanın, çalışmada kullanılan blanketler için aldığı değerler Tablo-4.11 de verilmiştir. Amerikyum elementine ait (n,2n) reaksiyon etki kesitleri, çalışmada kullanılan data paketinde bulunmadığı için, değerlendirme tablosunda bu yakıta ait sütün boş bırakılmıştır. Diğer blanketlere ait değerlendirmeler aşağıda sıralanmıştır.

#### **4.3.10.1- Yakıtlara Göre Yapılan Degerlendirme**

$k_{eff}^*$  için verilen tabloda olduğu gibi,  $k_{eff}^{**}$  için de yakıtlara yönelik benzer bir blanket davranışlı söz konusudur. Yani, klasik yakıt grubunda,  $\text{ThO}_2$  den  $\text{UO}_2$ 'ye geçiş sırasında yeni ta-

nimlanan  $k_{eff}^{**}$  değerinde artış ortaya çıkmaktadır. Bu artışın bagıl olarak yüzdesi % 3-38 arasında kalmaktadır.  $CmO_2$ 'e geçişte ise,  $k_{eff}^{**}$  değerinde,  $^{244}Cm$  'nin etkinliği sebebiyle, yine bir artış gözlenmektedir. Bu artış ise, 1.06-1.57 katsayıları arasında yer alan değerle katlanmaktadır. Böylece, kritiklige olan etkileri itibariyle,  $ThO_2$ ,  $UO_2$  ve  $CmO_2$  sıralaması, etkinliğin giderek artma sırası olarak da gözlenmektedir. Tablolarda yer alan ve değerlendirilmesi yapılan blanketler içerisinde, 0.953 değeriyle ( $Be + CmO_2 + Saf\ Li + Be$ ) malzeme yapısına sahip blanket,  $k_{eff}^{**}$  açısından en kritik durumu ifade etmektedir. Kritilik açısından en az risk taşıyan blanket ise, 0.2968 değeriyle ( $ThO_2 + Saf\ Li + C$ ) sıralamasına sahip olan blankettir.

#### 4.3.10.2- Nötron Çogaltıcı Katmanda Yer Alan Malzemeye Göre Degerlendirme

Nötron çogaltıcı katmanı bulunmayan blanketlere göre,  $Be$  'dan meydana gelen bir katmanın ilave edilmesi,  $k_{eff}^{**}$  değerinde, ilgili blanketlerin tümünde bir artısha yol açarken,  $Be$  katmanınının yerine Pb konulursa,  $Be$  katmanlıya göre,  $k_{eff}^{**}$  değerinde bir azalma gözlenmektedir.  $Be$  katmanınının ilavesi,  $ThO_2$  yakıtlı ve grafit reflektörlü blanketlerde  $k_{eff}^{**}$  değerinin yaklaşık olarak ikiye katlanmasıyle sonuçlanırken,  $Be$  yerine Pb getirilmesi, yine en etkin olarak  $ThO_2$  de olmak üzere, % 5-19 arasında bir bagıl düşmeye yol açmaktadır. Dikkat çeken diğer bir husus ta,  $k_{eff}^{**}$  değerinin gerek artması gereksiz azalmasında, nötron çogaltıcı katmanın etkisi açısından en az etkilenen yakıtın  $CmO_2$  olduğunu düşündür (artmada % 8-13, azalmada % 6-8).

#### 4.3.10.3- Trityum Üretim Malzemesi Açısından Degerlendirme

$Li_2O$  yerine Saf Li 'un kullanılması, ilgili bütün bu blanketlerin, grafit reflektörlü olanlarında azalmaya,  $Be$  reflektörlü olanlarında ise artmaya yol açmaktadır. Grafit reflektörlü olanlardaki azalma % 0.13-6 seviyesinde kalırken,  $Be$  reflektörlü olanlardaki artma % 6.5-20 mertebesinde gerçekleşmektedir. Belirtilen değişim aralıklarında, yakıtlara yönelik bir düzgünlik belirlenememektedir.

#### 4.3.10.4- Reflektör Malzemesine Göre Degerlendirme

İlgili bütün blanketlerde, C yerine Be kullanılması, Be 'un ( $n,2n$ ) reaksiyonu açısından bilinen etkinliği sebebiyle,  $k_{eff}^{**}$  degerinde artmaya yol açmaktadır. Üstelik bu artmalar baglı olarak yüksek yüzdelere de sahip olmaktadır. En düşük artış yaklaşık 15 degeriyle  $UO_2$  yakıtlı  $Li_2O$  trityum üretim malzemeli ve Be nötron çoğaltıcı katmanı bulunan blanketler arasında ortaya çıkarken, en büyük artış yaklaşık % 106 (2 katsayılık artıştan da fazla)degeriyle  $ThO_2$  yakıtlı ve Saf Li trityum üretim malzemeli blanketler arasında tesbit edilmektedir.

#### 4.3.11- $k_{eff}^*$ ve $k_{eff}^{**}$ Degerlerinin Blanketlere Yonelik Karşılaştırılması

$k_{eff}^*$  ve  $k_{eff}^{**}$  efektif nötron çoğalım katsayıları arasındaki esaslı fark, ( $n,2n$ ) reaksiyonları sonucu ortaya çıkacak nötron artımının hesaba katılmasıyla ilgilidir. Bu yüzden, tüm blanketlerin tek tek karşılaştırılması yerine, sadece yakıtlara ait  $k_{eff}$  gruplarının toplu olarak karşılaştırılması yeterli olabilecektir. Tablo-4.10 ve Tablo-4.11 de yer alan degerlere bu gözle bakıldığında,  $k_{eff}^*$  dan  $k_{eff}^{**}$  degerine geçişte, en büyük artışların  $ThO_2$  yakıtlı blanketlerde, daha yumuşak artışların  $UO_2$  yakıtlı blanketlerde ve en düşük artışların ise  $CmO_2$ 'li olanlarda ortaya çıktığı gözlenmektedir. Bu aynı zamanda, daha önceden de deginildigi gibi, ( $n,2n$ ) reaksiyonu açısından  $ThO_2$ 'in  $UO_2$ 'ye,  $UO_2$ 'nin de  $CmO_2$ 'ye göre daha etkin olduğunu bir ifadesidir. Bu sonuca, Tablo-4.5 'deki, nötron çoğaltıcı katmanda ve reflektöründe Be ve Pb 'un bulunmadığı blanketlere ait ( $n,2n$ ) degerleri, yakıtlar açısından karşılaştırıldıklarında da varmak mümkün olmaktadır. Tablo-4.11 'deki yakıt grupları, Tablo-4.10 'dakilerle karşılaştırıldıklarında,  $ThO_2$  yakıtlı blanketlerdeki  $k_{eff}^*$  ile  $k_{eff}^{**}$  arasındaki artış katsayısının 2.6-10.5 arasında degistigi, ve bu katsayının  $UO_2$  yakıtlı blanketlerde 1.23-3.11 arasında,  $CmO_2$  yakıtlı blanketlerde ise 1.003-2.13 arasında kaldığı hesaplanabilmektedir.

#### 4.4- Blanketlere Ait Nötronik Performansların Toplu Değerlendirilmesi

Bir alt bölümde, 4.1 numaralı alt bölümde verilen performans kriterlerinin her biri için bütün blanketlere ait nötronik performans değerleri olabildigince geniş bir karşılaştırmaya tabi tutuldu ve bu karşılaştırmadan elde edilen sonuçlar tesbit edildi. Ancak, bu şekilde gerçekleştirilen bir değerlendirme sonucunda, bütün blanketleri bütün kriterler açısından, tüm değerlendirmeleri göz önüne alarak sıralamaya tabi tutmanın ve performansı en iyi olan blanketi tespit etmenin zorluğu ve pratik olmadığı ortadadır. Bu zorluğu yemek üzere, kriterler açısından blanket etkinliklerini gösteren tablolar dikkate alınarak bir dizi aritmetik işlem aracılığı ile, en azından yakıt grupları itibarıyle, en iyi blanketin ortaya konması gerçekleştirilebilir.

##### **4.4.1- Yakıt Grupları İtibarıyle En İyi Blanketlerin Seçimi**

Yukarıda de濂ilen aritmetik işlemin ne şekilde gerçekleştirildiği söylece özetlenebilir. Performans kriterlerinin her birine ait verilen tablodaki her bir yakıta ait değerler sütunu dikkate alınır. Bu sütunda yer alan değerler 12 tane olup, nötron çoğaltıcı katman, trityum üretim bölgesi ve reflektör malzemelerindeki değişime karşı gelen ve o yakıta ait performans değerlerini karakterize eden sayılardır. Bu 12 sayı arasında yer alan en büyük ve en küçük sayılarla bunlar arasındaki fark esas alınarak, ilgilenilen performans kriteri için her bir sayının, o sütundaki sayılara göre bir ba濂 değerlendirme puanı hesaplanır. Örneğin, en büyük sayı için bu puan 1.00 ve en küçük sayı için 0.00 olur. Böyle bir hesaplama ile, bütün yakıtların herbiri ve her bir performans kriteri için değerlendirme puanları hesap edilip toplanırlarsa her bir yakıta ait, performans kriterlerinin bileşkesi olan 12 sayıya ulaşılır. Bu 12 sayı, artık, ilgili yakıt için, farklı 12 blanket yapısıyla eşleşen ve bileşke performansları belirleyen bir sayı dizisidir. Bu dizi içersinden yapılacak büyülük sıralaması, ilgili yakıt için en iyi ve en kötü blanket yapı sıralamasını da ortaya koymuş olur.

Belirli bir yakıt için, bu çalışmada kullanılan blankete ait en iyi yapıyı seçme işlemi yukarıda anlatıldığı gibi basit olarak özetlendikten sonra, değerlendirmesi blanketlere göre bir alt bölümde yapılan performans kriterlerinin içerisindeki önemli olanları, hybrid blanket fonksiyonları dikkate alınarak, seçilmek durumundadır. 4.1 numaralı alt bölümde verilen performans kriterleri arasında;

- T<sub>6+T<sub>7</sub></sub> toplamı, blanketin fusile yakıt veya trityum üretimi belirlemesi açısından,
- (n,γ) reaksiyon miktarı, fissile yakıt (<sup>233</sup>U, <sup>239</sup>Pu, <sup>242m</sup>Am ve <sup>245</sup>Cm) üretimi açısından,
- (n,f) reaksiyon miktarı, bir yandan bölünme reaksiyonları sonucu blanket ortamındaki nötron populasyonunu belirleme, diğer yandan aynı reaksiyonlar sonucu açığa çıkabilecek enerji miktarını hesaplayabilme açısından,
- M enerji çoğalım katsayısı, çekirdek bölünmeleri ve Li esaslı malzeme içerisinde meydana gelen reaksiyonlar sonucu, füzyon nötronu başına hybrid blanketteki enerji çoğalımının göstergesi olması açısından,
- $k_{eff}^*$  efektif nötron çoğalım katsayısı da, hybrid blanket için birincil olarak düşünülen özelliklerden olan kritik-altı çalışmayı karakterize etmesi ve bunun mertebesini belirlemesi açısından, önem taşıyan kriterlerdir. Digeleri arasından, bu düşüncelerle ayrılan bu beş kriterde ait tablolar seçilip (Tablo-4.4, Tablo-4.6, Tablo-4.7, Tablo-4.9 ve Tablo-4.10) bu alt bölümün başında tarif edilen yöntem kullanılarak, her bir yakıt için hesaplanabilen bileşke değerlendirme puanları Tablo-4.12 de sıralanmıştır. Bu noktada belirtilmesi gereken bir husus olarak, ilk dört kriterde ait değerlendirme puanlarının toplanmasına karşılık, beşinci kriter yani  $k_{eff}^*$  'e ait değerlendirme puanının ilk dördünün toplamından çıkartıldığı söylenebilir. Bunun sebebi, ilk dört kriterde ait değerlendirme puanlarından, büyük olanlarının ilgili blanketin iyilik derecesiyle doğru orantılılık, halbuki,  $k_{eff}^*$  için elde edilen değerlendirme puanlarından büyük olanlarının, hybrid blanketin kritik-altı olması isteği ile ters orantılılık arzetmesidir. Ayrıca, aynı tabloda (Tablo-4.12), sağ tarafta yer alan ikinci sayı grubu, sadece ilk dört kriterle

ilgili değerlendirme puanları toplanarak elde edilen değerleri göstergemektedir.  $k_{eff}^*$  'in dikkate alınmaması, diğer kriterler yanında bu kriterin ikincil olması nedeniyedir. Diger bir deyişle, bir hybrid blanket, kritik-altı olma şartını saglayacak şekilde tasarlantı için,  $k_{eff}^*$ , seçilen diğer kriterler yanında ikincil durunda kalır.

En iyi blanket yapısını bulmak üzere, seçilen kriterler, bir başka yaklaşımla değerlendirilerek değişik bir kriter grubu daha aşağıdaki gibi oluşturulabilir:

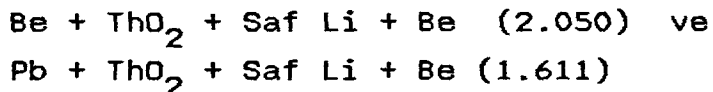
- $(n,f)$  bölünme reaksiyonlarının önemi daha önce belirtildi;
- $T_6 + T_7 + (n,\gamma)$  kriteri;  $T_6 + T_7$  toplamı ile  $(n,\gamma)$  reaksiyon toplamı verdigine göre, birleştirilerek göz önüne alınabilir,
- M sayısı da yine daha önce belirtilen öneme sahiptir, ve son olarak diğer grupta da olduğu gibi,
- $k_{eff}^*$  efektif nötron çoğalma katsayısı. Bu şekilde yeni bir kriter grubu oluşturma, yukarıdaki sıralamadan da anlaşılacağı gibi, olaya, sadece,  $(n,f)$ , toplam yakıt (fusile + fissile) miktarı ve M enerji çoğalım katsayısı ile ikincil bir öneme sahip  $k_{eff}^*$  açısından bakmayı saglar.

Her bir yakıt için, değişik blanket yapılarına ait değerlendirme puanlarını hesaplama işlemi, bu yeni dört kriter uygulanarak Tablo-4.13 de yer alan değerler elde edilmiştir. Bu tablo da yine sağ tarafta yer alan ikinci sayı gurubu, Tablo-4.12-'deki benzer olarak, sadece ilk üç kriter ( $(n,f)$ ,  $T_6 + T_7 + (n,\gamma)$  ve M) alınarak veya  $k_{eff}^*$  dışlanarak elde edilen değerlendirme puanlarını göstermektedir. Bu son iki tablonun değerlendirme işlemesi aşağıdaki alt bölümde verilmiştir.

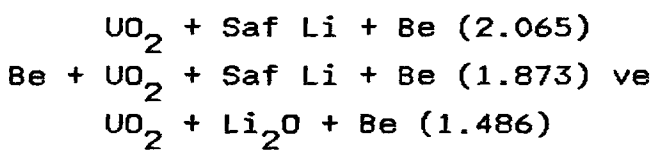
#### 4.4.2- Kullanılan Yakıtlara Ait En İyi Nötronik Performansa Sahip Hybrid Blanket Yapısının Seçimi

Nötronik performansı en iyi olan blanketin seçimi için bir önceki alt bölümde hazırlanan tablolar göz önüne alınacaktır. Tablo-4.12 'nin ilk kısmındaki değerler incelendiginde;  $ThO_2$  yakıtlı blanketler içerisinde 2.086 toplam değerlendirme puanıyla

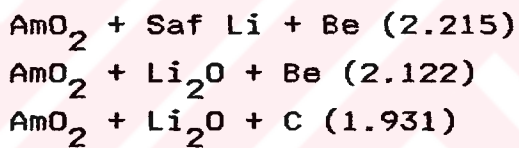
nötron çogaltıcı katmanı bulunmayan ( $\text{ThO}_2 + \text{Saf Li} + \text{Be}$ ) yapı-  
sındaki blanketin en iyi durumda oldugu, bunu takip eden diger  
iki blanketin



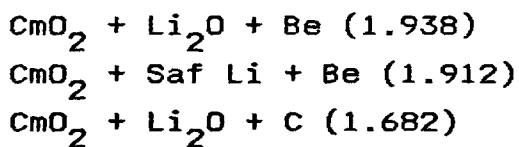
yapısındaki blanketler oldugu tesbit edilmektedir. Benzer incele-  
meyle,  $\text{UO}_2$  yakitlı blanketler arasında ilk üç sırayı;



blanketlerinin sagladigi görülmektedir.  $\text{AmO}_2$  yakitlı blanketler  
arasındaki sıralamanın;



şeklinde ve  $\text{CmO}_2$  yakitlı blanketler arasındaki sıralamanın ise;



Şeklinde oldugu görülmektedir. Tesbit edilen bu ilk üç sıralama-  
lar ve deger tablosu tüm olarak dikkate alındığında yapılacak  
değerlendirme ise söylece verilebilirler:

Dört yakit içersinde, ilk üçü için birinci sırayı aynı  
blanketlerin alması dikkat çekicidir.  $\text{CmO}_2$  için de, ilk üçü için  
tebit edilen blanket yapısında sadece, Saf Li yerine  $\text{Li}_2\text{O}$  gel-  
mektedir. Yine tablodan gözlenebilen diger bir özellik, deger-  
lendirme puanları toplamı itibariyle en son sırada yer alan  
blanketlerin, genel olarak nötron çogaltıcı katmani Pb olan  
blanketler oldugudur. Pb yerine, nötron çogaltıcı katmanında Be

bulunan blanketler ise orta sıralarda yer almaktadır. Yukarıda belirtilen genelleme içerisinde, istisna olarak, ( $\text{Be} + \text{Yakit} + \text{Saf Li} + \text{Be}$ ) ve ( $\text{Pb} + \text{ThO}_2 + \text{Saf Li} + \text{Be}$ ) blanketleri görülmektedir. Bu istisnaların ilkinde, Saf Li 'un yanısıra Be nötron çoğaltıcı katman ve Be reflektör, bu blanketi, klasik yakıtlar içinde ikinci sıraya çıkarırken, aktinid yakıtlar için dört ve beşinci sıralarda yer almamasına neden olmuştur. İkinci istisnada ise, Pb 'un Be 'a göre olumsuz etkisine rağmen, Saf Li ve Be 'un ortak etkisi, söz konusu blanketi,  $\text{ThO}_2$  yakıtlı olanlar içerisinde üçüncü sıraya yükseltmiştir.

Tablo-4.12 'ün ikinci kısmına, yani  $k_{\text{eff}}^*$  dikkate alınmadan yapılan değerlendirme puanlarının yer aldığı tabloya bakılacak olursa; tablonun ilk kısmında yer alan sıralamaya göre, daha bir netleşme göze çarpmaktadır. Bütün yakıtlar için, bir tek istisnasiyle, sıralamada ilk dört sırayı alan blanketler, nötron çoğaltıcı katmanı bulunmayan blanketler olarak tesbit edilmektedir. Bunun yanısıra, Pb nötron çoğaltıcı katmanlı blanketlerin son sıralara doğru biraz daha kaydışı tesbit edilmektedir.  $\text{ThO}_2$ ,  $\text{UO}_2$  ve  $\text{AmO}_2$  yakıtlı blanketler içerisinde yine birinci sırayı

#### $\text{Yakit} + \text{Saf Li} + \text{Be}$

yapısındaki blanketlerin aldığı,  $\text{CmO}_2$  için de yine, tablonun ilk kısmında olduğu gibi,

#### $\text{CmO}_2 + \text{Li}_2\text{O} + \text{Be}$

yapısıyle tanımlanan blanketin ilk sıradada yer aldığı gözlenmektedir. Denilebilir ki, değerlendirme puanları toplamından  $k_{\text{eff}}^*$  'in çıkartılması, blanketin iyilik sıralamasını, nötron çoğaltıcı katmanı bulunmayan blanketler tarafına götürmüştür.

Tablo-4.12 'nin ikinci kısmına ait göze çarpan tek istisna durum, ilk kısmda da belirlenen bir durum olarak, ( $\text{Be} + \text{Yakit} + \text{Saf Li} + \text{Be}$ ) yapısındaki blanketlerin, ilk dört sıralamanın hem arkasında yer almasıdır. Bu belirlenen özellik te, Be 'un ve Saf Li 'un ortak etkisini göstermektedir.

Degerlendirme puanlarının hesabında kullanılan kriter sayısı-

nın bir azaltılarak ( $n,f$ ),  $T_6 + T_7 + (n,\gamma)$  reaksiyon miktarlarına ve  $M$  sayısına (ve  $k_{eff}^*$  sayısına) göre hazırlanan Tablo-4.13 'deki değerler de, ana hatlarıyla Tablo-4.12 'deki durumu çok az değişiklikle hemen hemen yansımaktadır. Öncelikle, tablonun ilk kısmında, en iyi blanket yapısının bütün yakıtlar için (Yakıt + Saf Li + Be) yapısındaki blanket için ortaya çıktığı görülmektedir. Bunun dışında, klasik yakıtlarda daha az fakat aktinid yakıtlarda daha belirgin olarak, yakıtlara göre sıralamada ilk sıralar nötron çoğaltıcı katmanı bulunmayan blanketlere kayarken, Be ve Pb katmanlı blanketler öncelik açısından sıralamayı hemen hemen eşdeğer bir şekilde paylaşmaktadır. İlk kısım değerler arasında yine (Pb + Yakıt + Saf Li + Be) blanketleri, nötron çoğaltıcı katmanı bulunmayan blanketlerin arkasından sıralamaya girmektedir.

Tablonun ikinci kısmında yer alan değerlerde dikkati çeken en önemli özellik, nötron çoğaltıcı katmanı bulunmayan blanketlerin tam bir netlikle, Tablo-4.12 ve Tablo-4.13 'e yönelik değerlendirmeler sonucunda ilk defa, ilk dört sırayı almalarıdır. Bu kısımdaki sıralamada, birinci sırada yer alan blanketler, Tablo-4.12 'nin her iki kısmı için geçerli olan birincilerdir. İlk dördün arkasından yine (Pb + Yakıt + Saf Li + Be) ve (Be + Yakıt + Saf Li + Be) yapısına sahip blanketler gelmekte, Be ve Pb 'dan çoğaltıcı katmanlara sahip blanketler açısından sıraların yaklaşık olarak eşdeğer bir şekilde paylaşıldığı gözlenmektedir.

Özet olarak denilebilir ki; belirlenen kriterler açısından en iyi nötronik performansa sahip blanket yapısı, bütün yakıtlar için ortak olarak; nötron çoğaltıcı katmanı bulunmayan ve Be reflektörü blanketler olup,  $\text{ThO}_2$ ,  $\text{UO}_2$  ve  $\text{AmO}_2$  için Saf Li,  $\text{CmO}_2$  için ise  $\text{Li}_2\text{O}$  en iyi performansa götüren trityum üretim malzemesi olmaktadır. Nötron çoğaltıcı katman ilavesiyle, blanketlerin nötronik performansı giderek düşerken, bu düşme içerisinde,  $\text{Li}_2\text{O}$  ve Saf Li 'un fonksiyonları, nötron çoğaltıcı katmanı bulunmayan blanketlerdekinin tersine dönmekte; yani,  $\text{Li}_2\text{O}$ , Saf Li 'a göre daha iyi nötronik performansa götüren etken olmaktadır. Reflektör malzemesi olarak ta, Be, C 'a göre, hemen hemen bütün blanketlerde daha iyi nötronik performans saglamaktadır.

#### 4.5- Reaksiyon Üretim Yogunluklarının Hesaplanması

4.3 numaralı alt bölümde, nötronik performansı belirleyen kriterlerin her birisi için, bütün blanketlere ait verilen değerlendirmelerde karşılaştırılmak durumunda olan değerler hacme göre integre edilerek, birim zamanda ortaya çıkan miktarları göstermektedir. Dolayısıyla, verilen değerler, blanketin tümü itibariyle, ya yakıt bölgesi veya bir diğer bölge içerisinde meydana gelen toplam reaksiyon miktarı olarak hesaplandı. ANISN kodu kullanılarak yapılan hesaplamalar, yukarıda de濂ilen, hacim integrali alınmamış birim zamandaki reaksiyon miktarlarını verdiği gibi, hacim integrasyonu alınmış, birim hacim başına ve birim zamanda ortaya çıkan reaksiyon miktarlarını da vermek durumundadır. Böyle bir durum, reaksiyon miktarlarının geometrik parametreye bağlı olarak nasıl değiştiğini de göstermek durundadır. Böylece, geometrinin fonksiyonu olarak, reaksiyon miktarı değişimi incelenebilir. Bu şekilde, incelenenek olan reaksiyon miktarları, birim hacim başına değerlendirildikleri için ilgili reaksiyon 'a ait "Reaksiyon Yogunluğu" veya, ilgili reaksiyon sonucunda, yeni bir çekirdek üretimi söz konusu oluyorsa "Üretim Yogunluğu" ismini de almak durumundadırlar.

Çalışmada kullanılan ve daha önceki alt bölgelerde değerlendirilenleri yapılip, seçilmiş olan blanketler için, yukarıda belirtilen reaksiyon ve/veya üretim yoğunluklarını geometrinin fonksiyonu olarak incelemek ayrı bir öneme sahip olacaktır.

Yakıtlara göre en iyi bileşke nötronik performansa sahip blanket yapıları bir kez daha sıralanırsa; ilgili blanketler

- $\text{ThO}_2$  yakıtlılardan  
 $\text{ThO}_2 + \text{Saf Li} + \text{Be}$  (13. Blanket)
- $\text{UO}_2$  'li yakıtlardan  
 $\text{UO}_2 + \text{Saf Li} + \text{Be}$  (24. Blanket)
- $\text{AmO}_2$  'li yakıtlılardan,  
 $\text{AmO}_2 + \text{Saf Li} + \text{Be}$  (36. Blanketi)

- $\text{CmO}_2$ 'li yakıtlılardan  

$$\text{CmO}_2 + \text{Li}_2\text{O} + \text{Be} \quad (46. \text{ Balenket})$$

Şeklinde olur. Bu blanketler için, geometrinin (yarıçapın) fonksiyonu olarak çizilebilecek büyüklükler ise;

- Yakıt bölgesi için;  
 $(\nu\sigma_f)$  nötron üretim yoğunluğu ve  $(n,\gamma)$  fissile yakıt üretim yoğunluğu
- Tritium Üretim Bölgesi için;  
 $T_6$ ,  $T_7$  ve toplam trityum (fusile) üretim ( $T_6 + T_7$ ) yoğunlukları
- Bütün blanket ortamı için ortalama enerji ( $E_{or}$ ) değerleri  
 Seçilen blankettelere ait yukarıda tebit edilen büyüklüklerin, yarıçapın fonksiyonu olarak değişimleri, Şekil-4.1, Şekil-4.2, Şekil-4.3 ve Şekil-4.4 'de grafik olarak verilmiştir.

#### 4.5.1- Üretim Yerine Egrilerine Ait Şekillerin Ortak Değerlendirilmesi:

Digerlerine de değerlendirme kolaylığı getirebilmesi açısından ilk önce ortalama enerji ( $E_{or}$ ) eğrisi göz önüne alınabilir. Yarıçap değeri arttıkça, ortalama enerjinin düşüğü açık olarak gözlenmektedir. Bu, esas olarak, ilk çidardan itibaren, nötronların, bulundukları ortam çekirdekleriyle yaptıkları çarışma reaksiyonlarıyla, enerjilerinin düşmesi sonucudur. Tritium üretim bölgesinin ortalarında bir tepe noktasından geçmesi, bu bölge içerisinde Li ile girdikleri yutulma reaksiyonları sonucudur.  $^6\text{Li}$  ile, esas olarak düşük enerjili nötronlar reaksiyon'a girdiginden, geri kalan nötronlar agırlıklı olarak, yüksek enerjiliidir ve  $E_{or}$  eğrisinin bir lokal max den geçmesini temin ederler. Bu davranışın tersi bir davranış, reflektör bölgesi için geçerlidir. Reflektörde, ilerleyen nötronların enerjisi, elastik çarışmalarla, bölge ortasında en üst düzeyde modere edildikleri için, lokal minimum noktasının ortaya çıkması da anlam kazanmış olur.

Tritium üretim bölgeleri itibariyle, Eor egrisinin tersi bir davranış T6 üretim yoğunluğu için geçerlidir ve şekillerden bu durum açık olarak gözlenebilmektedir.<sup>7</sup> Li 'nin ise agırlıklı olarak, yüksek enerjili nötronlarla reaksiyona girmesi sebebiyle, T7 'ye ait üretim yoğunluğu egrilerinin şiddetti, artan yarıçap ve azalan nötron enerjisiyle birlikte azalmaktadır. Bu durum da yine egrilerden netlikle görülebilmektedir.

4.2 numaralı alt bölümde gerçekleştirilen geometri optimizasyonunda, trityum üretim bölgесinin katmanlı bir yapıya sahip olarak sonuçlandırmasının sebebi de, yukarıdaki açıklama olmaktadır. Çünkü, katmanlı bir yapı halinde dağıtılan ve içersinde<sup>6</sup> Li bulunduran malzeme, bu sayede daha çok modere edilmiş veya enerjisi mümkün mertebe yumuşatılmış nötron populasyonuyla karşılaşabilmektedir. Hatta, Li bölgeleri arasında yer alan reflektör malzemesi de, nötron yumuşamasını artırrarak sözü edilen T6 üretimini kolaylaştırmaktadır.

Yakıt bölgesinde yer alan egrilerden, nötron üretim yoğunluğu egrileri, yarıçap değeri arttıkça düşme göstermektedir. Bu da, ilk cidardan itibaren, nötron enerjisinin düşmesinin ve bu yüzden de, ilgili yakıtların her birisi için, (n,f) tesir kesit değerlerinin azalmasıyla açıklanabilecek bir sonuçtur. Bu aynı zamanda, fissile yakıt üretimini belirleyen (n, $\gamma$ ) reaksiyon yoğunluğunun da artmasıyle eşleşen bir durumdur. Çünkü, azalan nötron enerjisiyle birlikte, fisyon (bölünme) enerji aralığından uzaklaşımaktadır ve rezonans enerji bölgесine geçilmektedir ki, bu enerji bölgesi için ağır çekirdeklerde hakim olan reaksiyon türü (n, $\gamma$ ) reaksiyonudur.

#### 4.5.2- Üretim Yerlilikleri Egrilerinin Mukayeseli Değerlendirmeleri

Her bir yakıt için çizilen reaksiyon (ürütim) yoğunluklarına ait egriler, her bir parametre için bütün yakıtları gösterecek şekilde birleştirilebilir. Böylece, her bir üretim yoğunluğununa farklı yakıtların etkisi gözlenebilir. Bu amaçla çizilen egriler Şekil-4.5 'te Eor ile birlikte fissile yakıt üretim yoğunluklarını, Şekil-4.6 'da Eor ile birlikte nötron üretim yoğunluklarını (NÜY) ve Şekil-4.7 'de de, Eor ile birlikte Toplam Tritium

Üretim yoğunluklarını (TİÜY) göstermektedir. Yakıt bölgesinde 3 sıra yakıt elemanı bulunduran ve bu yüzden, diğer yakıtlarla net bir karşılaştırma imkanı saglayamayacak olması dolayısıyle,  $\text{CmO}_2$  yakıtlı blanketler, bu şekillerde göz önüne alınmamıştır. Şekil-4.5 de, ortalama nötron enerjisi azaldıkça,  $(n,\gamma)$  reaksiyonu ve dolayısıyle fissile yakıt ( $^{233}\text{U}$ ,  $^{239}\text{Pu}$ ,  $^{242\text{m}}\text{Am}$ ) üretiminin arttığı gözlenmektedir. Bu durum, daha önce de deginildiği gibi, azalan nötron enerjisiyle birlikte, rezonansas bölge sine girme ve  $(n,\gamma)$  yutulmalarının artmasıyle açıklanabilir. Yine şekil üzerinden  $\text{UO}_2$  yakıtlı blanketteki Eor 'nin  $\text{ThO}_2$  'liye göre daha düşük bir seviyede yer almamasına rağmen,  $^{239}\text{Pu}$  üretiminin,  $^{233}\text{U}$  üretiminden ihmali edilebilecek mertebede fazla olması,  $^{238}\text{U}$  'e ait  $(n,\gamma)$  reaksiyonu etki kesit değerinin  $^{232}\text{Th}$  'ninkine göre çok az büyük olmasındanandır.  $^{242\text{m}}\text{Am}$  'nin üretim miktarının diğerlerinin yaklaşık ( $1/3$ ) 'ü seviyesinde gitmesinin sebebi ise,  $^{241}\text{Am}$  den  $(n,\gamma)$  ile elde edilecek  $^{242\text{m}}\text{Am}$  miktarının 4.3.5.2 numaralı alt bölümde yapılan açıklamaya uygun olarak çok düşük kalmasıdır.

Şekil-4.6 da aynı blanketler için ( $\text{CmO}_2$  hariç) Eor ile birlikte nötron üretim yoğunluklarının (NÜY) yarıçapla değişim egrileri yer almaktadır. Bu şekil üzerinden gözlenebilen en önemli nokta,  $\text{AmO}_2$  'in diğer yakıtlara göre, nötron üretim yoğunluğu açısından sahip olduğu üstünlüktür.  $\text{UO}_2$  'ye göre ortalama olarak, 5-6,  $\text{ThO}_2$  'ye göre de yaklaşık 25 civarında bir artış katsayısı şekil üzerinden gözlenmektedir. Bu tesbitin diğer bir göstergesi de, Eor egrilerinin yukarıdan aşağıya  $\text{ThO}_2$ ,  $\text{UO}_2$  ve  $\text{AmO}_2$  şecline sıralanmalarına karşılık, NÜY egrileri bu sıralamanın tersiyle sıralanmaktadır. Ayrıca, NÜY egrilerinin giderek düşmesi, Eor egrilerinin yine giderek düşmesiyle paralellik arzeden bir durumdur ve  $(n,f)$  reaksiyonu için ilgili etki kesit değerlerinin enerjiye bağlılığının göstergesidir.

Şekil-4.7 'de ise, yakıt bölgesinin dışında kalan trityum üretimi ve reflektör bölgesinde, her bir blanketteki Eor ve Toplam trityum üretimi ( $T_6 + T_7$ ) yoğunluklarına ait egriler görülmektedir. Bu egri grupları için, üzerinde durularak söylenebilecek özellik; ( $T_6 + T_7$ ) toplamında  $T_6$  'nın baskın faktör olmasının sebebiyle, Eor egrileri içersinde daha düşük değerli olana,

daha yüksek ( $T_6 + T_7$ ) toplam üretim miktarının karşı gelmesidir. Tabiatıyla, egrilerden de görüleceği gibi, bu ifadenin tersi de geçerlidir. Yani en üstteki Eor eğrisi  $\text{ThO}_2$ 'ye aittir ve  $\text{ThO}_2$ 'nin toplam trityum üretim yoğunluğu, diğerlerinden düşük kalmaktadır.  $\text{UO}_2$  için geçerli egriler ise, hem Eor, hemde TTÜY olarak, diğerlerinin arasında yer almaktadır. Şekil-4.7 de, yine,  $\text{CmO}_2$ 'e ait egriler, daha önce açıklanan gerekçe sonucu yer almamıştır.

#### 4.6- Blanket Spektrum Hesaplamaları

İncelenen blanketler içerisindeki seçilen ve en iyi nötronik performansa sahip oldukları belirtilen, bir önceki alt bölümde de reaksiyon yoğunlukları açısından incelemeye tabi tutulan, hybrid blanketlerin önemli olabilecek geometrik noktalarında, nötron populasyonunu incelemek, bu blanketler için ulaşılan sonuçları yorumlamada faydalı olabilir. Herhangi bir nükleer ortama ait nötron populasyonunu incelemek, o ortam için nötron akı dağılımını elde etmekle mümkündür. Elde edilen akı dağılımı aynı zamanda, o ortama ait nötron spektrumu olarak ta bilinir.

Herhangi bir blanketin değişik bölgelerine ait nötron spektrumu, o blanket için geçerli olabilecek ve o blanket için söz konusu olan nötronik olayları açıklayıcı bir özellik taşıırken; değişik blanketlerin aynı geometrik konumlarına karşı gelen nötron spektrumları da farklı blankettelere ait özelliklerin bir-biriyle karşılaştırılmasını mümkün kılar.

Belirlenen bu iki amaç için, nötronik performansı en iyi olarak seçilen blanketlerin herbirisini için, yakıt bölgesinin ilk cidar'a komşu ve ortasındaki, diğer bölgelerin de (TÜB + Reflektör) ortasında yer alan intervallerde hesaplanan nötron spektrumları veya enerjiye göre nötron akılarının değişimleri sırasıyla Şekil-4.8, Şekil-4.9, Şekil-4.10 ve Şekil-4.11'de çizilmiştir. Ayrıca, incelenen dört blanketin yakıt bölgelerinin orta intervallerine ait nötron spektrumları Şekil-4.12'de biraraya toplanmıştır.

Şekil-4.8 de ( $\text{ThO}_2 + \text{Saf Li} + \text{Be}$ ) blanketinin yakıt bölgesi-

nin başı ve ortası, trityum üretim bölgesinin ise sadece orta noktalarındaki nötron spektrumları görülmektedir. Şekildeki egrilerden hemen gözlenebilen özellik olarak, yarıçap büyütükçe veya yakıt bölgesinden, TÜB 'ne ilerledikçe nötron spektrumunun yumuşadığı veya bir başka deyişle, nötronların moderasyona uğradığı, söylenebilir. Hatta, son iki trityum üretim katmanının orta noktasına ait spektrumlarda, açık olarak nötron enerji seviye farkının, egrilerinin paralel gidişleriyle birlikte ortaya çıktığı gözlenebilmektedir. Yine aynı Şekil üzerinden, yakıt bölgesinde ait her iki spektrum egrisinde de yüksek enerji bölgesinde ve 10-20 eV aralığındaki yakıt yutulmaları sonucu ortaya çıkan spektrum düşmeleri dikkat çekmektedir.

Şekil-4.9 da ( $UO_2$  + Saf Li + Be) blanketine ait, Şekil-4.8 'de olduğu gibi, elde edilmiş olan nötron spektrumları görülmektedir. Spektrum yumuşaması, yarıçap arttıkça bu blankette de açık olarak gözlenmekte ve Th 'lu olana göre kritik enerji bölgesinde daha şiddetli bir yutulmaya sahip  $UO_2$  için 5-10 eV arasındaki düşme dikkat çekmektedir.  $UO_2$  yakıtlı bu blankette dikkat çeken diğer bir nokta da; yüksek enerji bölgesinde, 2. ve 3. trityum üretme katmanlarına ait nötron dağılımlarının, düşük enerjili bölgede ( $E < 1$  eV ) ise 1. ve 3. trityum üretme katmanlarına ait nötron dağılımının yaklaşık olarak eşdeğer seviyede kaldığıdır. Halbuki,  $ThO_2$  de, 2. ve 3. TÜB 'ne ait nötron dağılımları şiddet farkıyla paralellik göstermekte idiler.

Şekil-4.10 da ( $AmO_2$  + Saf Li + Be) blanketine ait nötron spektrumları, belirtilen konumlar için gözlenmektedir. Blanket boyunca dışa doğru, spektrum yumuşamasının yanısıra,  $^{241}Am$  ve  $^{243}Am$  ile birlikte, yakıt bölgesinde üretilen fissile  $^{242m}Am$  çekirdeğinin de ( $n,f$ ) yönünden etkin olması sebebiyle, düşük enerji bölgesindeki nötron dağılımı, yakıt bölgesi (özellikle bölge ortası) itibariyle, çok düşük olarak ( $10^{-16}$  n/cm<sup>2</sup>sn) gözlenmektedir. Her üç trityum üretim bölgesindeki nötron dağılımı ise,  $ThO_2$  yakıtlı blanketteki aynı bölgeler için geçerli egrile-re benzemektedir.

Şekil-4.11 de ( $CmO_2$  +  $Li_2O$  + Be) blanketi için elde edilen spektrum egrileri gözlenmektedir. Gerek yakıt bölgesi, gerekse TÜB açısından,  $ThO_2$  yakıtlı hybrid blanketlere benzerlik, Şekil

üzerinden gözlenmektedir.

Şekil-4.12 de, yukarıda sözü edilen ve nötronik performansları en iyi olarak belirlenen dört blanketin, yakıt bölgesinin orta noktaları için çizilmiş nötron spektrumları yer almaktadır. Yakıtlara ait, spektrum farklılıklarının ortaya çıktığı bu şekilde, önemli olarak göze batan husus,  $\text{AmO}_2$ 'li yakıt bölgesinin, diğerlerine göre daha enerjik (hard spectra) bir nötron dağılımına sahip olmasıdır. Bu özelliği sebebiyle, Tablo-4.9'dan da görülebileceği gibi,  $\text{AmO}_2$ 'li blanket en büyük ( $n,f$ ) reaksiyon miktarına sahip olmaktadır. Ayrıca, diğer üç yakıttta, düşük enerji bölgesi yutulmaları  $1 < E < 100$  (eV) aralığında rahatlıkla gözlenebilirken,  $\text{AmO}_2$ 'li blankette bu durum ortaya çıkmamaktadır.

Degisik blanketlerde trityum üretim bölgelerinde nötron spektrumunun nasıl degistigini gözleyebilmek amacıyla, sırasıyla,  $\text{ThO}_2$ ,  $\text{UO}_2$ ,  $\text{AmO}_2$  ve  $\text{CmO}_2$ 'li blanketlerin 2.TÜB'lerinde, bölgenin başlangıcı, ortası ve sonunda yer alan intervalleri için çizilen spektrum egrileri sırasıyla Şekil-4.13, Şekil-4.14, Şekil-4.15 ve Şekil-4.16 da yer almaktadır. Şekillerin hepsinde ortak olarak gözlenen özellik, trityum üretim bölgelernin orta intervalleri için söz konusu olan spektrumun, bölgenin başı ve sonundaki spektruma göre daha sert olduğunu, bölge ortasındaki nötron dağılımı daha enerjiktir, veya düşük enerjili nötronların sayısına göre çok düşüktür. Örneğin,  $\text{ThO}_2$ 'li blanketler için sözkonusu egrilerin, ortak olarak  $10^5$  eV'lık enerji degerine karşı gelen nötron akısı birim leterji ve bir füzyon nötronu için yaklaşık  $2.5 \times 10^{-4}$  ( $\text{cm}^2\text{sn}$ ) $^{-1}$  degerinde iken, merkez intervaline ait egrinin, düşük enerji bölgesindeki en düşük degeri, yaklaşık  $0.1$  eV seviyesinde  $2.5 \times 10^{-6}$  ( $\text{cm}^2\text{sn}$ ) $^{-1}$  mertebesindedir. Bu iki degerin oranı, yaklaşık 100 gibi bir sayı verir ki bu deger yüksek seviyeli ve düşük enerjili nötron miktarlarının oranı olarak yorumlanabilir. Egriler arasında spektrum sertligi açısından bir degerlendirmeye gidebilmek için ise, yukarıda belirlenen katsayının, diğer egriler için aldığı degeri bulmak gereklidir. Örneğin, bölge başındaki intervalle eşleşen spektrum için bu katsayı  $2.5 \times 10^{-4} / 4.5 \times 10^{-5} \approx$

5.6, bölge sonundaki intervalle eşleşen spektrum için aynı katsayı  $2.5 \times 10^{-4} / 10^{-5} \approx 25$  şeklindedir. Bu spektrumların, merkezdeki spektrumla sertlik mukayesesi için, 100 katsayısının yanında, 5.6 ve 25 sayılarını mukayese etmek yeterli olur.

Bu son dört şeitin hepsinde gözlenen ve yukarıda rakamlarla da örneklenen diğer bir ortak özellik, bölge başındaki spektrumların, bölge sonundaki spektruma göre daha yumuşak olduğunu göstermektedir. Bu varılan sonuç, daha önce 4.5.2 numaralı alt bölümdeki Eor eğrisi için yapılan değerlendirmeyle de paralellik arzetmektedir. Bu şekillere ait son bir husus; Şekil-4.9 da verilen ve  $\text{UO}_2$ 'li blanketin yakıt bölgesinin orta noktasına ait çizilen spektrumdaki yaklaşık 10 eV yutulma çukurunun, Şekil-4.14 de TÜB 'nin orta intervali için çizilen spektrumda, enerji değeri yaklaşık 700 eV 'a kaymış olarak gözlenmesidir.

#### 4.7- Seçilmiş Blanketler İçin Yıllık Tritiyum ve Fissile Yakıt Üretimi

1000 MW (termal) değerindeki bir füzyon plazma gücü, ilk circa ulaşan (D-T) füzyon nötronları için esas alınarak, yıllık olarak, seçilmiş blanketlerde üretilmek durumunda olan toplam trityum üretimi ve fissile yakıt miktarı Tablo-4.14 de gösterilmiştir. Bu tablo'da toplam trityum üretiminin yanısıra, trityum açısından, füzyon reaksiyonunu yürütmek için gerekli olan trityumdan fazla olarak elde edilmek durumunda olan trityum miktarı da, ayrıca bir satır halinde gösterilmiştir. Tablodaki değerlerin hesaplanmasında kabul edilen diğer bir özellik te, blanketleri bulunduran enerji tesisine ait işletim faktörünün 0.75 olduğunu göstermektedir.

Tablo-4.1: Hybrid Blanket Geometri Optimizasyonu İçin Seçilen Geometriler  
ve Bunlara Ait Nötronik Performans Değerleri

Deg. Krit. ↓	ThO <sub>2</sub> Yakıtlı Geometriler					UO <sub>2</sub> Yakıtlı Geometriler				
	1	2	3	4	5	6	7	8	9	10
T6	0.6590	0.6983	0.7144	0.7091	0.7082	0.8207	0.8707	0.8896	0.8839	0.8830
T7	0.1088	0.0886	0.0855	0.0784	0.0736	0.1120	0.0914	0.0882	0.0809	0.0761
T6+T7	0.7678	0.7869	0.7999	0.7875	0.7818	0.9327	0.9621	0.9778	0.9649	0.9591
n,2n	0.1220	0.1218	0.1219	0.1219	0.1218	0.0748	0.0748	0.0748	0.0747	0.0747
n,γ	0.2310	0.2546	0.2512	0.2669	0.2685	0.2487	0.2768	0.2726	0.2917	0.2937
n,f	0.0366	0.0366	0.0366	0.0366	0.0366	0.1500	0.1507	0.1506	0.1510	0.1510
T6+T7 (n,γ)	0.9988	1.0414	1.0510	1.0544	1.0503	1.1814	1.2388	1.2504	1.2566	1.2527
M	1.7430	1.7563	1.7618	1.7599	1.7597	3.4066	3.4327	3.4376	3.4419	3.4420

**Tablo-4.2:** Çalışmada Kullanılan Hybrid Blanketlere Ait T6 Reaksiyon Miktarı Değerlerinin Değişimi.

NC	TÜB	Reflektör	Yakıt Bölgesi		
			$\text{ThO}_2$	$\text{UO}_2$	$\text{AmO}_2$
$\text{Li}_2\text{O}$	C	7.08202E-01	8.82952E-01	1.44944E+00	1.67530E+00
	Be	8.78969E-01	1.06231E+00	1.67806E+00	1.94303E+00
Saf Li	C	8.28631E-01	1.03000E+00	1.66312E+00	1.75230E+00
	Be	1.18196E+00	1.40685E+00	2.15182E+00	2.40937E+00
Be	C	6.58909E-01	7.58132E-01	9.92279E-01	1.26303E+00
	Be	7.90224E-01	8.95477E-01	1.16036E+00	1.55939E+00
Saf Li	C	7.90301E-01	9.04852E-01	1.16229E+00	1.43692E+00
	Be	1.05791E+00	1.18797E+00	1.51092E+00	1.99878E+00
$\text{Li}_2\text{O}$	C	7.71497E-01	8.94363E-01	1.26635E+00	1.40870E+00
	Be	9.02262E-01	1.03092E+00	1.43858E+00	1.70113E+00
Pb	C	9.06143E-01	1.04664E+00	1.45959E+00	1.52908E+00
	Be	1.17863E+00	1.33471E+00	1.82521E+00	2.15182E+00

Tablo-4.3 : Çalışmada Kullanılan Hybrid Blankettlere Ait T7 Reaksiyon Miktarı  
ri Derlerinin Değişimi.

NC	TÜB	Reflektör	Yakit Bölgesi			
			$\text{ThO}_2$	$\text{UO}_2$	$\text{AmO}_2$	$\text{CmO}_2$
$\text{Li}_2\text{O}$	C	7.36058E-02	7.60581E-02	9.38725E-02	1.70756E-01	
	Be	7.28086E-02	7.52160E-02	9.27315E-02	1.69618E-01	
Saf Li	C	9.03717E-02	9.34432E-02	1.15223E-01	2.16035E-01	
	Be	8.93091E-02	9.23029E-02	1.13628E-01	2.14773E-01	
$\text{Li}_2\text{O}$	C	5.34135E-02	5.49316E-02	6.54139E-02	1.32612E-01	
	Be	5.26938E-02	5.41813E-02	6.44744E-02	1.31165E-01	
Saf Li	C	6.51090E-02	6.70070E-02	7.98410E-02	1.63658E-01	
	Be	6.40860E-02	6.59298E-02	7.84548E-02	1.62316E-01	
$\text{Li}_2\text{O}$	C	4.87152E-02	5.02077E-02	6.15633E-02	1.22936E-01	
	Be	4.81134E-02	4.95757E-02	6.06959E-02	1.21658E-01	
Pb	C	5.93746E-02	6.12391E-02	7.50805E-02	1.51138E-01	
	Be	5.85552E-02	6.03665E-02	7.38109E-02	1.49542E-01	

**Tablo-4.4 : Çalışmada Kullanılan Hybrid Blanketlere Ait T6+T7 Toplam Tritium Üretim Miktarının Değişimi**

NC	TÜB	Reflektör	Yakıt Bölgesi		
			$\text{ThO}_2$	$\text{UO}_2$	$\text{AmO}_2$
$\text{Li}_2^0$	C	7.81808E-01	9.59010E-01	1.54331E+00	1.84606E+00
	B $\epsilon$	9.51777E-01	1.13753E+00	1.77080E+00	2.11265E+00
Saf Li	C	9.19003E-01	1.12344E+00	1.77834E+00	1.96834E+00
	B $\epsilon$	1.27127E+00	1.49915E+00	2.26545E+00	2.62414E+00
$\text{Li}_2^0$	C	7.12323E-01	8.13064E-01	1.05769E+00	1.39564E+00
	B $\epsilon$	8.42934E-01	9.49658E-01	1.22484E+00	1.69056E+00
Saf Li	C	8.55410E-01	9.71859E-01	1.24213E+00	1.60058E+00
	B $\epsilon$	1.12199E+00	1.25390E+00	1.58937E+00	2.16109E+00
$\text{Li}_2^0$	C	8.20212E-01	9.44571E-01	1.32792E+00	1.53164E+00
	B $\epsilon$	9.50376E-01	1.08050E+00	1.49928E+00	1.82279E+00
Pb	C	9.65518E-01	1.10787E+00	1.53467E+00	1.68022E+00
	B $\epsilon$	1.23718E+00	1.39507E+00	1.89902E+00	2.30136E+00

**Tablo-4.5 : Çalışmada Kullanılan Hybrid Blanketlere Ait ( $n,2n$ ) Reaksiyon Miktarının Değişimi**

NC	TÜB	Reflektör	Yakıt Bölgesi			
			$\text{ThO}_2$	$\text{UO}_2$	$\text{AmO}_2$	$\text{CmO}_2$
$\text{Li}_2\text{O}$	C	1.21848E-01	7.47413E-02	-----	-----	3.99073E-03
	Be	3.01234E-01	2.68846E-01	-----	-----	2.94795E-01
Saf Li	C	1.21464E-01	7.44829E-02	-----	-----	3.91715E-03
	Be	4.05040E-01	3.66761E-01	-----	-----	5.34969E-01
Li <sub>2</sub> O	C	4.05754E-01	3.84690E-01	-----	-----	3.34969E-01
	Be	5.40247E-01	5.23295E-01	-----	-----	6.43987E-01
Be	C	4.04215E-01	3.83838E-01	-----	-----	3.28941E-01
	Be	6.13517E-01	5.98903E-01	-----	-----	8.36184E-01
$\text{Li}_2\text{O}$	C	2.95761E-01	2.70428E-01	-----	-----	2.19462E-01
	Be	4.23313E-01	4.01284E-01	-----	-----	5.15992E-01
Pb	C	2.95408E-01	2.70143E-01	-----	-----	2.18428E-01
	Be	4.93213E-01	4.72840E-01	-----	-----	6.88663E-01

Tablo-4.6 : Çalışmada Kullanılan Hybrid Blanketlere Ait ( $n, \gamma$ ) Reaksiyon Miktarının Değişimi

NC	TÜB	Reflektör	Yakıt Bölgesi			
			$\text{ThO}_2$	$\text{UO}_2$	$\text{AmO}_2$	$\text{CmO}_2$
$\text{Li}_2\text{O}$	C	2.68535E-01	2.93687E-01	1.34559E-01	2.03608E-01	
	Be	2.74802E-01	2.98288E-01	1.34252E-01	2.06739E-01	
Saf Li	C	2.48709E-01	2.71717E-01	1.21255E-01	1.65163E-01	
	Be	2.69999E-01	2.91732E-01	1.25614E-01	1.88278E-01	
$\text{Li}_2\text{O}$	C	4.72700E-01	5.15528E-01	1.63389E-01	2.94667E-01	
	Be	4.76969E-01	5.18597E-01	1.63289E-01	3.04685E-01	
Saf Li	C	4.49841E-01	4.89512E-01	1.52716E-01	2.58466E-01	
	Be	4.65865E-01	5.04626E-01	1.55912E-01	2.98433E-01	
$\text{Li}_2\text{O}$	C	3.03694E-01	3.05473E-01	1.19371E-01	1.66714E-01	
	Be	3.05417E-01	3.06266E-01	1.18411E-01	1.73554E-01	
Pb	C	2.84915E-01	2.86671E-01	1.09313E-01	1.52775E-01	
	Be	2.98024E-01	2.99334E-01	1.11776E-01	1.78629E-01	

**Tablo-4.7 : Çalışmada Kullanılan Hybrid Blanketlere Ait ( $n,f$ ) Reaksiyon Miktarının Değişimi**

NC	TÜB	Reflektör	Yakit Bölgesi		
			ThO <sub>2</sub>	UO <sub>2</sub>	AmO <sub>2</sub>
$\text{Li}_2^0$	C	3.66151E-02	1.51037E-01	7.15209E-01	4.83531E-01
	Be	3.66571E-02	1.51227E-01	7.13331E-01	4.82714E-01
Saf Li	C	3.62546E-02	1.47913E-01	6.77982E-01	4.02629E-01
	Be	3.63800E-02	1.48703E-01	6.78161E-01	4.06350E-01
$\text{Li}_2^0$	C	2.33483E-02	1.11521E-01	4.59433E-01	2.30229E-01
	Be	2.33717E-02	1.11602E-01	4.58405E-01	2.31405E-01
Saf Li	C	2.31076E-02	1.08786E-01	4.39393E-01	2.09319E-01
	Be	2.31761E-02	1.09278E-01	4.39364E-01	2.11548E-01
$\text{Li}_2^0$	C	2.27267E-02	1.00749E-01	5.20025E-01	2.79032E-01
	Be	2.27523E-02	1.00757E-01	5.17604E-01	2.78987E-01
Pb	C	2.24814E-02	9.833310E-02	4.93413E-01	2.44433E-01
	Be	2.25538E-02	9.86873E-02	4.91567E-01	2.47382E-01

Tablo-4.8 : Çalışmada Kullanılan Hybrid Blanketlere Ait ( $T_6+T_7+(n,\gamma)$ ) Reaksiyon Miktarının Değişimi

NC	TÜB	Reflektör	Yakit Bölgesi			
			$\text{ThO}_2$	$\text{UO}_2$	$\text{AmO}_2$	$\text{CmO}_2$
$\text{Li}_2\text{O}$	C	1.05034E+00	1.25270E+00	1.67787E+00	2.04967E+00	
	Be	1.22658E+00	1.43582E+00	1.90505E+00	2.31939E+00	
Saf Li	C	1.16771E+00	1.39516E+00	1.89960E+00	2.13350E+00	
	Be	1.54127E+00	1.79088E+00	2.39206E+00	2.81242E+00	
$\text{Li}_2\text{O}$	C	1.18502E+00	1.32859E+00	1.22107E+00	1.69031E+00	
	Be	1.31990E+00	1.46825E+00	1.38813E+00	1.99524E+00	
Saf Li	C	1.30525E+00	1.46137E+00	1.38485E+00	1.85904E+00	
	Be	1.58786E+00	1.75852E+00	1.74528E+00	2.45952E+00	
$\text{Li}_2\text{O}$	C	1.12391E+00	1.25004E+00	1.44729E+00	1.69835E+00	
	Be	1.25579E+00	1.38676E+00	1.61769E+00	1.99634E+00	
Pb	C	1.25043E+00	1.39455E+00	1.64398E+00	1.83299E+00	
	Be	1.53521E+00	1.69441E+00	2.01080E+00	2.47999E+00	

**Tablo-4.9 : Çalışmada Kullanılan Hybrid Blankettlere Ait M Enerji Cogalımı  
Katsayısı Miktarının Değişimi**

NC	TÜB	Reflektör	Yakıt Bölgesi			
			ThO <sub>2</sub>	UO <sub>2</sub>	AmO <sub>2</sub>	CmO <sub>2</sub>
$\text{Li}_2\text{O}$	C	1.75965E+00	3.44195E+00	1.16366E+01	8.42700E+00	
	Be	1.81818E+00	3.50549E+00	1.16875E+01	8.50626E+00	
Saf Li	C	1.79540E+00	3.44753E+00	1.11810E+01	7.30559E+00	
	Be	1.91706E+00	3.58659E+00	1.13494E+01	7.58131E+00	
$\text{Li}_2\text{O}$	C	1.55474E+00	2.83909E+00	7.85345E+00	4.69419E+00	
	Be	1.59963E+00	2.88683E+00	7.89590E+00	4.81142E+00	
Saf Li	C	1.59591E+00	2.85007E+00	7.62688E+00	4.45660E+00	
	Be	1.68768E+00	2.95311E+00	7.74475E+00	4.65383E+00	
$\text{Li}_2\text{O}$	C	1.58413E+00	2.73251E+00	8.80590E+00	5.43585E+00	
	Be	1.62886E+00	2.77896E+00	8.83000E+00	5.53445E+00	
Pb	C	1.62633E+00	2.74988E+00	8.49399E+00	4.98593E+00	
	Be	1.71981E+00	2.85267E+00	8.59186E+00	5.23906E+00	

**Tablo-4.10 :** Çalışmada Kullanılan Hybrid Blankettelere Ait  $k_{\text{eff}}^*$  Nötron  
Cogalım Katsayıları Değerleri

NC	TÜB	Reflektör	Yakıt Bölgesi		
			$\text{ThO}_2$	$\text{UO}_2$	$\text{AmO}_2$
$\text{Li}_2\text{O}$	C	1.14095E-01	3.31970E-01	7.28785E-01	6.42742E-01
	Be	1.14206E-01	3.32243E-01	7.28376E-01	6.42431E-01
Saf Li	C	1.13338E-01	3.28181E-01	7.19244E-01	6.03190E-01
	Be	1.13654E-01	3.29215E-01	7.19390E-01	6.05279E-01
$\text{Li}_2\text{O}$	C	7.29894E-02	2.57920E-01	6.29959E-01	4.63977E-01
	Be	7.30632E-02	2.58081E-01	6.29544E-01	4.65183E-01
Saf Li	C	7.24409E-02	2.53942E-01	6.20512E-01	4.42408E-01
	Be	7.26437E-02	2.54732E-01	6.20577E-01	4.46834E-01
$\text{Li}_2\text{O}$	C	7.10036E-02	2.41668E-01	6.54559E-01	5.06802E-01
	Be	7.10808E-02	2.41731E-01	6.53653E-01	5.06831E-01
Saf Li	C	7.04515E-02	2.37959E-01	6.43621E-01	4.76117E-01
	Be	7.06580E-02	2.38594E-01	6.42918E-01	4.78965E-01

**Tablo-4.11 : Çalışmada Kullanılan Hybrid Blanketlere Ait  $k_{eff}$  Nötron  
Cogalım Katsayıları Değerleri**

NC	TÜB	Reflektör	Yakıt Bölgesi			
			ThO <sub>2</sub>	UO <sub>2</sub>	AmO <sub>2</sub>	CmO <sub>2</sub>
$Li_2O$	C	2. 97901E-01	4.11331E-01	-----	-----	6.44676E-01
	Be	5.11543E-01	5.86195E-01	-----	-----	7.71968E-01
Saf Li	C	2.96831E-01	4.07886E-01	-----	-----	6.05359E-01
	Be	6.12936E-01	6.59244E-01	-----	-----	8.45013E-01
$Li_2O$	C	5.99862E-01	6.44962E-01	-----	-----	6.97813E-01
	Be	7.16239E-01	7.45444E-01	-----	-----	8.58558E-01
Saf Li	C	5.98226E-01	6.42810E-01	-----	-----	6.83910E-01
	Be	7.71769E-01	7.93548E-01	-----	-----	9.53398E-01
$Li_2O$	C	4.86930E-01	5.41032E-01	-----	-----	6.52710E-01
	Be	6.15695E-01	6.52111E-01	-----	-----	8.09879E-01
Pb	C	1.83810E-01	5.38902E-01	-----	-----	6.32660E-01
	Be	1.81637E-01	7.05075E-01	-----	-----	8.80787E-01

Tablo 4.12: Nümerik Hesaplamaları Yapılan Bütün Blanketlerin Toplam Trityum miktarı,  $(n, \gamma)$ ,  $(n, f)$ ,  $M$  ve  $k_{eff}$ , Kriterlerine Göre Hesaplanmış Nötronik Performans Değerlendirme Puanları. (Sag Taraftaki Değerler  $k_{eff}$  Dahil Edilmeden Hesaplanmıştır).

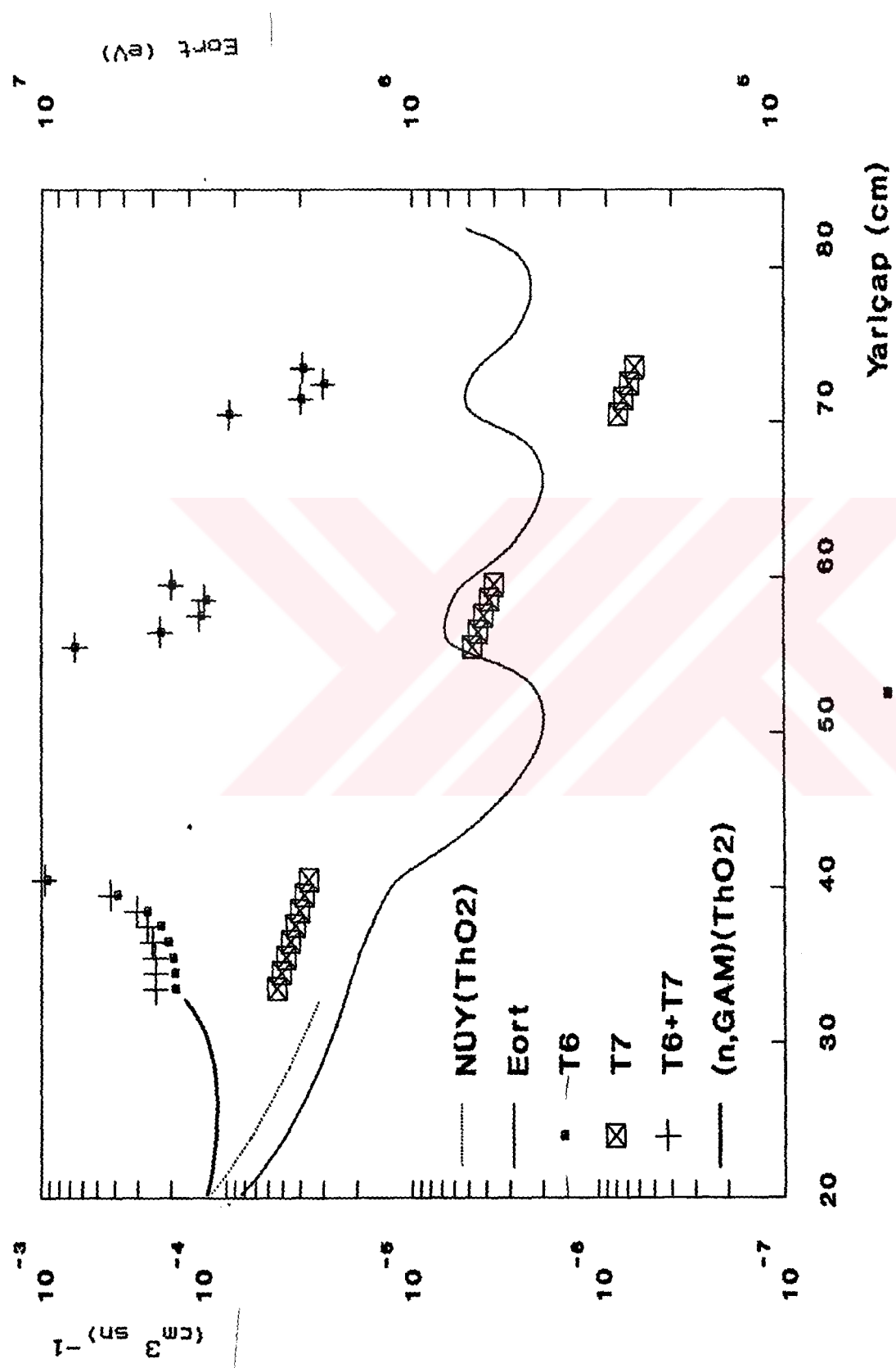
NC	TÜB	Reflektör	Yakıt Bölgesi			Yakit Bölgesi		
			ThO <sub>2</sub>	UO <sub>2</sub>	AmO <sub>2</sub>	CmO <sub>2</sub>	ThO <sub>2</sub>	UO <sub>2</sub>
$\text{Li}_2\text{O}$	C	0.777	1.132	1.856	1.682	1.774	2.129	2.856
	Be	1.269	1.486	2.048	1.938	2.269	2.486	3.044
Saf Li	C	1.026	1.269	1.646	1.154	2.006	2.226	2.558
	Be	2.086	2.065	2.171	1.912	3.073	3.033	3.084
$\text{Li}_2\text{O}$	C	0.984	1.150	1.042	0.961	1.042	1.362	1.129
	Be	1.361	1.418	1.188	1.295	1.421	1.631	1.271
Saf Li	C	1.250	1.279	0.956	0.863	1.295	1.449	0.956
	Be	2.050	1.873	1.330	1.617	2.100	2.051	1.331
$\text{Li}_2\text{O}$	C	0.519	0.336	0.678	0.378	0.532	0.375	0.992
	Be	0.884	0.590	0.808	0.683	0.898	0.630	1.114
Saf Li	C	0.810	0.511	0.592	0.323	0.810	0.511	0.805
	Be	1.611	1.101	.963	1.057	1.616	1.108	1.170

**Tablo-4.13:** Nümerik Hesaplamları Yapılan Bütün Blanketlerin Toplam Tritiyum miktarı (fusiletfissile),  $(n, f)$ ,  $M$  ve  $k_{eff}$ , Kriterlerine Göre Hesaplanmış Nötronik Performans Degerlendirme Puanları. (Sag Tarafaktaki Değerler  $k_{eff}$  Dahil Edilmeden Hesaplanmıştır).

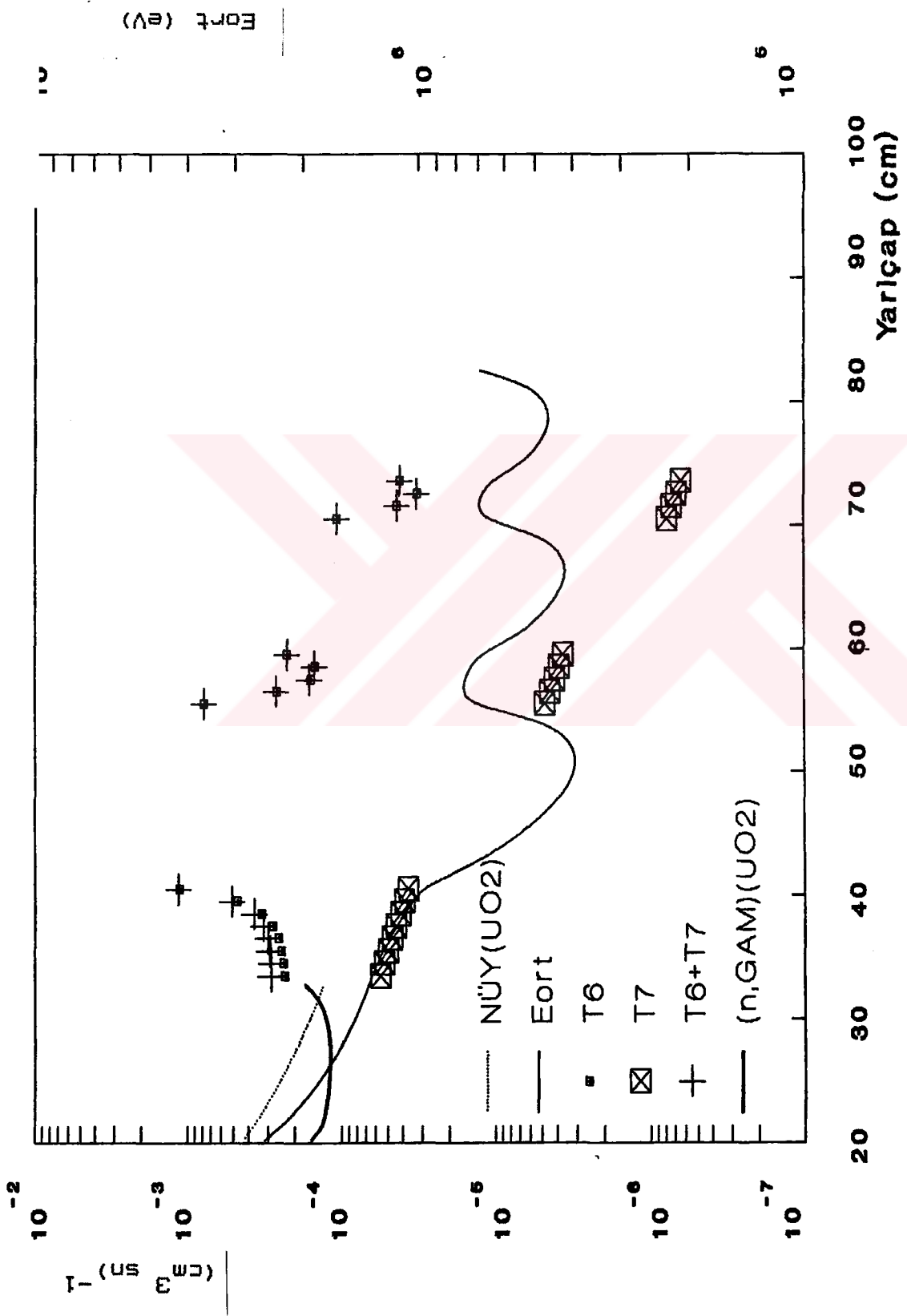
NÇ	TÜB	Reflektör	Yakit Bölgesi			Yakit Bölgesi		
			$\text{ThO}_2$	$\text{UO}_2$	$\text{AmO}_2$	$\text{ThO}_2$	$\text{UO}_2$	$\text{AmO}_2$
$\text{Li}_2\text{O}$	C	0.566	0.835	1.377	1.300	1.563	1.832	2.377
	Be	1.055	1.249	1.581	1.560	2.055	2.249	2.577
Saf Li	C	0.874	1.085	1.407	1.001	1.854	2.042	2.319
	Be	1.906	1.984	1.870	1.678	2.893	2.952	2.783
$\text{Li}_2\text{O}$	C	0.254	0.307	0.042	0.027	0.312	0.519	0.129
	Be	0.628	0.622	0.195	0.327	0.688	0.835	0.278
Be	C	0.587	0.557	0.140	0.150	0.632	0.727	0.140
	Be	1.366	1.227	0.476	0.721	1.416	1.405	0.441
$\text{Li}_2\text{O}$	C	0.222	0.007	0.461	0.182	0.235	0.046	0.775
	Be	0.592	0.313	0.613	0.471	0.606	0.353	0.919
Pb	C	0.570	0.287	0.558	0.218	0.570	0.287	0.771
	Be	1.358	0.963	0.894	0.854	1.363	0.970	1.101

**Tablo-4.14: 1000 MW (thermal) 'lık Füzyon Plazma  
Güçü İçin, Seçilen Blanketlerdeki  
Üretilen Trityum ve Fissile Yakıt  
Miktarları (kg/yıl olarak)**

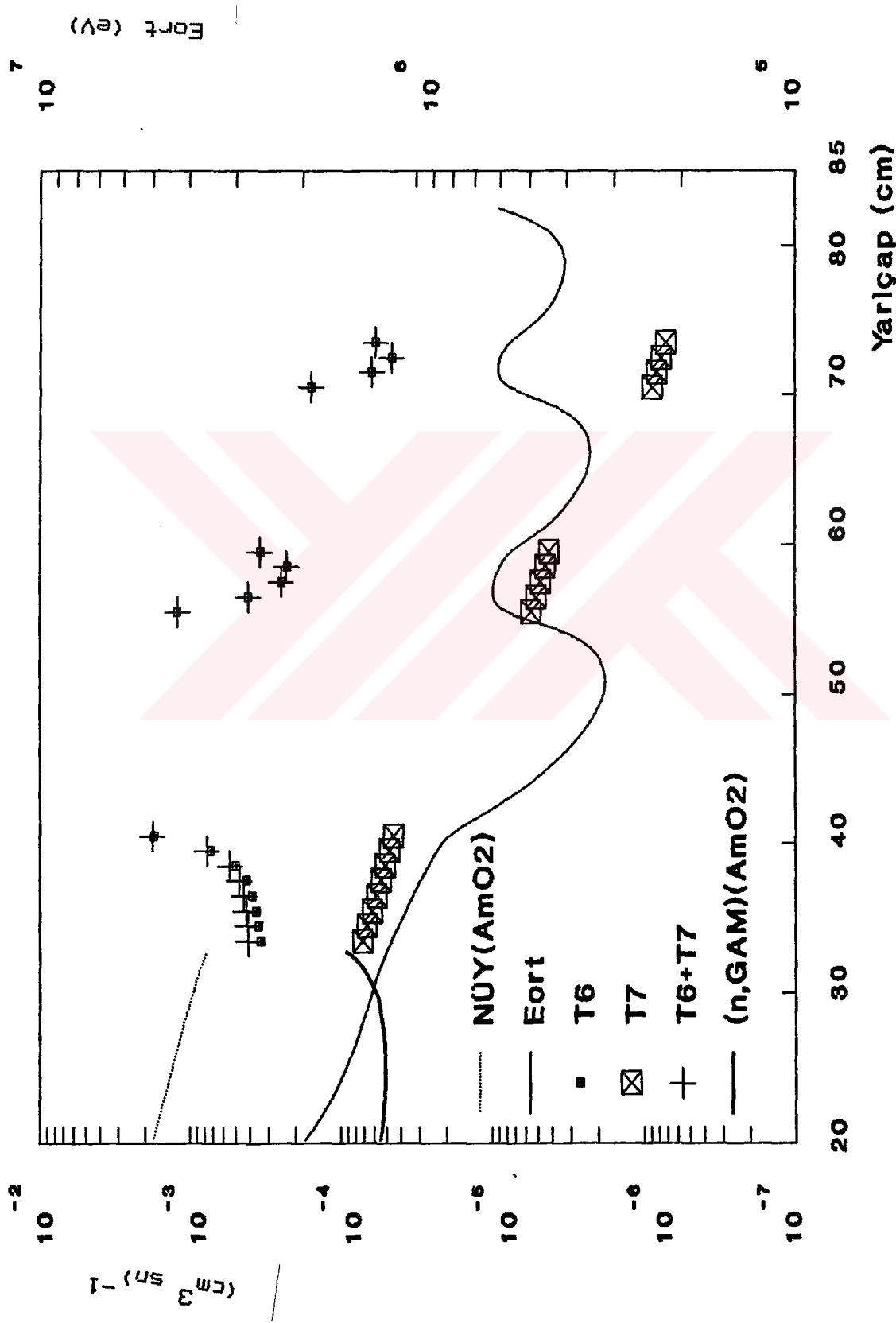
Üretilen Yakıt (Fusile,Fissile)	Seçilmiş Blanket Yakıtları			
	$\text{ThO}_2$	$\text{UO}_2$	$\text{AmO}_2$	$\text{CmO}_2$
Toplam Trityum	52.67	62.11	94.46	87.52
Fazlalık Trityum	11.24	20.68	52.76	46.09
$^{233}\text{U}$	864.34	-----	-----	-----
$^{239}\text{Pu}$	-----	958.00	-----	-----
$^{242m}\text{Am}$	-----	-----	417.58	-----
$^{245}\text{Cm}$	-----	-----	-----	695.79



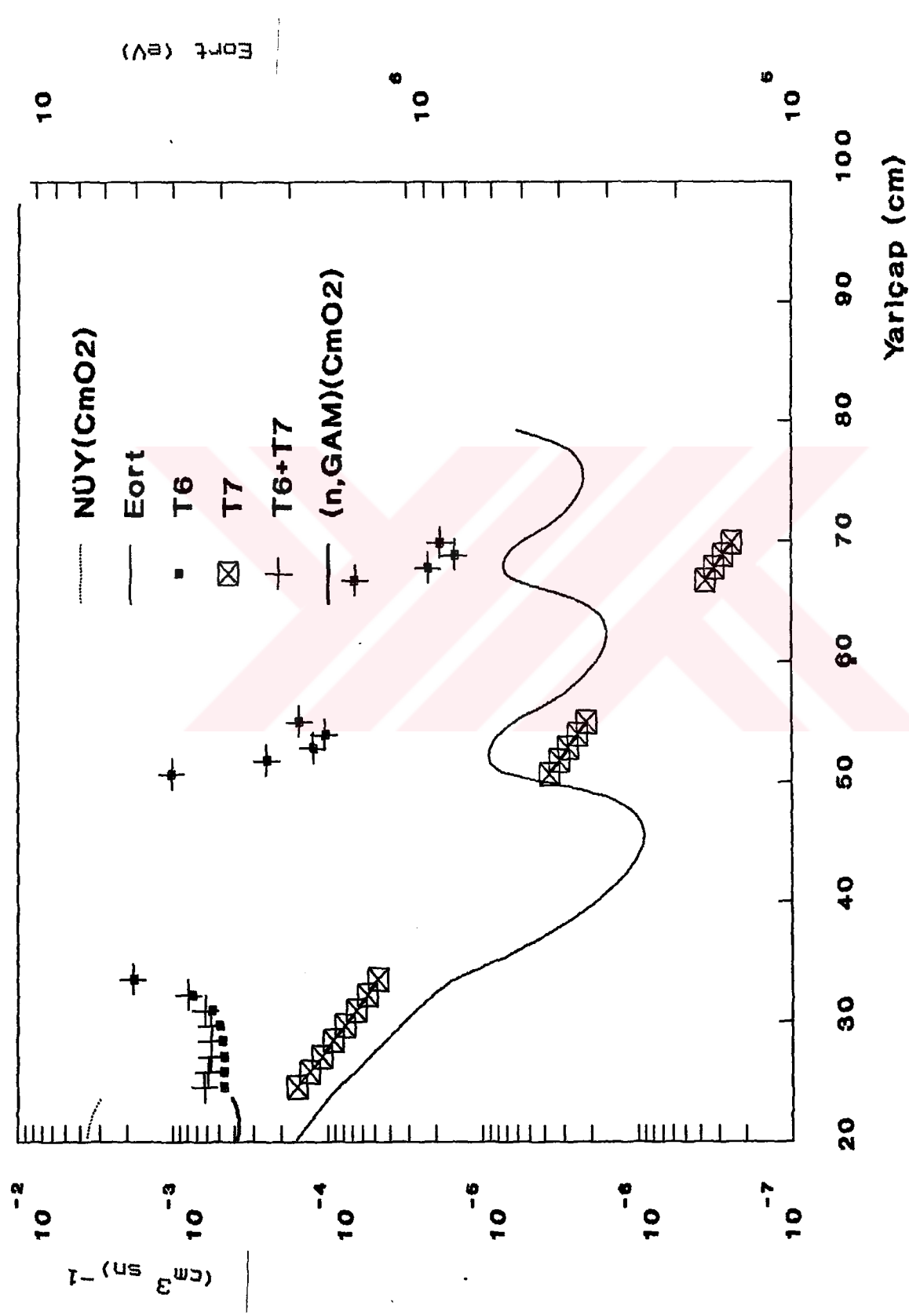
Sekil-4.1: (ThO<sub>2</sub>+Saf Lit+Be) Blanketine (13.8Blanket) Ait Yoğumlu ve Ortalama Enerjinin (Eort) Blanket Yarıçapına Göre Değişimi



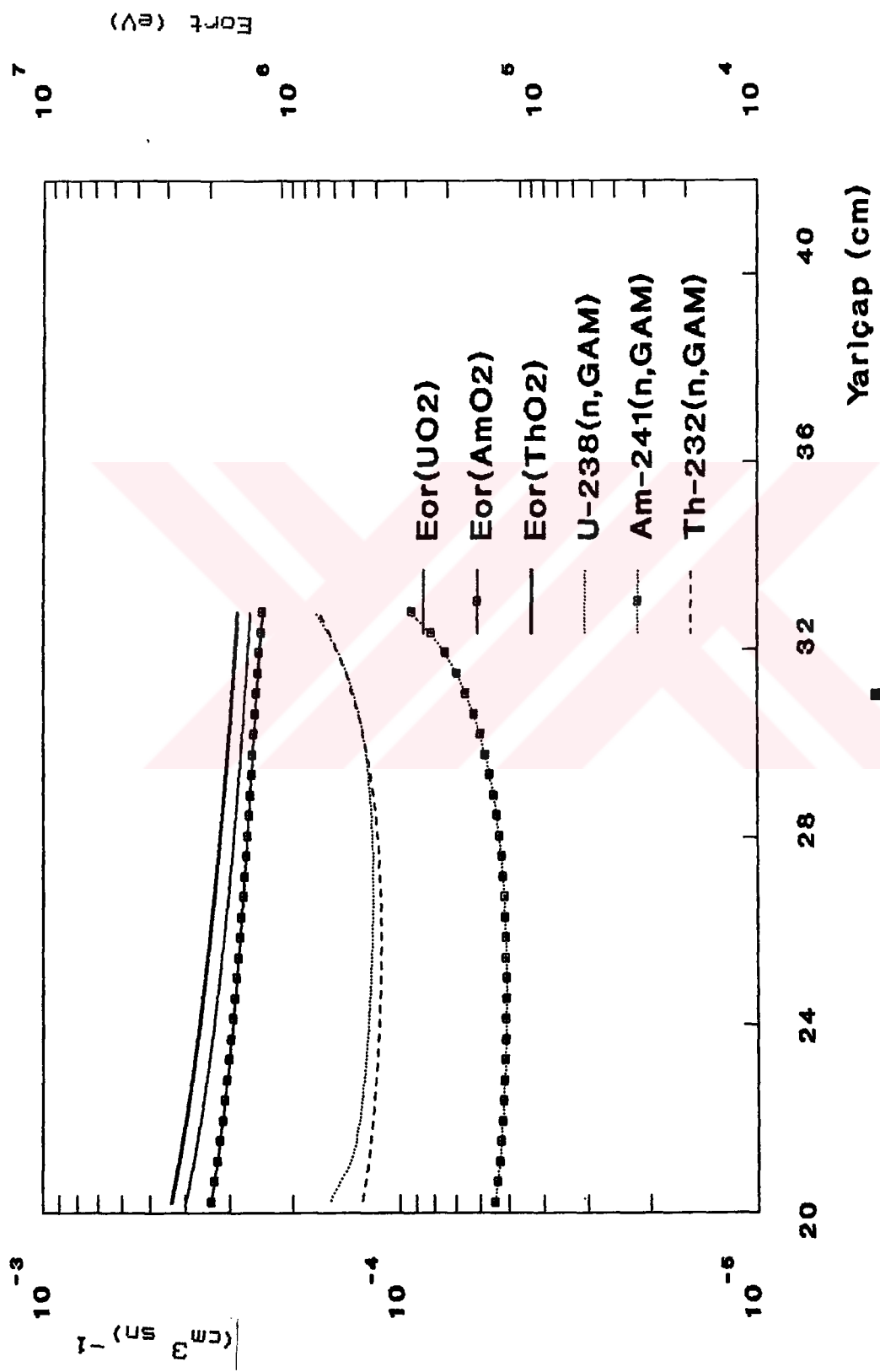
Sekil-4.2:  $(\text{UO}_2+\text{Saf Li+Be})$  Blanketine Ait Yoğunluk ve Ortalama Enerjinin (Eort) Blanket Yarıçapına Göre Değişimi



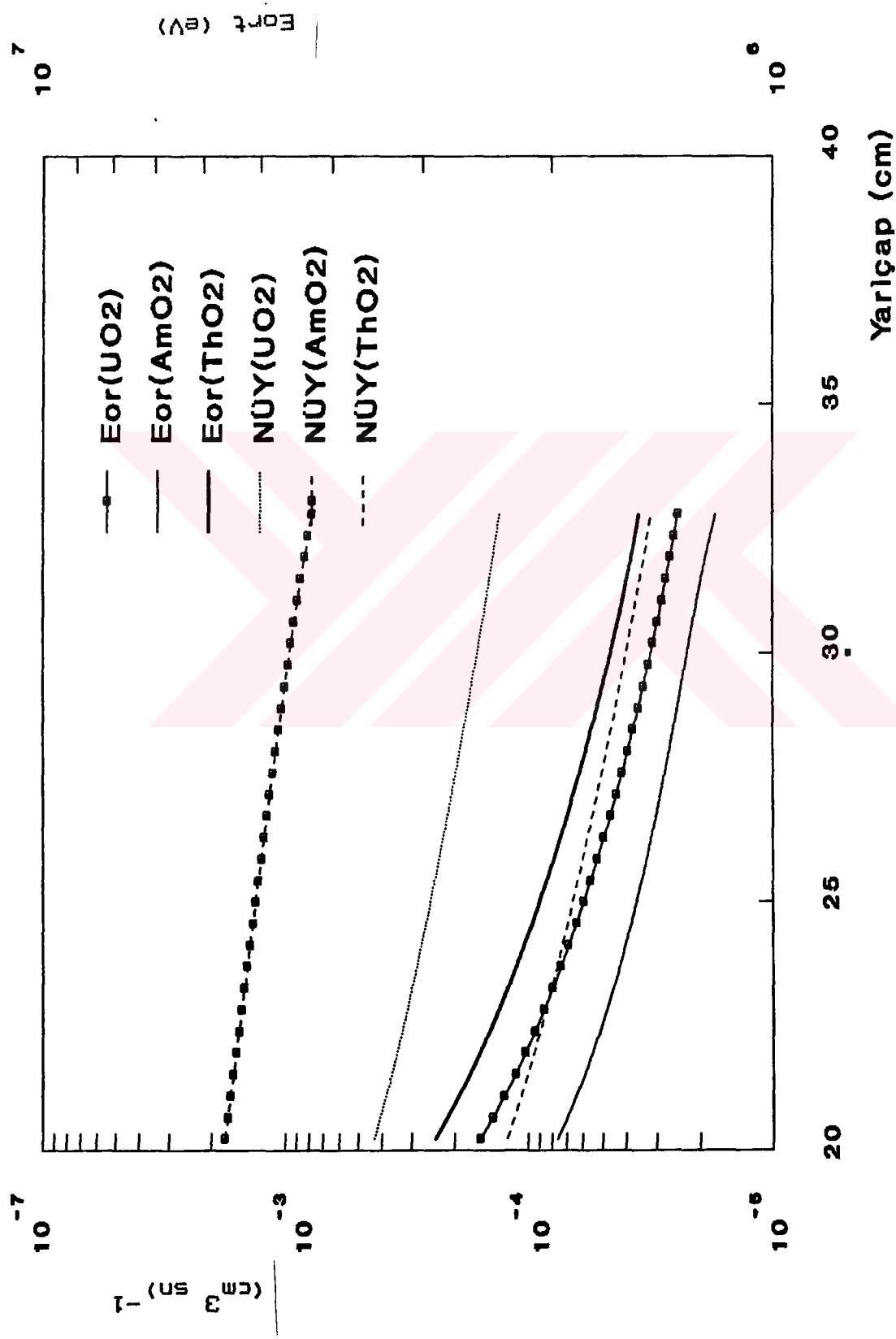
Şekil-4.3: ( $\text{AmO}_2+\text{Saf Li}+\text{Be}$ ) Blanketine (36.Blancket) Ait Yoğunluk ve Ortalama Enerjinin (Eort) Blanket Yarıçapına Göre Değişimi



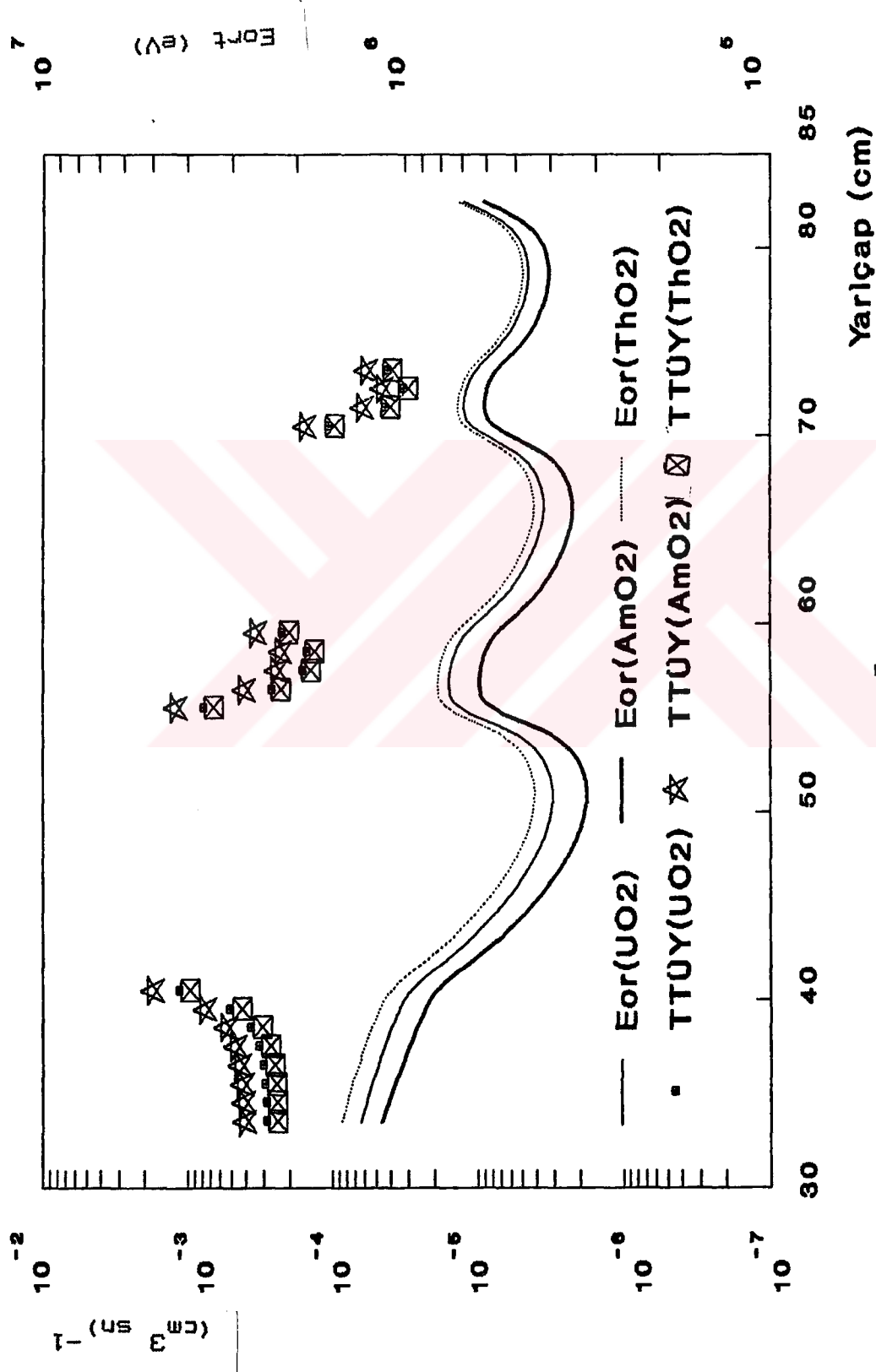
**Sekil-4.4:** ( $\text{CmO}_2 + \text{Li}_2\text{O} + \text{Be}$ ) Blanketine (46. Blanket) Ait Yogenluk ve Ortalama Enerjinin (Eort) Blanket Yaricapina Gore Degisimi



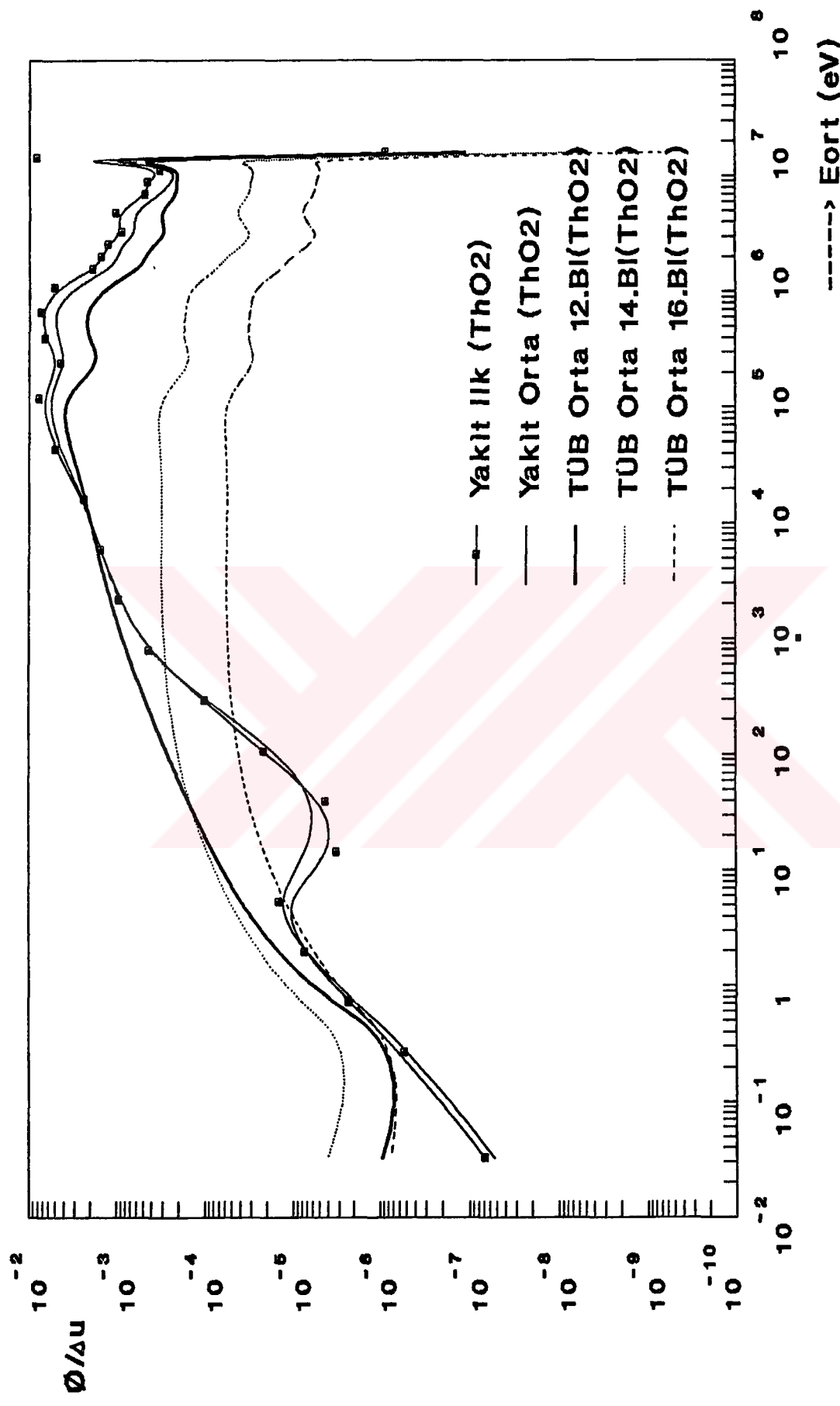
**Sekil-4.5:** Seçilmiş Blanketlerin Yakıt Bölgesine Ait Eor ve Fisile Yakıt Üretiminin Blanket Yarıçapıyla Değişimi



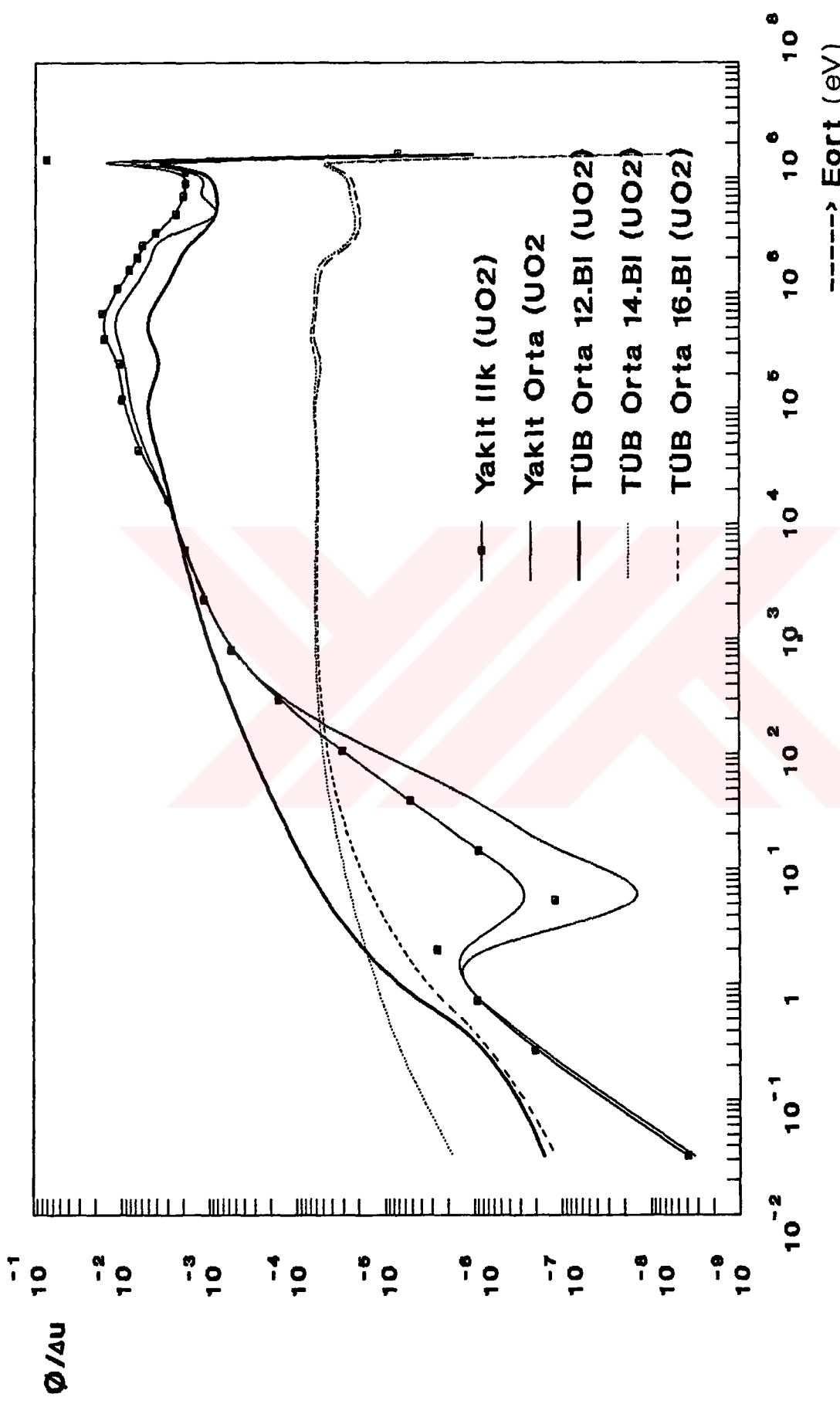
**Sekil 4-6:** Secilmiş Blanketlerin Yakıt Bölgesine Ait Eor ve Nötron Üretim Yوغunluklarının (NÜY) Blanket Yarıçapıyla Değişimi



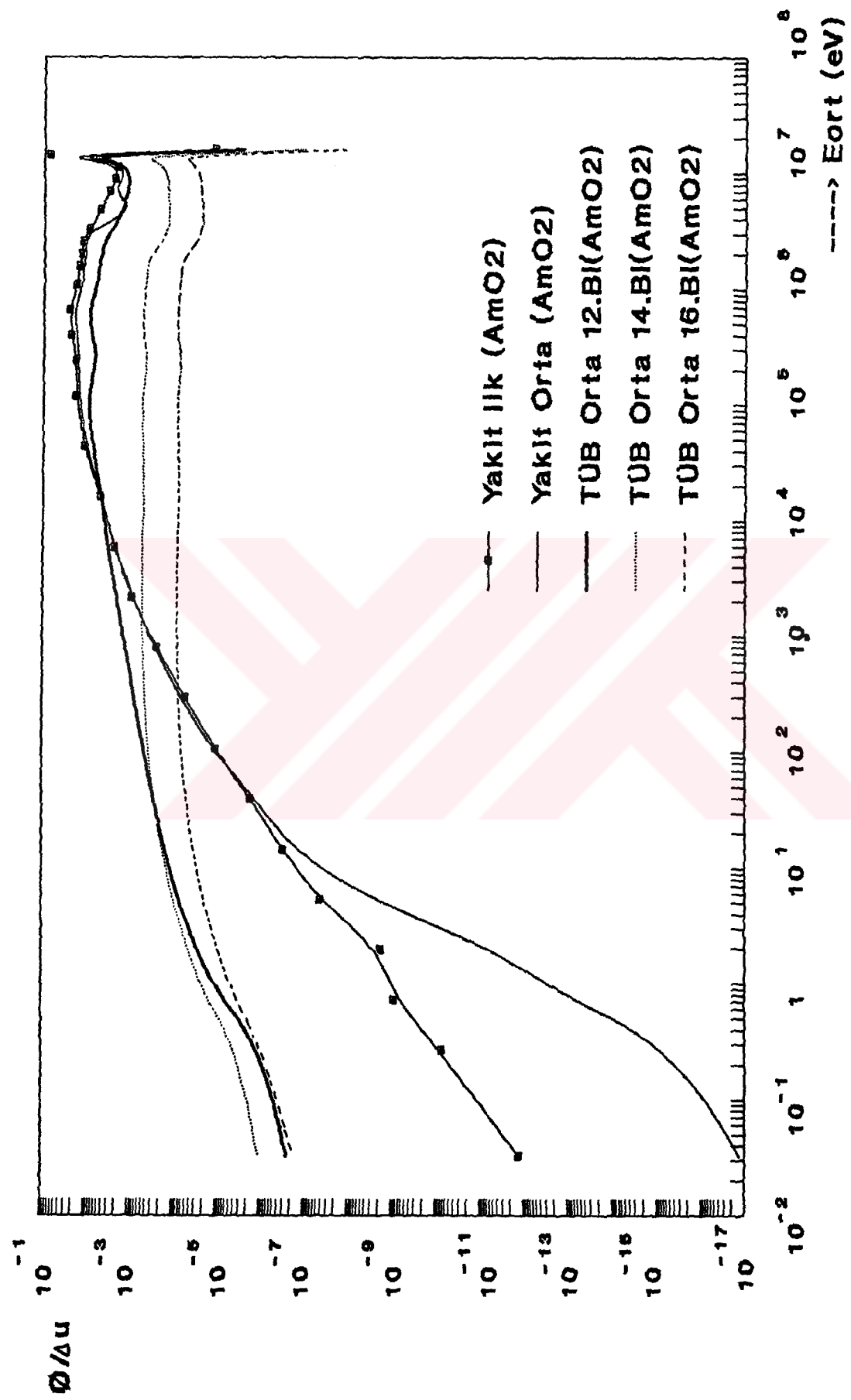
Sekil-4.7: Seçilmiş Blanketlerin Yakıt Bölgesine Ait Eor ve Toplam Tritiyum Üretimi Yoğunluğunun (TTÜY) Blanket Yarıçapıyla Değişimi



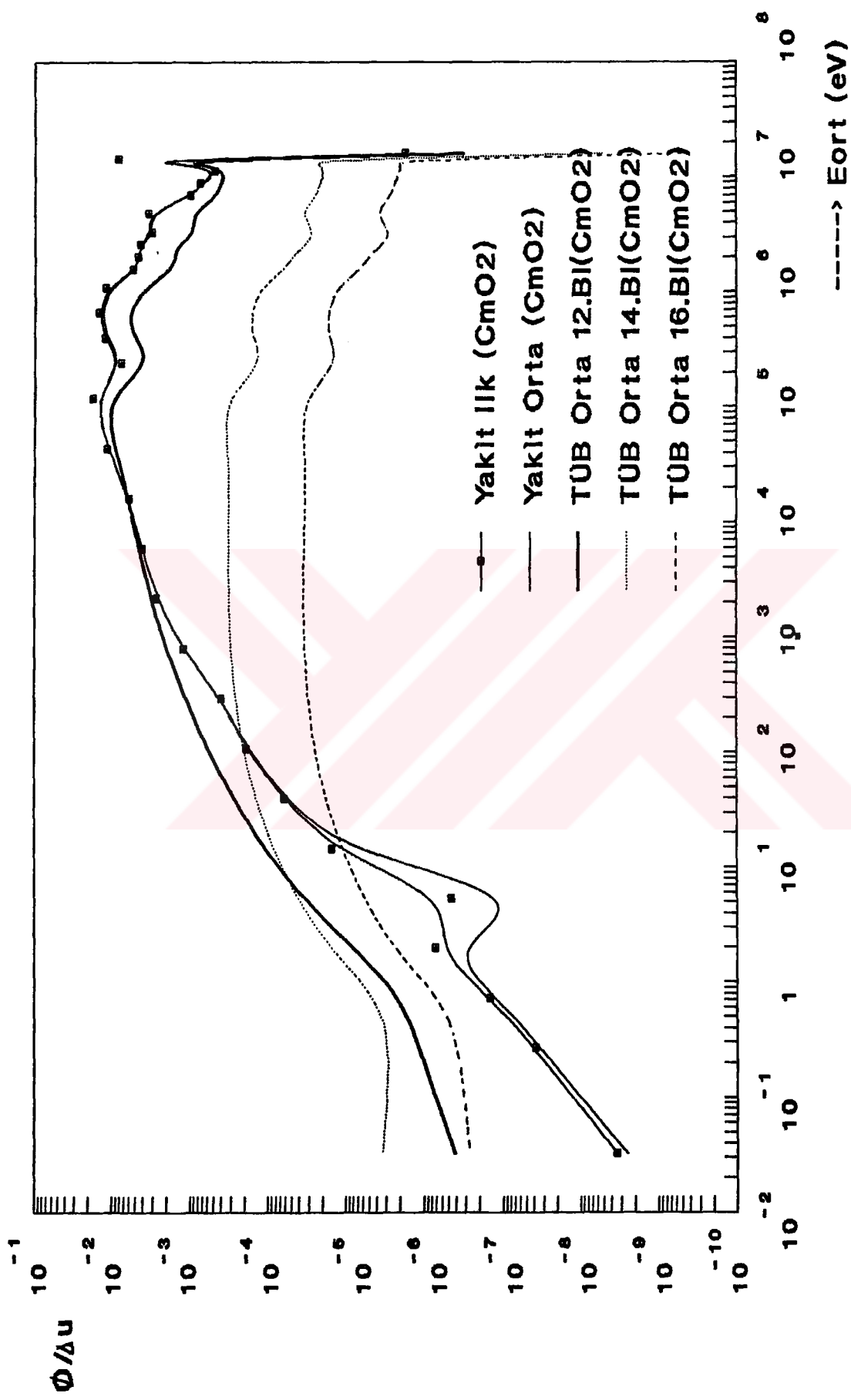
Sekil-4.8: (ThO<sub>2</sub>+Saf Li+Be) Blanketine (13.Blancket) Ait Değişik Noktalar İçin Nötron Spektrumları



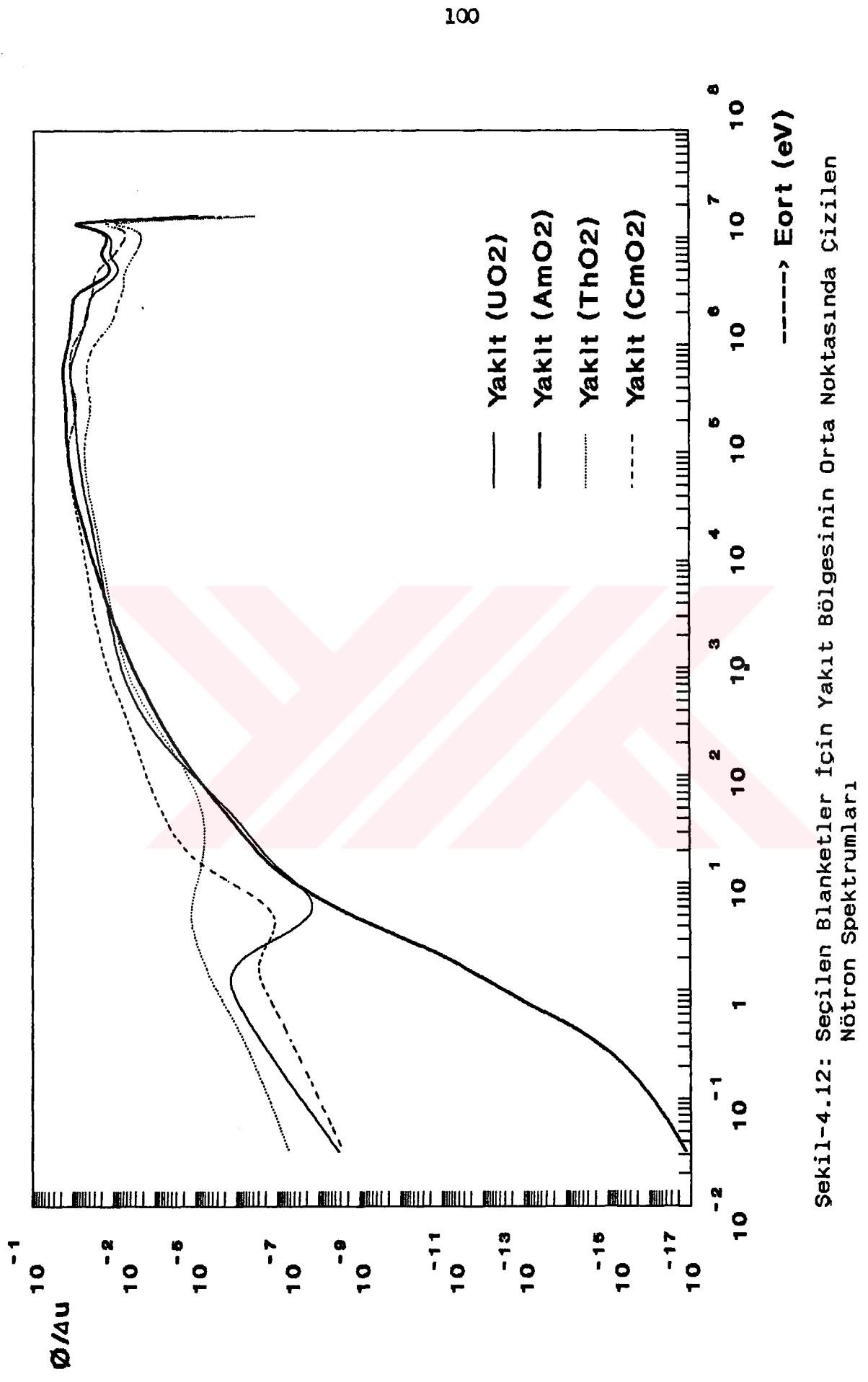
Sekil-4.9: ( $UO_2 + Saf Li+Be$ ) Blanketine (24.Blancket) Ait Değişik Noktalılar Için  
Nötron Spektrumları



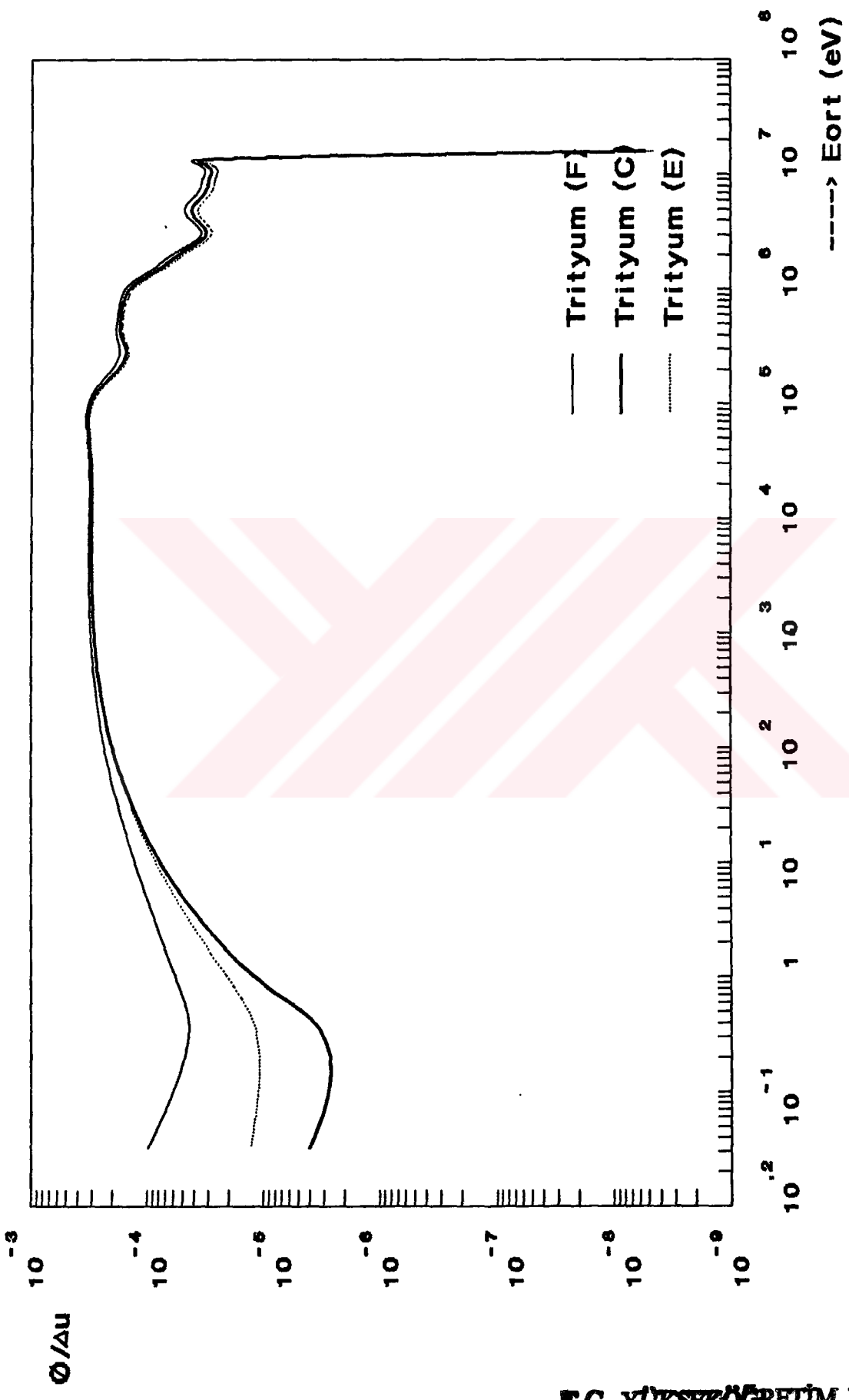
Sekil~4.10: ( $\text{AmO}_2$ +Saf  $\text{Li}+\text{Be}$ ) Blanketine (36. Blanket) Ait Değişik Noktalar için Nötron Spektrumları



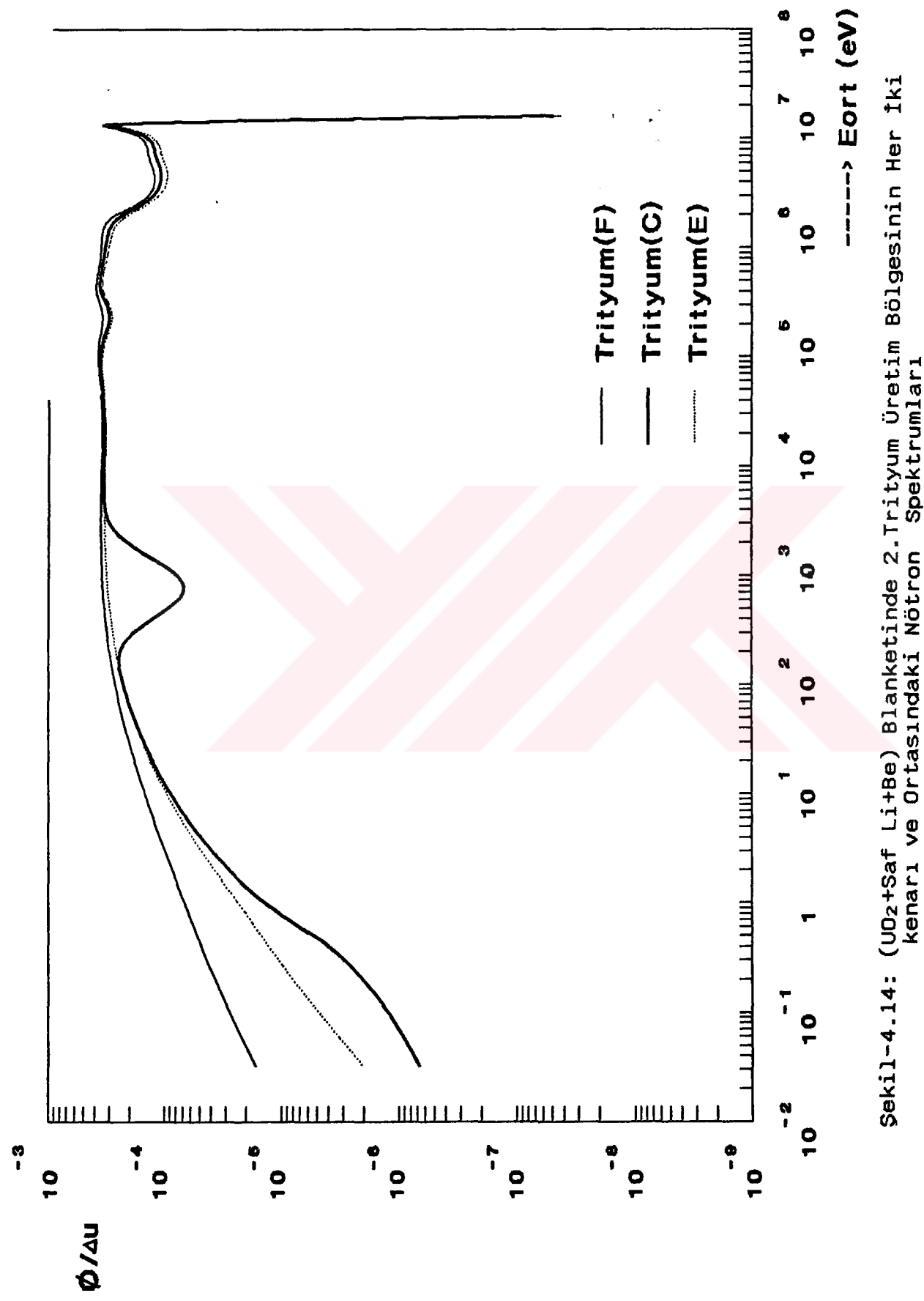
Sekil-4.11: (CmO<sub>2</sub>+Li<sub>2</sub>O+Be) Blanketine (46.B) Ait Değişik Noktalar İçin Nötron Spektrumları



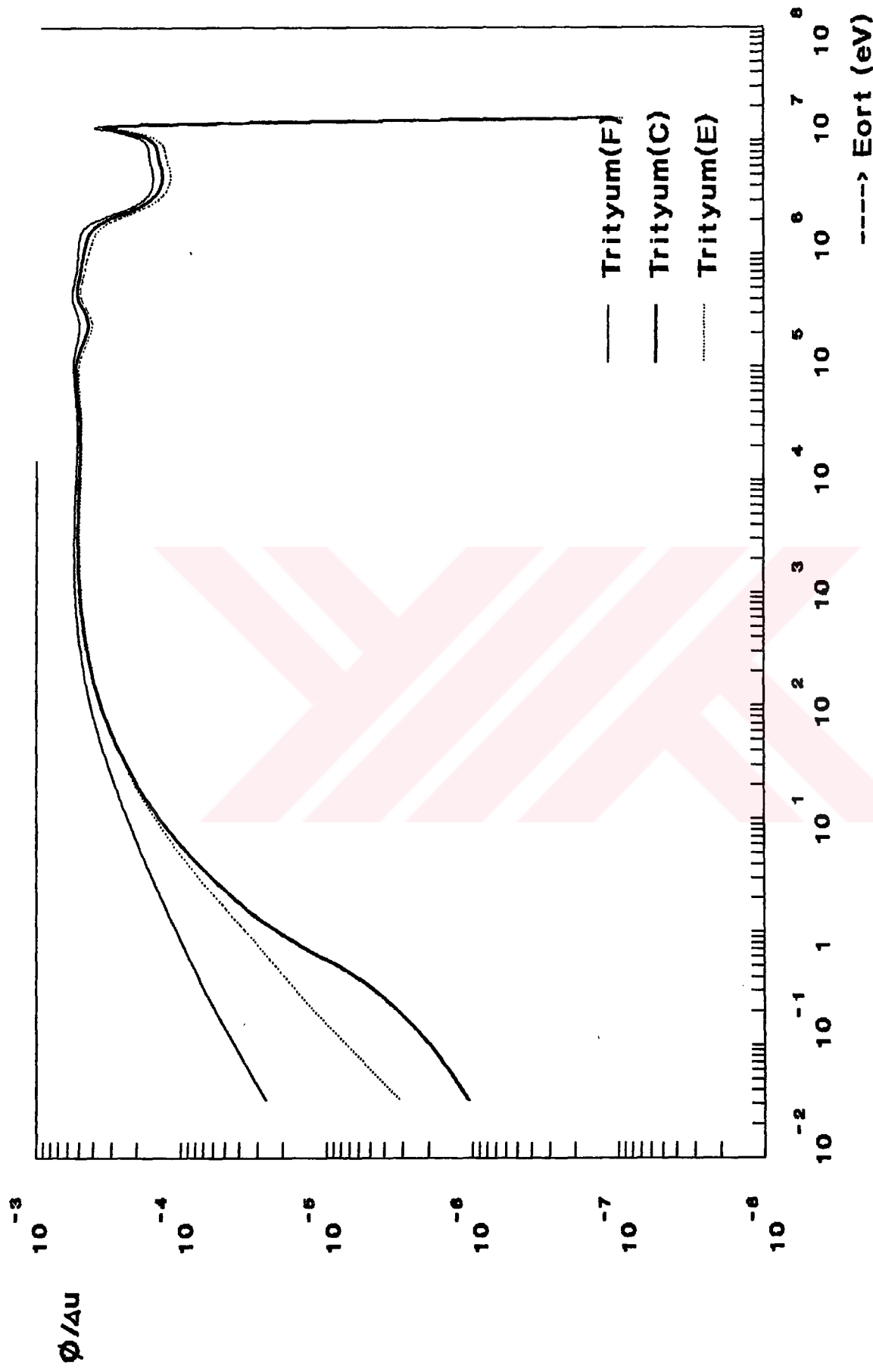
Şekil-4.12: Seçilen Blanketler için Yakıt Bölgesinin Orta Noktasında  
 Nötron Spektrumları



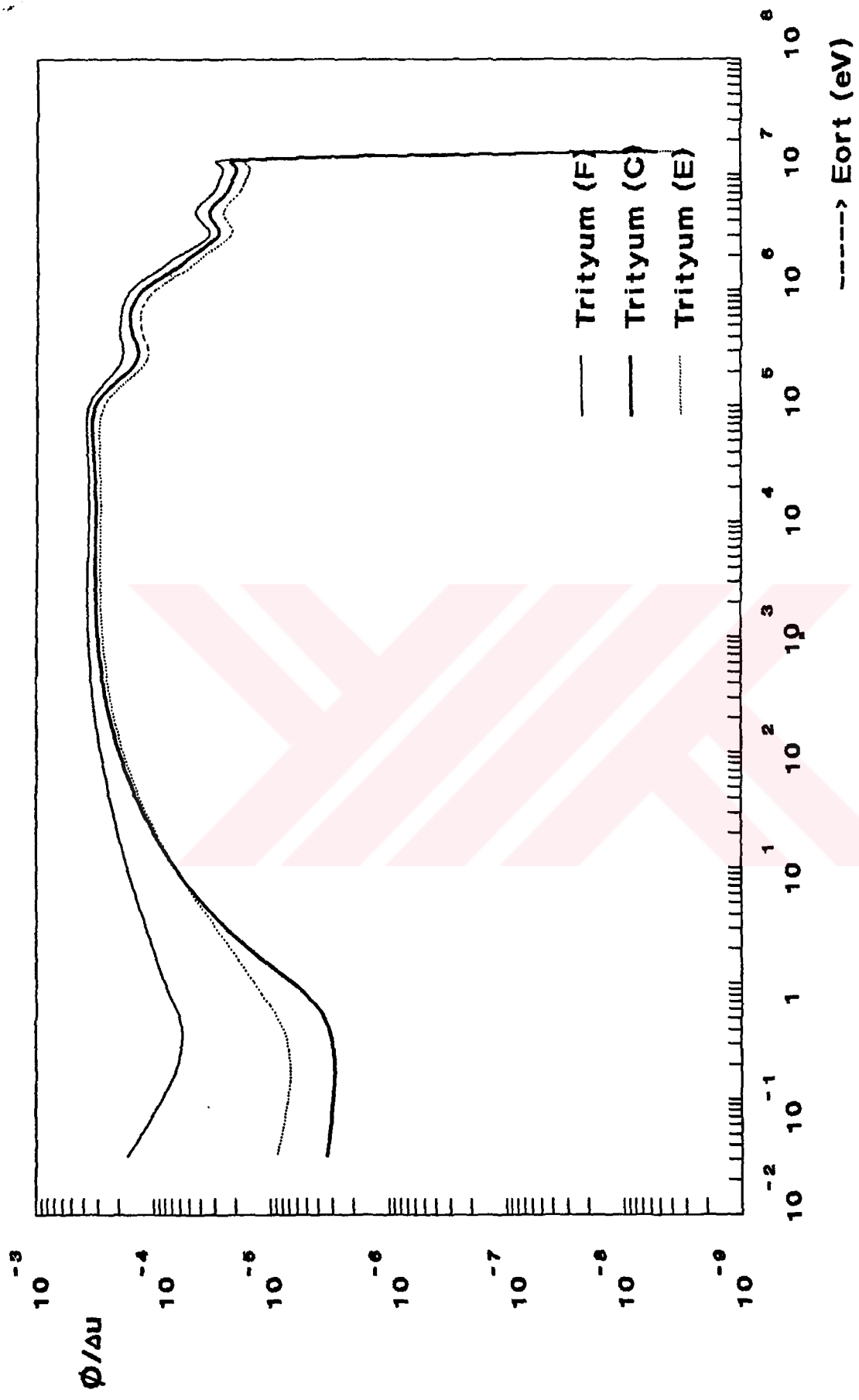
**Şekil-4.13:** ( $\text{ThO}_2+\text{Saf Li+Be}$ ) Blanketinde 2.Tritium Üretim Bölgesinin Her İki Kenarı ve Ortasındaki Nötron Spektrumları



**Sekil-4-14:** ( $UO_2+Saf\ Li+Be$ ) Blanketinde 2. Tritium Üretim Bölgesinin Her İki kenarı ve Ortasındaki Nötron Spektrumları



Sekil-4.15: ( $\text{AmO}_2 + \text{Saf Li+Be}$ ) Blanketinde 2.Tritiyum Üretim Bölgesinin Her İki kenarı ve Ortasındaki Nötron Spektrumları



Sekil-4.16: ( $\text{CmO}_2+\text{Li}_2\text{O}+\text{Be}$ ) Blanketinde 2.Tritium Üretim Bölgesinin Her İki Kenarı ve Ortasındaki Nötron Spektrumları

## 5. BÖLÜM

### S O N U Ç

Gerçekleştirilen çalışmayla, geniş bir geometri ve blanket malzemesi aralığında, önce optimum bir geometri belirlenmiş, sonra da belirlenen bu geometri için, blanketin yakıt, trityum üretim ve reflektör bölgelerinde yer alan malzemeler degistirilerek parametrik bir çalışmayla nötronik performansı en iyi olan blanketler tesbit edilmiştir.

Optimum geometrinin tesbitinde müracaat edilen ve trityum üretim ve reflektör bölgelerini birden fazla katmanlı yapıya ayrıarak yapılan inceleme, trityum üretimini arttırmayı olması itibarıyle daha önce yapılan çalışmalarla [22-26,34,38-40] paralellik arzetmektedir. Katmanlı yapının getirdiği bu avantajın diğer nötronik özelliklere de yansımış olması sebebiyle Tablo-4.1 - 'den optimum geometri olarak, trityum üretim ve reflektör bölgeleri hacimce üç 'e bölünmüş geometrik yapı, daha sonraki hesaplamalar için esas blanket yapısı olarak seçilmiştir.

Belirlenen blanket geometrisi için, iki tane klasik ( $\text{ThO}_2$  ve  $\text{UO}_2$ ), iki tane de, nükleer reaktörlerin artığı olan aktinid ( $\text{AmO}_2$  ve  $\text{CmO}_2$ ) yakıtla birlikte, trityum üretim bölgesi malzemesi  $\text{Li}_2\text{O}$  ve Saf Lityum, reflektör malzemesi olarak grafit ve berilyum seçilerek ve yakıt bölgesinin önüne berilyum veya kurşun dan yapılmış bir nötron çoğaltıcı katman da yerleştirerek 48 tane değişik blanket yapısı nümerik hesaplamalar için hazırlanmış-

tır. Böyle bir geniş blanket yapısı aralığında birbiriyle karşılaştırılmak üzere, her bir nötronik parametre bütün blanketler için hesaplanarak tablolar halinde takdim edilmiştir. Bu tabloların detaylı değerlendirilmesi, değişik bölgelerde kullanılan malzemelerin etkisini açık olarak ortaya koymuştur. Herbir yakıt grubu için farklı mertebede olmak üzere, genel bir davranış olarak, nötron çoğaltıcı katman kullanmak, nötronik parametreleri olumsuz olarak etkilerken,  $\text{Li}_2\text{O}$  yerine Saf Lityum ve grafit yerine de Berilyum kullanmanın, blanketlerin performansını artıracı bir nitelik taşıdığı gözlenmiştir. İlgili tablolardan, ayrıca aktinid yakıtların klasik yakıtlara olan nötronik üstünlükleri de tesbit edilebilmektedir. Klasik yakıtlar arasında,  $\text{ThO}_2$  fissile yakıt ( $^{233}\text{U}$ ) üretimiyle dikkat çekerken,  $\text{UO}_2$  yakıtlı blanketlerdeki enerji çoğalım katsayısının büyülüğu açıkça görülmektedir. Aktinid yakıtlara ait bölünme tesir kesitlerinin büyük değerlere sahip olması, enerji çoğalımı temin etmek için bu yakıtları büyük avantaja sahip kılmaktadır. Bunun yanısıra, bunlardan elde edilen, çok yüksek kaliteli fissile yakıt çekirdekleri de ( $^{242m}\text{Am}$  ve  $^{245}\text{Cm}$ ) bu yakıtları bulunduran blanketlerin avantajları olarak tesbit edilmelidir. Aktinid yakıtlı blanketler için söylemeyecek tek dezavantaj, kritikliklerini belirleyen  $k_{eff}^*$  sayılarının klasik yakıtlarinkine göre yüksek kalmasıdır.

Yukarıda belirtilen değerlendirmeleri kantitatif bir ölçekte belirlemek üzere Tablo-4.12 ve Tablo-4.13 hazırlanmıştır. Nötronik performans kriterlerinin bileşke olarak ortak katkısının her bir blankete yansıtıldığı bu tablolardan;  $\text{ThO}_2$ ,  $\text{UO}_2$  ve  $\text{AmO}_2$  yakıtlı blanketler için, nötron çoğaltıcı katmanı bulunmayan, trityum üretim bölgesinde Saf Lityum 'un kullanıldığı ve Berilyum reflektörlü blanket malzeme yapılarının,  $\text{CmO}_2$  yakıtlı blanketler için de yine nötron çoğaltıcı katmanı bulunmayan,  $\text{Li}_2\text{O}$  'in trityum üretim malzemesi olarak kullanıldığı ve yine Berilyum reflektörlü malzeme yapısının, en iyi nötronik performansa sahip oldukları gözlenmektedir. Nötronik performans yönünden seçilmiş bir statü kazanan bu dört blankete sahip oldukları her bir nötronik performans kriteri, birbirleriyle karşılaştırılabilmek amacıyla Tablo-4.15 'de yeniden takdim edilmiştir. Bu tablo-

dan; bütün blanketlerin, toplam trityum üretimi açısından (D-T) reaksiyonu için gerekli bir tane trityumdan başka fazlalık trityum miktarını ürettiğileri, bu fazlalığın  $\text{AmO}_2$  yakıtlı blankette en büyük değere ulaştığı görülmektedir. Fissile yakıt üretimi açısından en iyi durum,  $\text{UO}_2$  yakıtlı blankette ortaya çıkmaktadır.  $\text{AmO}_2$  'li blanketteki bagıl düşüklük,  $^{241}\text{Am}$  'den ( $n,\gamma$ ) reaksiyonuyle  $^{242m}\text{Am}$  çekirdeğinin elde edilmesindeki yüzde düşüklüğüyle açıklanabilirken,  $\text{CmO}_2$  'teki bagıl düşüklük, bu yakıtı bulunduran blanketlerde, yakıt elemanın yer aldığı sıra sayısının, diğerlerinde olduğu gibi 10 tane değil de, 3 tane olmasına ve dolayısıyla  $^{245}\text{Cm}$  üretiminde kullanılan  $^{244}\text{Cm}$  miktarının diğerlerine göre bagıl bir düşüklük arzetmiş olması sebebiyledir. Blanket ortamındaki nötron popülasyonunu ve blanket enerji çıkışmasını etkilemesi açısından, ( $n,f$ ) reaksiyon miktarı, Tablo-4.15 'den de görüleceği gibi, aktinid yakıtların klasik yakıtlara üstün olduğu bir davranış sergilemektedir. Enerji çoğalım katsayısında da ( $n,f$ ) reaksiyonunda olduğu gibi, aktinid yakıtların üstünlüğü söz konusudur. Blanketlerin kritikliğinin ölçüsü olan  $k_{\text{eff}}^*$  nötron çoğalım katsayısında ise, klasik yakıtların, aktinid yakıtlara göre daha emniyetli olmasını sağlayan, daha düşük değerlere sahip oldukları gözlenmektedir. Belirlenen bu sonuçlar, özellikle 33 numaralı kaynak olmak üzere, kaynaklar listesinde verilen diğer ilgili çalışmalarda [22,23,34,38,39,41,42] elde edilen sonuçlarla da uyum arzetmektedir.

Son bir ilgi çekici tesbit yapmak üzere Tablo-4.14 göz önüne alınabilir. 0.75 'lik işletme faktörüyle çalışan ve 1000 MW (termal) 'lık gücü sahip bir fisyon reaktöründe taze yakıt tüketimi senede yaklaşık olarak 290 kg dir [34]. Böylece Tablo-4.14 'deki değerler göz önüne alınarak; sözü edilen fisyon reaktörünün de bu çalışmada klasik yakıtlardan elde edilen fissile yakıtlarla çalıştırılacağı kabul edilerek;  $\text{ThO}_2$  blanketli hybrid reaktörle yaklaşık 3,  $\text{UO}_2$  blanketli hybrid reaktörle yaklaşık 3.3,  $\text{AmO}_2$  blanketli hybrid reaktörle 1.44 ve  $\text{CmO}_2$  blanketli hybrid reaktörle yaklaşık olarak 2.4 fisyon reaktörüne yakıt temin etmek mümkün olabilmektedir.

Tablo-4.15: Seçilmiş Blanketlere Ait Nütronik Performans Değerleri

<u>Blanket</u>	$\text{ThO}_2+\text{Saf}$	$\text{Li}+\text{Be}$	$\text{UO}_2+\text{Saf}$	$\text{Li}+\text{Be}$	$\text{AmO}_2+\text{Saf}$	$\text{Li}+\text{Be}$	$\text{CmO}_2+\text{Li}_2\text{O}+\text{Be}$
<u>Kriter</u>							
T6	1.18196E+00		1.40685E+00		2.15182E+00		1.94303E+00
T7	8.93091E-02		9.23029E-02		1.13628E-01		1.69618E-01
T6+T7	1.27127E+00		1.49915E+00		2.26545E+00		2.11265E+00
(n,2n)	4.05040E-01		3.66761E-01		-----		5.25485E-01
(n,γ)	2.69999E-01		2.91732E-01		1.25614E-01		2.06739E-01
(n,f)	3.63800E-02		1.48703E-01		6.78161E-01		4.82714E-01
T6+T7+γ	1.54127E+00		1.79088E+00		2.39206E+00		2.31939E+00
M	1.91706E+00		3.58659E+00		1.13494E+01		8.50626E+00
$K_{\text{eff}}^*$	1.13654E-01		3.29215E-01		7.19390E-01		6.21542E-01
$K_{\text{eff}}^{**}$	6.12936E-01		6.59244E-01		-----		7.71968E-01

## K A Y N A K L A R

1. B.A. Semenov, D. Guthrie, and Y. Tatsuta "The future role of nuclear power in the global energy balance" IAEA BULLETIN, Vol.33, NO. 3 VIENNA, AUSTRIA 1991.
2. Şahin S. "Physics of the Fusion - Fission (Hybrid) Reactors" Ecole Polytechnique Federale de Lausanne Institut de Genie Atomique 1015 Lausanne, Switzerland
3. Şahin, S., "Mainline Fusion - Fission (Hybrid) Reactor Concepts", Ecole Polytechnique Federale de Lausanne Institut de Genie Atomique 1015 Lausanne, Switzerland.
4. Leonard, B.R. Jr., "A Review of Fusion - Fission (Hybrid) Concepts", Nucl. Tech., 20, 161, 1973.
5. "Proceedings of US-USSR Symposium on Fusion-Fission Reactors", Lawrence Livermore National Laboratory, California, CONF- 760733, July 13 - 16, 1976.
6. Youssef, M.Z. and Conn, R.W., "A Survey of Fusion - Fission System Desings and Nuclear Analysis", UWFDM-308, University of Wisconsin, July 1979.
7. Moir, R.W., "The Fusion-Fission Fuel Factory", Fusion vol. 1, Part B, Chap. 15, Teller E. Ed. , Academic Press, New York, 1981.
8. Şahin, S. et al., "Basic Structure of the Fusion - Fission (Hybrid) Reactor Experimental Research Project in Laboratoire de Genie Atomique de l'EPFL", Atomkernenergie/Kerntechnik, 36, 33, 1980.
9. Greenspan, E., "Fusion Fission Hybrid Reactors", Advanced in Nuclear Science and Technology, Vol. 16, Editors Lewins, J. and Becker, M., Plenum 1984.

10. Jassby, D.L., "Nuclear Development Needs For Fusion-Fission Hybrid Reactors", PPPL-1647 UC-20d March 1980.
11. Yapıcı, H., "Candu Tüketilmiş Yakıtının Gençleştirilmesi İçin Modere Edilmiş ve Hızlı (D,T) Hibrit Blanketlerin Potansiyelinin İncelenmesi" Erciyes Üniversitesi Fen Bilimleri Enstitüsü, Doktora Tezi, Mart 1989.
12. Ehrlich, K. , "First Wall Materials For Fusion Reactors", Kerntchnik, 19, 263, Jahrgang 1977.
13. Abdou, M. "Nuclear Design of the Blanket/Shield System for a Tokamak Experimental Power Reactor", Nucl. Tech.,29,7, 1976.
14. Maniscalco, J.A. et al., "Recent Progress in Fusion-Fission Hybrid Reactor Design Studies", Nucl. Technol./Fusion, 1, 419, 1981.
15. Jassby,D.L., "Workshop Summaries For The Third Us/Ussr Symposium On Fusion-Fission Reactors", PPPL-1550 UC-20d July 1979.
16. Steiner, D., "The Technology For Power By Fusion", Nuclear Science And Engineering: 58,107-165 May 1975.
17. Welss, W.M., "ORNL Fusion Power Demonstrating study: Lithium as a Blanket Coolant", Oak Ridge National Laboratory Report ORNL-TM-6214,1978.
18. Swinhoe, M.T. and Uttley, C.A., "Tritium Breeding in Fusion", NBS Special Publication, 594, p. 246, U.S. National Bureau of Standards, 1980.
19. Bachmann, H. et al., "Neutron Spectra and Tritium Production Measurements in a Lithium Sphere to Check Fusion Reactor Blanket Calculations", Nucl. Sci. Eng., 47, 74, 1978.
20. Abdou, M , "Tritium Breeding in Fusion Reactors", Argonne

National Laboratory Report ANL/FPP/TM-165, 1982.

21. Sedano, P.G. and Perlado, J.M., "Parametric Studies on the Neutronics of a Hybrid (Fusion-Fission) Blanket", Fusion Technology, Vol.8, p. 1067, (July 1985).
22. Maki, K., "Increase of Tritium Breeding Ratios By Blankets Having Front Breeder Zone In Fusion Reactors", Fusion Technology Vol. 8 Nov. 1985.
23. Joneja,O.P. and Nargundkar, V.R., "Application of Multilayered Blanket Concept To The Tokamak Configuration For Tritium Breeding Calculations", Fusion Technology Vol. 8 Nov. 1985.
24. Al-Kusayer, T.A. and Şahin, S., "Natural Uranium Hybrid Blankets for AYMAN Project", Proc. 6th Int. Conf. Alternative Energy Sources, Miami Beach, Florida, p. 384, Dec. 12-14, 1983.
25. Al-Kusayer, T.A. and Şahin, S., and Khan, S. "(D-T) Driven Thorium Hybrid Blankets", Proc. 6th Int. Conf. Alternative Energy Sources, Miami Beach, Florida, p. 384, Dec. 12-14, 1983.
26. Şahin, S. "A Neutron Physics Analysis for the Experimental Facility LOTUS", Atomkernenergie/Kerntechnik, 41,95, 1982.
27. Abdul Khalik, S., Haldy, P. A., and Kumar, A., "Blanket Design and Calculated Performance for the LOTUS Fusion-Fission Hybrid Test Facility", Nucl. Technol./Fusion, 5, 189, 1984.
28. Harker, Y.D., et al., "TFTR Lithium Blanket Module Program Final Design Report", Vol.VII, EGG-PSB-6808, EG&G Idaho, June 1984.
29. Şahin, S. and Al-Kusayer, T.A., "Advanced Fusion Fuel Driven AYMAN Hybrid Blankets", Proc. 6th Int. Conf. Alternative Energy Sources, Miami Beach, Florida, p. 161, Dec. 12-14,

1983.

30. Şahin, S., Al-Kusayer, T.A. Al-Semair, M., and Abdul Raoof, M., "Neutronic Investigations of Experimental AYMAN Hybrid Blankets", Trans. Am. Nucl. Soc. 47, 151, 1984.
31. Şahin, S., Al-Kusayer, T.A., Abdul Raoof, M., "Preliminary Design Studies of a Cylindrical Experimental Hybrid Blanket with Deuterium-Tritium Driver", Fusion Technol., 10, 84, 1986.
32. Erişen, A. "Desing Calculations of a Cylindrical D-T Driven  $UO_2$  Hybrid Blanket", Alternative Energy Sources VIII, Vol. 2, p. 55, 1989.
33. Şahin, S. and Kumar, A., "Neutronics Analysis of Deuterium-Tritium Driven Experimental Hybrid Blanket", Fusion Technology Vol. 6 July 1984.
34. Şahin, S. and Al-Kusayer, T.A., "Conceptual Design Studies of A Cylindrical Experimental  $ThO_2$  Hybrid Blanket With (D,D) Deriver", Atomkernenergie/Kerntechnik Vol. 47 No.4 1985.
35. Massidda, John E., and Mujid S. Kazimi, "Power Flattening In D-T Blankets", Fusion Technolgy Vol. 8 July 1985.
36. Şahin, S., Al-Eshaik, M., "A Numerical-Graphical Power Flattening Method for Source Driven Fast Fission Blanket", presented at 4th Int. Conf. on Emerging Nuclear Energy Sytems, Madrid, Spain, June 30 - July 4, 1986.
37. Şahin, S., Al-Eshaik, M., "Fission Power Flatteing in Hybrid Blankets Using Mixed Fuel", Submitted to Fusion Technol.
38. Şahin, S., Erişen, A., Çebi, Y., "A Fast Hybrid Blanket With Flat Fission Power over a Long Operational Period", Trans. Am. Nucl. Soc., 54, 134, 1987.

39. Şahin, S., Erişen, A., Çebi, Y., "Realization of a Flat Fusion Power Density in a Hybrid Blanket over a Long Operational Period", Fusion Technology, Vol. 15, No.1, p.37, Jan. 1989.
40. Şahin, S., Erişen, A., Çebi, Y., "A  $^{244}\text{Cm}/\text{Nat.-UO}_2$  Hybrid Blanket With Flat Fission Power Production", Transactions of the Am. Nuc. Soc. and Eur. Nuc. Soc., Vol. 57, p.303 Oct. 1988
41. Şahin, S., "Cm-244 Multiplier And Breeder In A  $\text{ThO}_2$  Hybrid Blanket Driver By A (D,T) Source", Fusion Technology Vol.10 Nov. 1986.
42. MORGAN,GROVER D. D. A. BOWERS, and DAVID E. RUESTER, "Engineering Feasibility Evaluation of Blanket Concepts For Blanket Comparison And Selection Study", Fusion Technology Vol. 8 July 1985.
43. J.J. Dudertadt, L.J. Hamilton, "Nuclear Reactor Analysis", University of Michigan, 1976.
44. A.M. Weinberg, E.E. Wigner, "The Physical Theory of Neutron Chain Reactors", The University of Chicago 1959.
45. D.I. Garber, G. Stromberg, M.D. Goldberg, D.E. Cullon and W.M. Mary, "Angular Distribution in Neutron Included Reaction", BNL-400, Brookhaven National Lab. July 1970.
46. W.W. Engle, Jr., "ANISN, A One-Dimensional Discrete Ordinates Transport Code with Anisotropic Scattering", ORNL-K-1964, Oak Ridge National Lab. 1970.
47. T.A. Al-Kusayer, S. Şahin, A. Drira, "CLAW -IV, Coupled 30 Neutrons, 12 Gamma-Ray Group Cross Section With Retrieval Programs for Radiation Transport Calculations", available from the Radiation Shielding Information Center, Oak Ridge National Lab. 1984; see also RSIC Newsletter, p.41 May 1988.